



CUPRINS

Gabriel Ovidiu IANCU

PETROLOGIE METAMORFICĂ

CUPRINS

Cuvânt înainte	/ 7
Introducere	/ 9
1. Definiția metamorfismului	/ 11
2. Tipuri de metamorfism	/ 12
3. Mineralele rocilor metamorfice	/ 20
4. Nomenclatura și clasificarea rocilor metamorfice; Nomenclatura structurală	/ 25
5. Deformarea rocilor: a) Analiza stressului; b) Analiza deformării – strainul; c) Reacția rocilor la stress – Deformare Omogenă/Neomogenă, Mecanisme de deformare a rocilor (deformare casantă, deformare plastică, transferul de masă prin difuziune)	/ 46
6. Elemente structurale în rocile metamorfice: foliația – tipuri și mecanisme de formare; Indicatori cinematici de sens	/ 51
7. Structurile rocilor metamorfice	/ 57
8. Microstructurile rocilor metamorfice: Microstructuri asociate blastezei, în raport cu un eveniment deformațional, Microstructuri metamorfice relict, Microstructuri deformaționale, Microstructuri controlate de creșterea temperaturii, Microstructuri controlate de scăderea bruscă a presiunii sau/și temperaturii	/ 61
9. Factorii fizico-chimici ai metamorfismului, Limitele Metamorfismului (presiunea și temperatura)	/ 64
10. Faze fluide în metamorfism; Natura și compoziția fluidelor metamorfice	/ 69
11. Echilibrul în sistemele metamorfice	/ 70
12. Reacțiile chimice din rocile metamorfice	/ 72

13. Faciesuri metamorfice (Conceptul de *facies metamorfic*, Asociații de minerale și minerale diagnostice ale rocilor de compoziție bazaltică, Serii de faciesuri metamorfice, Centuri metamorfice pereche) / 79
14. Metamorfismul de contact: Ocurențe, Caractere generale / 85
15. Metamorfismul de dislocație = cataclastic = dinamic / 90
16. Metamorfismul de șoc (ex.: craterele Ries și Steinheim, Germania) / 92
17. Metamorfismul regional orogenic: Ocurențe, Caractere generale, Gradienți ai metamorfismului prograd (Abukuma sau Buchan, Dalradian sau Barrovian, Franciscan) / 97
18. Metamorfismul regional al rocilor ultramafice / 107
19. Metamorfismul regional al granitoidelor / 113
20. Metamorfismul regional al pelitelor: Relațiile de fază în sistemele ASH, FASH și KNFASH; Migmatite; Granulite / 117
21. Metamorfismul regional al rocilor mafice; Eclogite / 132
22. Metamorfismul de grad foarte ridicat (UHPM); Criterii de recunoaștere a rocilor din faciesul eclogitic cu cuarț (HP) și a celor din faciesul eclogitic cu coesit (UHP); Distribuția UHPM în lume / 137
23. Geotermometria și Geobarometria rocilor metamorfice / 143
24. Trasee metamorfice P-T-t (în funcție de contextul tectonic și ciclul orogenic) / 151
25. Geocronologia rocilor metamorfice / 161
- ANEXE / 174
- Bibliografie / 178

CUVÂNT ÎNAINTE

Textul de *Petrologie Metamorfică* elaborat de domnul conferențiar universitar dr. Ovidiu Gabriel Iancu poate fi privit ca o aducere la zi a problematicii atât de complexe a terenurilor metamorfice. El demonstrează o bună înțelegere din partea autorului a proceselor fizice și chimice care determină metamorfismul. Se fac referiri la termenii utilizați, la tipurile de metamorfism în funcție de setting-urile tectonice specifice, la deformare, la transformările mineralogice dependente de factorii metamorfismului, la geobarometrie și geotermometrie, la geocronologie. Multe dintre capitolele textului constituie în literatura de specialitate tratate de sine stătătoare. Este meritul autorului de a fi izbutit ca într-un număr relativ redus de pagini să rezume coerent și pe înțeles ceea ce este altfel descris în multe mii de pagini. Remarc în mod deosebit capitolele de geotermometrie și geobarometrie, metode care pot extrage din registrul geologic factorii metamorfismului la un moment dat. De asemenea, semnificația traseelor P-T-t este corect redată, precum și înțelesul termenilor de monometamorfism, metamorfism polifazic, polimetamorfism, metamorfism retrograd etc.

Opinez că textul în discuție reprezintă un instrument util pentru geologii și geochimiștii preocupați de metamorfism, în sensul că poate da o orientare rapidă spre literatura subiectului de interes, dar mai ales este un abecedar de mare valoare pentru studenți, punându-i în contact direct cu „miezul” fierbinte al petrologiei rocilor metamorfice.

Îl felicit pe autor pentru modul în care s-a descurcat într-un câmp atât de vast și pentru claritatea cu care a reușit să lege într-un concept unitar o atât de mare diversitate de probleme.

Prof. dr. Ioan BALINTONI

Universitatea „Babeș-Bolyai” Cluj-Napoca

Facultatea de Biologie și Geologie

Catedra de Mineralogie

INTRODUCERE

Petrologia Metamorfică este o disciplină obligatorie din planul de învățământ al specializărilor Geochimie și Inginerie Geologică din cadrul facultăților de profil din țara noastră. Cunoașterea tematicilor abordate în cadrul acestei materii este însă utilă și celor interesați de abordarea terenurilor cristaline. Cu siguranță, materialul prezentat aici nu cuprinde întreaga tematică a metamorfismului, o parte din subiectele ce lipsesc fiind prezentate, în detaliu, în cadrul orelor de lucrări practice (cum este cazul conținuturilor geochimice de elemente majore sau urmă și al chemografiei rocilor metamorfice – reprezentarea grafică pe diverse tipuri de diagrame, în vederea stabilirii compoziției sau genezei rocilor).

Paginile care urmează reprezintă rodul a numeroase studii și documentări de teren sau laborator începute la sfârșitul anului 1990, când am fost numit prin concurs cadru didactic la Catedra de Mineralogie și Geochimie a Universității „Al. I. Cuza” Iași. Deși mi-am susținut doctoratul într-o regiune alcătuită din roci cristaline, situată în NV Carpaților Meridionali, sub îndrumarea domnului profesor dr. Viorel Erhan, de la care am preluat apoi și acest curs, am reușit să pătrund problematica destul de diversă a rocilor metamorfice după câteva stagii de specializare în Japonia, Anglia, Italia sau Austria.

În demersul de a scrie în premieră un curs de Petrologie Metamorfică la Universitatea „Al. I. Cuza” Iași, am beneficiat de experiența mai multor specialiști români sau străini. Sunt îndatorat domnului academician Radu Dimitrescu, căruia îi exprim gratitudinea pentru numeroasele îndrumări și discuții despre unele subiecte din această carte. De un real folos mi-au fost și sfaturile domnului profesor dr. Roberto Compagnoni de la Universitatea Torino, cu care am avut privilegiul de a face câteva aplicații practice în masivele Mont Blanc, Monte Rosa, Gran Paradiso, dar și în alte regiuni extrem de importante din Alpii Vestici. Domnul Compagnoni, care este, de altfel, și Profesor de Onoare al Universității „Al. I. Cuza” din Iași, mi-a oferit, de asemenea, posibilitatea de a studia în Italia, prin intermediul unor metode de investigație extrem de performante, microdiamantele metamorfice din Masivul Kokchetav din Kazahstan, minerale formate în urma metamorfismului de presiune ultraînaltă, la o adâncime de peste 120 km.

Sunt foarte obligat, de asemenea, celui care m-a inițiat în tainele metamorfismului de șoc, prof. dr. Yasunori Miura de la Universitatea

Yamaguchi, care mi-a coordonat activitatea de cercetare științifică pe timpul specializării făcute în Japonia timp de 2 ani, între 1993 și 1995, și alături de care am efectuat și unele studii de teren în zona craterelor de impact Ries și Steinheim din Germania. În aceste regiuni, au fost descrise, de altfel, două minerale noi, precum coesitul (SiO_2) și chaoitul (C), întâlnite ulterior și în ariile exploziilor nucleare sau, cazul coesitului, și în roci metamorfice de mare profunzime.

Sunt, de asemenea, recunoscător pentru îndrumările privind modul de abordare al unor probleme dezbătute în cele ce urmează, unor reputați profesori sau cercetători de peste hotare care, prin intermediul contactelor personale avute, mi-au oferit, cu deosebită amabilitate, sugestii și lucrări de specialitate necesare în lămurirea unor aspecte discutate în curs: prof. dr. Constantin Cocârță de la Universitatea Tours (Franța), prof. dr. Frank Spear de la Institutul Politehnic Rensselaer (SUA), prof. dr. Wallace G. Ernst de la Universitatea Stanford (SUA), prof. dr. Cees Paschier de la Universitatea Mainz (Germania), prof. dr. Kurt Bucher de la Universitatea Freiburg (Germania), prof. dr. Bernard E. Leake de la Universitatea Glasgow (Scoția), prof. dr. Ernie Rutter și prof. dr. Kate Brodie de la Universitatea „Victoria” din Manchester, prof. dr. Friedrich Koller de la Universitatea Viena și dr. Franz Brandstaetter de la Muzeul de Științe Naturale din Viena (Austria).

Mulțumesc foarte mult domnului profesor dr. Ioan Balintoni de la Universitatea „Babeș-Bolyai” Cluj-Napoca, domnului profesor dr. Titus Murariu și domnului conferențiar dr. Nicolae Buzgar de la Universitatea „Al. I. Cuza” Iași pentru amabilitatea de a fi recenzat manuscrisul cursului și pentru sugestiile făcute în scopul îmbunătățirii calității materialului prezentat.

Nu în ultimul rând, doresc să precizez că la forma finală a materialului ce urmează au contribuit și unii studenții de excepție ai Departamentului de Geologie și Geochimie de la Universitatea „Al. I. Cuza” Iași care, în urma discuțiilor și observațiilor avute în timpul prelegerilor sau în teren, m-au determinat să structurez materia prezentată, astfel încât să fie mai ușor accesibilă.

1. DEFINIȚIA METAMORFISMULUI

Metamorfismul reprezintă ansamblul proceselor endogene care determină transformarea rocilor preexistente în edificii petrografice cu trăsături mineralogice și structural-texturale specifice noilor condiții termobarice și chimice în care acestea sunt antrenate (Anastasiu *et al.*, 1998). În esență, **metamorfismul** este o transformare în stare solidă, în care reorganizarea materialului primar se face prin diferențiere, blastează (recristalizare), care implică transport de masă care se poate realiza prin difuzie, circulație de fluide și metasomatoză.

Observație:

Diferențierea poate fi un rezultat al blastezei sau al segregării mecanice.

Metamorfismul este un proces care duce la schimbări în mineralogia și/sau structura și/sau compoziția chimică a unei roci. Aceste schimbări se produc datorită condițiilor fizice și/sau chimice care diferă de acelea care apar în mod normal la suprafața planetei și în zonele de cementare sau diagenază de sub suprafața acesteia și pot coexista cu topirea parțială (IUGS-Subcomisia Internațională de Sistematică a Rocilor Metamorfice)

O altă definiție dată a **metamorfismului**: ansamblul transformărilor mineralogice și structurale ale unei roci, în stare solidă, ca răspuns la schimbările valorilor presiunii – P, temperaturii – T și compoziției chimice – X (sunt excluse în general transformările care se referă la domeniile alterării superficiale și diagenezei).

În tabelul nr. 1, este prezentată abundența rocilor metamorfice în crusta terestră.

Tabelul nr. 1. Abundența rocilor în crusta terestră (după Carmichael, 1989)

Tipuri de roci	Volumul (%)
Roci magmatice	64,7
Roci sedimentare	7,9
Roci metamorfice	27,4

2. TIPURI DE METAMORFISM

CRITERII DE CLASIFICARE

1. Extinderea proceselor metamorfice:

Metamorfism regional (orogenic, de îngropare, de fund oceanic),
Metamorfism local (termic, de dislocare, de impact = șoc)

2. Mediul geologic: centuri orogene, bazine sedimentare crustă oceanică, zone de concentrare a strainului, aureolele rocilor magmatice, talpa pânzelor ofiolitice

3. Factorul metamorfic principal (T, P, P_{H_2O} , Stressul deviatoric, Deformarea):

Metamorfism termic, Metamorfism de dislocare, Metamorfism de îngropare etc.

4. Cauza particulară a unui metamorfism specific:

Impact meteoriților (asteroizilor), Circulația hidrotermală, Combustia unui caustobiolit, Căderea trăsnetului, Intruziunile magmatice

5. Dacă a rezultat dintr-un eveniment singular sau multiplu:

Monometamorfism, Polimetamorfism

6. Dacă metamorfismul a acompaniat creșterea sau descreșterea de temperatură:

Metamorfism prograd, Metamorfism retrograd

1.A. Metamorfism regional: metamorfism cu extindere regională, care afectează un volum mare de roci și este asociat cu procese tectonice de mare amploare, precum orogeneza, riftogeneza, îngroșarea crustală asociată coliziunii, subsidența unor bazine de sedimentare etc.

Au fost separate trei tipuri principale de metamorfism regional:

a. Metamorfism orogenic

b. Metamorfism de îngropare

c. Metamorfism de fund oceanic

1.B. Metamorfism local: un tip de metamorfism ce se desfășoară pe arii restrânse, care poate fi atribuit unei cauze locale, precum: intruziune magmatică, falie sau impact meteoritic.

Dacă metamorfismul, chiar de extindere foarte mare, este asociat unei surse particulare (o intruziune magmatică), sau este restrâns la o anumită zonă (dislocare), este considerat local. Au fost separate patru tipuri principale de metamorfism local:

- a. Metamorfism de contact
- b. Metamorfism cataclastic
- c. Metamorfism de impact
- d. Metamorfism hidrotermal

1. A. Metamorfismul regional

a. **M. orogenic (= M. dinamo-termic)** este tipul de metamorfism asociat cu dezvoltarea centurilor orogenice în zonele marginilor active de plăci convergente

a.1. **M. orogenic asociat zonelor de subducție** (Bucher și Frey, 2002)

Caracteristici:

Cadrul geologic: apare în centuri orogenice de mare extindere ca fază timpurie a metamorfismului orogenic;

Regimul: dinamic; asociat în general cu șariaje;

Temperatură: 150-700 °C (>700 °C în cazul subducțiilor profunde);

Presiune litostatică: 2-60 kbari pentru rocile crustale;

Gradienți de temperatură: 5-12 °C/km (pe verticală) în funcție de viteza de subducție;

Produsele caracteristice : ardezii, filite, șisturi, șisturi verzi, gnaise, amfibolite, migmatite, marmure, cuarțite, granulite;

Procese: asociate cu subducția litosferei oceanice (ofiolite) și parțial cu a rocilor continentale.

a.2. **M. orogenic asociat zonelor de coliziune** (Bucher și Frey, 2002)

Caracteristici:

Cadrul geologic: apare în centuri orogenice ca fază terminală a metamorfismului orogenic;

Regimul: Dinamic; asociat, în general, cu deformări de fază, foliații și cutări;

Temperatură: 150-850 °C (maximum 1050 °C);

Presiune litostatică: 2-10 kbari (până la 14 kbari în unele centuri de coliziune);

Gradienți de temperatură: 12-60 °C/km (pe verticală) în funcție de activitatea magmatică asociată;

Produsele caracteristice : șisturi albastre, eclogite, serpentinite;

Procese: coliziune continent-continent, îngroșare litosferică, compresie și încălzire.

Observații:

- exemple de centuri orogenice: Cordilierii, Alpii, Anzii etc.)
- ridicarea (exhumarea) este însoțită de eroziune
- gradul de metamorfism (T) crește spre „miezul“ orogenic
- cele mai multe centuri orogenice prezintă mai multe episoade de deformare și metamorfism – roci polimetamorfice • în zona centrală a centurilor orogenice sunt prezente batolite.

b. Metamorfism de îngropare

Un tip de metamorfism cu extindere regională care afectează roci îngropate la mari adâncimi, sub stive vulcanogen-sedimentare și care, de obicei, nu este asociat cu deformarea sau cu magmatismul.

Este un metamorfism de grad scăzut în bazine sedimentare intracontinentale cu rată ridicată de subsidență, depărtate de marginile de placă.

Caracteristici:

- metamorfism de acest tip apare de exemplu în Sinclinalul Southland (Noua Zeelandă), Estul Australiei, Japonia, Chile.
- deformarea este puțin intensă
- nu există intruziuni magmatice asociate
- condiții PT: trecere continuă de la condițiile diagenezei la condițiile formării zeoliților, prehnitului, pumpellyitului, laumontitului etc.
- rocile rezultate sunt parțial sau complet recrystalizate și nu au sîstozitate
- implică temperaturi de la foarte scăzute la medii și raporturi P/T de la scăzute la medii
- marginile pasive de placă devin frecvent active și M. de îngropare poate fi urmat de M. orogenic

c. Metamorfismul de fund oceanic: este un tip de metamorfism de extindere regională asociat unui gradient geotermic abrupt, care afectează crusta oceanică în zona dorsalelor oceanice.

Caracteristici:

Cadrul geologic: apare în crusta oceanică și mantaua superioară

Regimul: ± Static; asociat zonelor de rift oceanic, intense fracturi și injecții și lipsa foliației

Temperatură: 150-500 °C (> 500 °C în apropierea magmelor)

Presiune litostatică: < 3 kbari

Gradienti de temperatură: 50-500 °C/km (pe verticală sau orizontală)

Produsele caracteristice: metabazalte, metagabbrouri, serpentinite; se păstrează de regulă fabricul protolitului

Procese: încălzire datorată ridicării astenosferei și intruziunii magmelor mafice în zona dorsalelor oceanice, combinată cu circulația apei marine prin rocile fierbinți fracturate în regim extensional

Observații:

- recristalizarea rocilor este de obicei incompletă
- poate fi considerat un exemplu de Metamorfism hidrotermal
- minerale metamorfice dominante : clorit, albit și cuarț
- rocile au compoziții chimice bogate în Mg și Na și sărace în Ca
- spilitizarea (albitizarea bazaltelor) este o transformare caracteristică

1.B. Metamorfismul termic este un tip de metamorfism de extindere locală cauzat de căldura provenită de la o sursă localizată. Stressul deviatoric poate acompania acest metamorfism în anumite cazuri precum metamorfismul de placă fierbinte. Metamorfismul termic include anumite varietăți particulare:

- a. Metamorfism de contact;
- b. Metamorfism hidrotermal;
- c. Metamorfism de placă fierbinte;
- d. Metamorfism de combustie;
- e. Metamorfism de fulgerare.

1.B.a. Metamorfismul de contact apare în jurul intruziunilor magmatice de dimensiuni considerabile, cu temperaturi mai mari decât a rocilor gazdă. Este cauzat de transferul de căldură de la intruziune către rocile gazdă (Bucher și Frey, 2002).

Caracteristici:

Cadrul geologic: în vecinătatea intruziunilor magmatice; aureola de contact se poate extinde de la câțiva metri la câțiva kilometri;

Regimul: \pm static; lipsa foliației

Temperatură: 150-600 °C (> 600 °C în cazul intruziunilor gabbroice)

Presiune litostatică: de la câțiva bari la 3 kbari

Gradienți de temperatură: 100 °C/km sau chiar mai mult (pe orizontală)

Produsele caracteristice : skarne, corneene, marmure și granofelsuri calcsilicatic

Procese: încălzire datorată intruziunilor magmatice, asociată de regulă cu metasomatism cauzat de circulația hidrotermală convectivă.

Observații:

- Nu este acompaniat de stress deviatoric
- Extinderea, forma și compoziția mineralogică în aureole depind de:

– *Natura plutonului:*

- Dimensiune
- Formă
- Orientare
- Temperatură
- Compoziție

– *Natura rocilor gazdă:*

- Compoziție
- Adâncimea și temperatura rocilor gazdă
- Permeabilitate

Rocile din jurul plutonului sunt de grad metamorfic mai ridicat, cu fabrică izotrop (corneene, granofelsuri)

- Rocile rezultate pot să păstreze structuri și microstructuri relict
- Rocile afectate de metamorfismul de contact sunt de multe ori roci polimetamorfice (metamorfism orogenic urmat de metamorfism de contact)

Pirometamorfismul este un tip de metamorfism de contact caracterizat de temperaturi foarte ridicate și presiuni scăzute, generat de corpuri vulcanice sau subvulcanice. Xenolitele incluse în aceste corpuri suferă de regulă acest tip de metamorfism.

Caracteristici:

- Pirometamorfismul poate fi însoțit de grade diferite de topire parțială
- Roci produse: buchite

1.B.b. Metamorfism hidrotermal

Un tip de metamorfism cauzat de circulația fluidelor apoase fierbinți și a gazelor prin roci fracturate. Procesele hidrotermale și interacțiunea apă-rocă sunt relevante pentru formarea zăcămintelor de substanțe minerale utile, levigarea și alterarea rocilor. Înțelegerea proceselor hidrotermale este de asemenea importantă în contextul producerii energiei geotermice, dar și al utilizării apei termale în stațiunile balneoclimaterice.

Caracteristici:

- descris de Coombs (1961)
- fluide apoase fierbinți implică frecvent și *metasomatism*
- dificil de separat (efecte de natură hidrotermală sunt întâlnite în majoritatea tipurilor de metamorfism)
- metamorfism hidrotermal în ariile geotermice active este cunoscut în California, Islanda, Japonia și Noua Zeelandă.
- interacțiunea apă-rocă are loc atunci când apa care circulă prin porii sau fracturile rocilor are o compoziție care nu este în echilibru cu liantul rocilor.

Notă:

Este vorba de un alt nume pentru metamorfismul de îngropare

1.B.c. Metamorfism de plăcă fierbinte*

Un tip de metamorfism care apare sub un corp tectonic fierbinte, cum sunt pânzele ofiolitice. Gradientul termic este inversat și foarte ridicat.

** Dacă ne referim strict la cauza căldurii, altfel dacă ne luăm după extindere putem vorbi aici de un tip de metamorfism regional (cazul Pânzei Semail din Oman, expusă pe o suprafață de 20000 km²).*

1.B.d. Metamorfism de combustie

Un tip de metamorfism termic datorat arderii naturale a combustibililor minerali (de ex.: în Oltenia, găsește pământ ars în jurul unor strate de cărbuni).

1.B.e. Metamorfism de fulgerare

Tip de metamorfism cauzat de acțiunea fulgerelor în care rocile rezultate sunt denumite fulgurite.

1.C. Metamorfismul de Dislocare = Dinamic = Cataclastic: Este un tip de metamorfism cu extindere locală, asociat zonelor de falie, în care rocile suferă o reducere a dimensiunii granulelor. Produsele tipice ale acestui tip de metamorfism sunt roci nefoliate de tipul brecciilor de falie, argilelor de falie și pseudotachilitelor. După *Bucher și Frey (2002)*, milonitele nu mai sunt privite ca și roci cataclastice deoarece în formarea lor este implicată recristalizarea sintectonică și neoblasteaza. Milonitele implică, în primul rând, curgerea ductilă și se produc în consecință la volum constant.

1.D. Metamorfism de impact: Este un tip de metamorfism de șoc cu extindere locală, cauzat de impactul unui corp planetar (meteorit, asteroid) și prin care rocile țintă suferă topiri și vaporizări.

Dodd (1981): **Metamorfismul de șoc** indus de impacturi supersonice seamănă cu metamorfismul dinamotermic terestru prin aceea că implică atât căldură (temperatură) cât și presiune ridicată dar diferă de procesul amintit prin două aspecte: a) valoarea presiunii atinsă prin șoc este imensă și b) creșterea și scăderea presiunii sunt extrem de rapide ceea ce înseamnă că metamorfismul de șoc este un proces de neechilibru (evident și pe Lună, Marte, Mercur sau pe sateliții planetelor joviene).

Caracteristici:

- Poate fi recunoscut în zona craterelor de impact meteoritic sau în regiunile supuse exploziilor nucleare.
- Sunt caracteristice fazele de presiune f. ridicată (coesit – SiO_2 , stishovit – SiO_2 , cuarț de șoc – SiO_2 = cuarț cu trăsături planare).
- Roci produse: impactite (brecii de impact, sticle de impact, tektite, pseudotachylite de impact, suevite).

Evenimentul metamorfic

Reprezintă o secvență continuă de condiții metamorfice (temperatură, presiune, deformare), sub care începe reconstituirea (transformarea) metamorfică. Un eveniment metamorfic implică, de obicei, un ciclu de încălzire și răcire, care în metamorfismul orogenic este însoțit și de variații de presiune.

Seriile condițiilor metamorfice dintr-un anumit eveniment metamorfic pot fi reprezentate pe diagrame P-T, prin trasee (curbe) P-T-t (t reprezintă timpul).

Se acceptă că schimbările condițiilor de P și T din timpul unui eveniment metamorfic nu implică neapărat o singură fază de încălzire urmată de răcire sau o fază de compresie urmată de decompresie. De aceea, un eveniment metamorfic poate fi **monofazic** (cu un unic punct termic culminant) sau **polifazic** (cu mai multe puncte culminante = metamorphic peaks).

Monometamorfismul este metamorfismul rezultat dintr-un singur eveniment metamorfic (figura nr. 1.a și 1.b).

Polimetamorfismul este metamorfismul rezultat din mai multe evenimente metamorfice (figura nr. 1.c și 1.d).

Metamorfismul prograd (prograde metamorphism): metamorfism ce dezvoltă minerale caracteristice unui grad metamorfic mai ridicat față de cel al paragenzei metamorfice precedente în aceeași rocă sau serie de roci metamorfice.

Metamorfismul retrograd (retrograde metamorphism): metamorfism ce dezvoltă minerale caracteristice unui grad metamorfic mai scăzut față de cel al paragenzei metamorfice precedente în aceeași rocă sau serie de roci metamorfice.

Grad metamorfic: expresie neutră care indică unde este localizat metamorfismul în discuție. În diagrama P-T, întregul câmp al T metamorfice este subdivizat în patru benzi izoterme definite de:

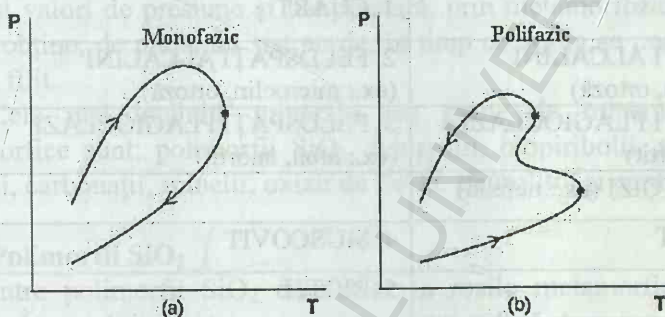
- grad foarte scăzut
- scăzut
- mediu
- ridicat.

Aceste subdiviziuni sunt echivalente cu cele denumite metamorfism de T foarte scăzută, scăzută, medie, ridicată.

Metamorfismul de T foarte scăzută, scăzută, medie, ridicată: în diagrama P-T a faciesurilor metamorfice, întregul câmp al metamorfismului este subdivizat în sectoare ce pornesc din originea corespunzătoare unor gradienti crescători progresiv.

Metamorfismul de raport P/T foarte scăzut, scăzut, mediu, ridicat: în diagrama P-T a faciesurilor metamorfice, întregul câmp al metamorfismului este subdivizat în sectoare ce pornesc din originea corespunzătoare unor gradienti crescători progresiv. Este, în general, utilizat pentru a indica metamorfismul de P ridicată, adică de gradient scăzut și foarte scăzut, cuprins între circa 5° C/Km și circa 10° C/Km.

Monometamorfism



Polimetamorfism

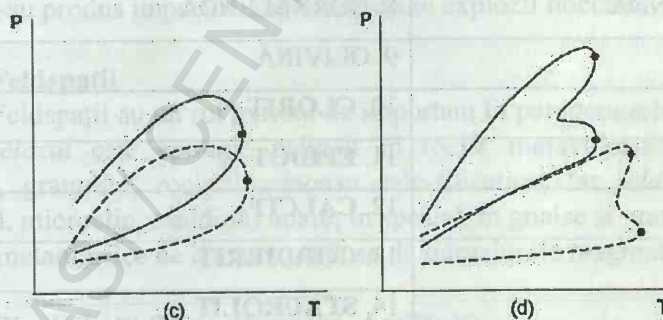


Figura nr. 1.
Ilustrarea

evenimentelor metamorfice monofazice și polifazice produse prin monometamorfism și polimetamorfism

3. MINERALELE ROCILOR METAMORFICE

Dacă în rocile magmatice predomină 10 minerale sau grupe de minerale, în rocile metamorfice se întâlnesc, preponderent, 19 minerale sau grupe de minerale, după cum urmează:

Tabelul nr. 2 Mineralele principale ale rocilor magmatice și metamorfice

ROCI MAGMATICE	ROCI METAMORFICE
1. CUART	1. CUART
2. FELDSPAȚI ALCALINI (ex.: microclin, ortoza)	2. FELDSPAȚI ALCALINI (ex.: microclin, ortoza)
3. FELDSPAȚI PLAGIOCLAZI (ex.: albit, anortit)	3. FELDSPAȚI PLAGIOCLAZI (ex.: albit, anortit)
4. FELDSPATOIZI (ex.: nefelin)	
5. MUSCOVIT	4. MUSCOVIT
6. BIOTIT	5. BIOTIT
7. PIROXENI MONOCLINICI (ex.: diopsid, augit)	6. PIROXENI MONOCLINICI (ex.: diopsid-hedenbergit, jadeit)
8. PIROXENI ROMBICI (ex.: enstatit, hipersten)	7. PIROXENI ROMBICI (ex.: enstatit, hipersten)
9. HORNBLENDĂ	8. HORNBLENDĂ
10. OLIVINĂ	9. OLIVINĂ
	10. CLORIT
	11. EPIDOT
	12. CALCIT
	13. CORDIERIT
	14. STAUROLIT
	15. SILLIMANIT
	16. CIANIT
	17. ANDALUZIT

ROCI MAGMATICE	ROCI METAMORFICE
	18. GLAUCOFAN
	19. GRANAȚI (ex.: pirop, almandin, spessartin, grossular)

Diferența este dată de faptul că în rocile magmatice (plutonice sau vulcanice), mineralele cristalizează dintr-o topitură (magma, lavă), pe când rocile metamorfice se formează prin transformarea în stare solidă a rocilor sedimentare, magmatice sau chiar a altor roci metamorfice.

Compoziții diferite răspund diferit la creșterea presiunii și temperaturii. Spre exemplu dacă asupra unui bazalt și a unei argile se aplică aceleași valori de presiune și temperatură, prin metamorfozarea bazaltului, putem obține, de pildă, un șist verde, în timp ce argila se poate transforma într-un filit.

Cele mai întâlnite minerale sau grupe de minerale din rocile metamorfice sunt: polimorfii SiO_2 , feldspații, biopiribolii, silicații de Al, granații, carbonații, spinelii, oxizii de Fe-Ti, staurolitul și cordieritul.

Polimorfii SiO_2

Între polimorfii SiO_2 care apar în rocile metamorfice, predomină cuarțul. În condiții crustale normale, cuarțul suferă doar o tranziție de fază α - β , forma de temperatură scăzută fiind α -cuarțul, iar cea de temperatură ridicată, β -cuarțul. Coesitul se întâlnește rar în rocile crustale, în condițiile faciesului eclogitic din metamorfismul de presiune ultraînaltă sau în zonele unde s-au produs impacturi meteoritice sau explozii nucleare.

Feldspații

Feldspații au un rol extrem de important în paragenezele metamorfice. *Plagioclazul* este aproape nelipsit în rocile metavulcanice, amfibolite, gnaise, granulite, roci aluminosilicatice, iar *feldspatul potasic* (ortoză, microclin, sanidină) apare, în special, în gnaise și granulite, dar și în rocile metamorfice de contact produse de intruziunile magmatice bazice.

Biopiribolii (Mice, Piroxeni, Amfiboli)

Denumirea „biopiriboli” este un termen colectiv dat mineralelor mafice predominante din roci (bio – biotit; pir – piroxeni; iboli – amfiboli).

Biotitul este un mineral index pentru partea superioară a faciesului șisturilor verzi și apare în diverse roci metamorfice: șisturi, micașisturi,

amfibolite, gnaise. Grupul micelor mai este însă reprezentat și de muscovit, fengit, paragonit, margarit, flogopit, annit. În grupul micelor, mai sunt cuprinse câteva minerale care nu sunt însă mafice. *Muscovitul* este un mineral comun în șisturi, filite, gnaise, micașisturi, *fengitul* apare în șisturile cu glaucofan sau în șisturile albe din faciesul eclogitic, *flogopitul* este întâlnit în marmure și skarne, *paragonitul* apare în metapelite, iar *margaritul* în corneene sau metabazite.

Piroxenii tipici din rocile metamorfice sunt augitul, diopsidul, hedenbergitul, enstatitul, hiperstenul, jadeitul, omfacitul și acmitul (egirinu). *Augitul* se întâlnește în corneene sau skarne. *Piroxenii monoclinici* din seria diopsid-hedenbergit apar în rocile calcsilicatice, skarne, rodingite, serpentinite, granulite și marmure. *Piroxenii rombici* din seria *enstatit-hipersten* sunt tipici granulitelor sau corneenelor cu piroxeni. *Jadeitul* este reprezentativ pentru mediile de presiune ridicată sau foarte ridicată și apare în compunerea rocilor din faciesul șisturilor cu glaucofan sau din faciesul eclogitic (metagranite, gnaise, granofelsuri). *Omfacitul* este o varietate de piroxen cu compoziție intermediară între jadeit și diopsid. *Acmitul* este, de asemenea, întâlnit în mediile de presiune ridicată (de exemplu, în metasienite).

Amfibolii reprezintă un grup important de minerale ce se întâlnesc în metamorfite. Formula structurală generală a amfibolilor este $A(M4)_2(M1)_2(M3)_1(M2)_2(T1)_4(T2)_4O_{22}(OH)_2$, unde A reprezintă elementul alcalin, M – pozițiile ocupate de metale, iar T – pozițiile tetraedrice. Amfibolii metamorfici sunt împărțiți în trei grupe, pe baza cationului ce ocupă poziția M4 (piroxenii sunt divizați, în mod similar, dar pe baza cationului din poziția M2). Cele trei tipuri sunt: amfibolii fero-magnezieni (Fe și Mg în poziția M4), amfibolii calcici (Ca în poziția M4) și amfibolii sodici (Na în poziția M4). În timp ce amfibolii fero-magnezieni apar ca și structuri rombighe sau monoclinice, ultimele două tipuri sunt constituite doar din structuri monoclinice.

Amfibolii rombici fero-magnezieni ce pot să apară în rocile metamorfice sunt *antofilitul* și *gedritul*. Aceștia sunt întâlniți în gnaise, cuarțite negre cu mineralizații de Mn sau în roci de contact. Amfibolii monoclinici fero-magnezieni formează o soluție solidă binară între *grunerit* și *magnezio-cummingtonit* și intră în componența micașisturilor sau al minereurilor primare de mangan legate de cuarțite (cum e cazul *dannemoritului* – varietate de cummingtonit – din Munții Bistriței).

Amfibolii calcici, reprezentați de *edenit*, *hornblendă*, *tremolit* și *actinot*, sunt abundenți în rocile metamorfice din faciesul șisturilor verzi,

faciesul amfibolitelor cu epidot și faciesul amfibolitic: șisturi, amfibolite, gnaise, marmure, roci calcsilicaticice etc.

Dintre amfibolii sodici, cel mai adesea, au fost puși în evidență *glaucofanul* și *riebeckitul*. Glaucofanul apare în parageneze de temperatură ridicată, în special, în cadrul șisturilor cu glaucofan sau al micașisturilor din același facies. Riebeckitul apare într-o varietate mai largă de parageneze, incluzând și minereurile de Fe asociate rocilor de grad scăzut sau metagranitoidele alcaline de temperatură ridicată. Toți amfibolii sodici cu conținuturi intermediare Fe^{3+}/Al sunt colectiv numiți *crossit*.

Silicații de Al (polimorfii Al_2SiO_5) se pot produce doar pe seama unor protoliți bogați în minerale argiloase (i.e. argile), fiind mineralele metamorfice cu cea mai mare importanță petrogenetică. Este vorba de minerale cu aceeași compoziție chimică, diferența de structură rezultând din modul în care ionii de Al^{3+} sunt coordonați de ionii de oxigen; jumătate din sarcini sunt coordonate octaedric prin oxigeni așezați paralel cu axul „c”, iar cealaltă jumătate, la sillimanit este în coordonare 4, la andaluzit în coordonare 5, iar la cianit, în coordonare 6 (Ivanovici et al., 1979). *Andaluzitul* este stabil la presiune scăzută, fiind întâlnit în roci metamorfice de contact sau în roci metamorfozate regional (șisturi, micașisturi, gnaise). *Sillimanitul* este silicatul de Al format în condiții de temperatură ridicată și intră în alcătuirea gnaiselor, migmatitelor sau granulitelor. *Cianitul* (*distenul*) se formează la presiuni ridicate, fiind singurul silicat de Al stabil în faciesul eclogitic. Se poate găsi în gnaise, micașisturi, granofelsuri, șisturi cu talc și fengit (șisturi albe) sau în eclogite.

Granații – $(\text{Ca}, \text{Mg}, \text{Fe}, \text{Mn})_3\text{Al}_2\text{Si}_3\text{O}_{12}$

Granații sunt minerale caracteristice rocilor metamorfice. Majoritatea granaților metamorfici sunt soluții solide între *almandin*, *pirop*, *grossular* și *spessartin*. Acest grup de minerale are și o importanță petrogenetică deosebită deoarece „înregistrează” istoria de formare a rocilor ce-i conțin, prin intermediul incluziunilor de alte minerale sau prin profilul chimic zonat pe care îl pot prezenta. Descoperirea de către Chopin (1984) a *coesitului* în *piropul* din șisturile albe ale Masivului Dora – Maira din Alpii Vestici (Italia) arată că presiunile pot depăși în timpul metamorfismului valoarea de 30 kbari (3 GPa). Granații pot fi întâlniți în micașisturi, gnaise, migmatite, metaultrabazite, marmure, cuarțite, roci calcsilicaticice, rodingite, granulite, granofelsuri, eclogite, șisturi cu cianit, talc și fengit (șisturi albe) etc.

Carbonații (dolomit, calcit, aragonit)

Calcitul și *dolomitul* sunt constituenți importanți ai marmurelor și rocilor metaoficarbonate, iar calcitul mai apare în skarne, calc-șisturi, cipoline sau șisturi carbonatice. *Aragonitul* este extrem de rar întâlnit în rocile de suprafață, deoarece este stabil doar la presiuni (adâncimi) mari, iar cinetica reacției aragonit \leftrightarrow calcit este extrem de rapidă în timpul exhumării rocilor. Identificarea unor incluziuni de aragonit în diamantele rocilor metamorfice din Masivul Kokchetav, Kazahstan, arată că acestea s-au format la adâncimi foarte mari.

Spinelii

Spinelii apar în diverse roci metamorfice. *Magnetitul*, spre exemplu, este stabil în toate faciesurile. Alții precum *hercinitul* (FeAl_2O_4) și *spinelul* (MgAl_2O_4) sunt comune doar la gradele ridicate de metamorfism.

Oxizii de Fe-Ti

Oxizii sunt minerale accesorii foarte importante din rocile metamorfice, deoarece oferă adesea informații privind presiunea parțială a oxigenului care a fost prezentă în timpul metamorfismului. Aceasta se datorează stării variabile de oxidare a Fe din aceste minerale, Fe^{2+} și Fe^{3+} . Oxizii de Fe-Ti cei mai comuni din metamorfite sunt *rutitul* și *ilmenitul*. *Rutitul* (TiO_2) este un mineral stabil chiar și la presiuni foarte mari, iar coexistența sa cu grossularul în rocile din Masivul Kokchetav din Kazastan, conform reacției: $3 \text{ titanit} + \text{kyanit} \rightarrow \text{grossular} + 3 \text{ rutil} + \text{coesit}$, arată presiuni de peste 4 GPa (> 120 km adâncime). Identificarea de către Green *et al.* (1997) a unor incluziuni de *ilmenit* (FeTiO_3) în olivina rocilor din Alpii Centrali a demonstrat că rocile expuse acum la suprafață s-au format la adâncimi de peste 300 km.

Staurolitul – $\text{Fe}_2\text{Al}_9\text{Si}_4\text{O}_{23}(\text{OH})$

Staurolitul provine în urma metamorfismului regional al pelitelor, fiind unul din mineralele index ale metamorfismului de raport P/T mediu. Poate fi deosebit în micașisturile sau gnaisele din faciesul amfibolitelor cu almandin sau din faciesul amfibolitic.

Cordieritul – $(\text{Fe}, \text{Mg})_2\text{Al}_4\text{Si}_5\text{O}_{18}(\text{H}_2\text{O})$

Cordieritul este un mineral întâlnit în corneene sau în metapelite (micașisturi, gnaise) de grad mediu sau ridicat.

4. NOMENCLATURA ROCILOR METAMORFICE

4.1. INTRODUCERE

Spre deosebire de rocile magmatice, nomenclatura rocilor metamorifice este relativ simplă, deoarece termenii de uz curent nu sunt foarte numeroși. Cu toate acestea, deoarece mulți dintre acești termeni nu au avut vreodată o definiție riguroasă, pentru rocile metamorifice nu există încă o nomenclatură și o sistematică consolidată.

Pentru a evidenția această problemă, a fost instituită o comisie de către Uniunea Internațională a Științelor Geologice = International Union of Geological Sciences (IUGS), numită Subcomisia de Sistematică a Rocilor Metamorifice = Subcommission on the Systematics of Metamorphic Rocks (SCMR), care încearcă să găsească un model general al definirii și clasificării rocilor metamorifice, analog celui realizat cu succes pentru rocile magmatice. Chiar dacă nu există încă un glosar oficial concludent pentru rocile metamorifice, în acest capitol sunt folosite unele sugestii, recomandări și definiții petrografice parțial acceptate de SCMR, precum și unele inedite. *Costin și Ciocirdel* (2004) au publicat, plecând de la terminologia SCMR, un ghid de echivalare a termenilor legați de rocile metamorifice în limba română.

LINIA GHID DE CLASIFICARE A UNEI ROCI METAMORFICE

Fiecare rocă metamorfică nu poate fi caracterizată numai de o asociație mineralogică particulară. De regulă, pentru o clasificare corectă a rocilor metamorifice este indispensabil de luat în considerare:

- ❖ Compoziția mineralogică modală, adică procente în volum ale constituenților mineralogici
- ❖ Structura mezoscopică
- ❖ Compoziția și natura protolitului
- ❖ Termenii petrografici speciali, cu tradiție în utilizare

4.2. ALEGEREA NUMELUI UNEI ROCI METAMORFICE

După ce s-au determinat caracteristicile mineralogice și structurale ale unei roci metamorfe, pentru clasificarea ei, trebuie folosită următoarea procedură, trecând la punctul următor, numai dacă criteriul examinat nu este satisfăcător.

Dacă există în lista *termenilor speciali* o definiție adecvată

Dacă *natura protolitului* este determinată cu siguranță

Dacă roca este constituită, în principal, dintr-un singur mineral (mai mult de 75 %)

Dacă roca este ultrafemică (ultramafică)

Dacă este vorba de o rocă cataclastică-milonitică

Se alege unul din termenii de bază, dacă nici unul dintre criteriile de mai sus nu este utilizabil.

1) Utilizarea termenilor speciali

Dacă în lista anexată (pct. d), există un termen special care descrie bine caracteristicile rocii metamorfe care se examinează, acest termen se utilizează obligatoriu.

Exemplu: marmură, amfibolit, eclogit

2) Utilizarea prefixului „meta-“

Dacă a fost recunoscută cu certitudine natura protolitului, numele rocii metamorfe se obține adăugându-se prefixul *meta-* la numele protolitului.

Utilizarea prefixului *meta-* este recomandată pentru rocile specifice unui metamorfism de grad scăzut, pentru care natura protolitului încă se poate recunoaște sau evidenția.

Exemplu: metaarenite, metaconglomerate, metaandezite

N.B.: Prefixul *meta-* nu trebuie utilizat niciodată pentru roci metamorfizate anterior (nu: metaeclogite, metaserpentine!).

3) Utilizarea sufixului „-it“

Dacă o rocă este constituită mai mult de 75 % din volum dintr-un singur mineral, se adaugă sufixul „-it“ la numele mineralului.

Exemplu: cloritit, epidotit, jadeitit, granatit

4) Clasificarea rocilor ultrafemice (ultramafice)

Pentru clasificarea rocilor ultrafemice constituite din olivină, piroxeni, hornblendă, plagioclaz, spinel și/sau granat, pot fi utilizați termeni echivalenți rocilor magmatice.

Exemplu: metalherzolit cu granat, metaharzburgit cu spinel, meta-dunit cu pargasit

Dacă se urmărește indicarea naturii metamorfice ale acestor roci, se pot utiliza expresii ca: granofels cu hornblendă și piroxeni, gnais cu hornblendă.

5) Clasificarea rocilor cataclastice-milonitice

Rocile cataclastice-milonitice sunt clasificate separat în cele ce urmează din cauza caracterelor structurale particulare.

6) Dacă nu a fost posibilă clasificarea rocii pe baza indicațiilor descrise mai sus utilizând caracterele sale structurale, trebuie ales unul dintre termenii de referință, numiți termeni de bază (termeni speciali) (vezi c):

- gnais,
- șist,
- granofels.

Utilizarea specificărilor:

Definiția rocii, obținută după procedura și criteriile indicate anterior, poate fi integrată prin adăugarea de specificații sau modificatori care furnizează ulterior informații utile de tip mineralogic și structural:

a) SPECIFICAȚII MINERALOGICE

Mineralele cele mai abundente

Alegerea mineralelor constitutive care sunt adăugate la numele rocii este variabilă. Regula generală este aceea de a indica constituenții majori sau cei mai abundenți din punct de vedere modal, dar dacă nu sunt deja implicați în definiția termenului de bază (cum ar fi granatul și omfacitul într-un eclogit sau plagioclazul și hornblenda într-un amfibolit).

Numele mineralelor trebuie adăugat după cel al rocii, în ordinea descrescătoare a abundenței, în următorul mod:

- micașist cu biotit și granat (biotitul este mai abundent decât granatul)
- șist cu glaucofan, jadeit și lawsonit (glaucofan > jadeit > lawsonit)
- gnais cu două miche, granat și cianit (miche > granat > cianit)
- marmură cu granat, plagioclaz, diopsid și clorit (granat > plagioclaz > diopsid > clorit)

N.B.: În limba engleză, mineralele preced numele rocii și sunt separate între ele printr-o cratimă.

Exemplu:

- lawsonite-jadeite-glaucophane-schist (glaucophane > jadeite > lawsonite) = șist cu glaucofan, jadeit și lawsonit
- sillimanite-biotite-garnet-gneiss (garnet > biotite > sillimanite)

Minerale critice

Dacă există componenți mineralogici critici, chiar prezenți în cantități mici, numele lor pot fi adăugate după componenții majori și separați de aceștia prin prepoziția cu:

Exemplu: micașist cu biotit, granat, cianit și staurolit, unde cianitul și staurolitul sunt minerale critice.

N.B.: Se recomandă utilizarea a nu mai mult de patru nume de minerale în denumirea rocii.

Minerale relict sau de alterare

Dacă într-o rocă se pot recunoaște, cu siguranță, minerale relict, acestea pot fi indicate ca atare în definiția rocii.

Exemplu:

- eclogite cu relict de Cpx magmatic
- ortogneis cu două mize și cu relict de feldspat magmatic

În caz că unul sau mai multe minerale ale petrogenezei metamorfice sunt vizibil alterate, aceste caractere pot fi indicate în definiția rocii.

Exemplu:

- gnais cu biotit cloritizat (nu gnais cloritic, chiar dacă tot biotitul este transformat în clorit)
- gnais muscovitic cu plagioclaz saurinitizat.

b) SPECIFICAȚII STRUCTURALE

Dacă roca prezintă caractere structurale particulare mezoscopice, cum ar fi: structură în benzi, crenulații, microcute, aceste caractere pot fi adăugate la definiția petrografică a rocii.

Exemplu: micașist crenulat cu două mize

Clasificarea constituenților minerali

În definiția unei roci, cantitatea mineralelor prezente este exprimată în procente de volum (procente modale).

Constituenții mineralogici sunt clasificați astfel:

- ❖ **constituenți principali** (main constituents), dacă sunt prezenți în cantități modale $\geq 50\%$

- ❖ **constituenți majori** (*major constituents*), dacă sunt prezenți în cantități modale $\geq 5\%$
- ❖ **constituenți minori** (*minor constituents*), dacă sunt prezenți în cantități modale $\leq 5\%$
- ❖ **constituenți esențiali** (*essential constituents*), dacă este vorba de specii mineralogice care trebuie să fie, în mod necesar, prezente (ca și constituenți majori sau minori) într-o rocă, pentru că ea poate fi astfel definită. Acești componenți nu sunt menționați în denumirea rocii, deoarece sunt implicați de numele ei (termen de bază).

Exemplu:

- nu se spune micașist cu Qtz (cuarț)
- nu se spune eclogit cu omfacit și granat
- nu se spune amfibolit cu amfibol și plagioclaz

- ❖ **constituenți critici** (*critical constituents*); este vorba despre specii mineralogice sau asociații ale lor ce indică, prin prezența sau prin absența lor, condiții mineralogice particulare (exemplu: eclogit cu coesit) și/sau o compoziție particulară a rocii (exemplu: cuarțit cu piemontit).
- ❖ pentru a descrie compoziția mineralogică a rocilor, se utilizează următoarele fraze **convenționale**:
 - constituit, în principal, din mineralul X = mineralul X constituie mai mult de 50% din volumul rocii.
 - constituit, în principal, din X și Y = X și Y sunt ambii componenți majori și împreună constituie mai mult de 50% din volumul rocii.
 - constituit, în principal, din $X \pm Y$ = X este componentul major, Y poate fi uneori absent; $X \pm Y$ constituie mai mult de 50% din volumul rocii.

Scara observațiilor

În descrierea unei roci metamorifice, este întotdeauna necesar a se indica scara la care a fost efectuată observarea. În acest scop, se utilizează prefixele:

- *micro-*: referitor la scara secțiunilor subțiri
- *mezo-*: referitor la scara eşantioanelor
- *mega-*: referitor la scara aflorimentelor sau la o scară mai mare.

Granulația rocii

În descrierea unei roci metamorifice, este întotdeauna necesar să se facă referire la dimensiunile medii ale cristalelor (granulație), care constituie agregatul fundamental.

Pentru o definire corectă a granulației, este sugerată următoarea clasificare:

- granulație foarte mare: > 16 mm
- granulație mare: 16-4 mm
- granulație medie: 4-1 mm
- granulație fină: 1-0,1 mm
- granulație foarte fină: 0,1-0,01 mm
- granulație ultrafină: $< 0,01$ mm

Cu toate acestea, pentru o determinare expeditivă a granulației pe teren se face, în general, referire la trei subdiviziuni:

- **granulație mare:** dacă mineralele se pot recunoaște cu ochiul liber,
- **granulație medie:** dacă mineralele se pot recunoaște cu ajutorul lupei,
- **granulație fină:** dacă mineralele se pot recunoaște numai la microscop.

Prefixele orto- și para-

Când este posibil, se utilizează prefixele orto-(ortho-) și para-(para-), pentru a indica natura magmatică sau sedimentară a protolitului.

Exemplu: *ortoamfibolit, paraamfibolit, ortognais, paragnais*

c) TERMENI DE BAZĂ

Dacă între termenii speciali, adică termenii consolidați în uz, nu există un nume utilizabil pentru clasificarea rocilor metamorfice, trebuie ales ca termen de referință unul dintre cei 3 termeni de bază indicați mai jos, definiți pe baze structurale:

❖ **Șist:** rocă metamorfică ce prezintă la scara eșantionului o șistozitate bine dezvoltată, definită de orientarea preferențială a mineralelor inechigranulare abundente, în particular filosilicați. Termenul șist poate fi utilizat și pentru roci ce prezintă un marcant fabric liniar.

Exemplu:

- *șist clorito-actinotic cu epidot*
- *șist cu biotit și granat*
- *micașist*
- *micașist carbonatic*
- *micașist antigoritit*
- *șist cu talc și cianit*

❖ **Gnais:** rocă metamorfică ce prezintă o structură gnaisică, adică o structură caracterizată de o foliație spațială, la o scară cel puțin centimetrică, ce produce o structură în benzi.

Exemplu:

- gnais cu biotit și granat
- gnais granitic
- ortognais
- gnais migmatitic
- gnais în benzi
- gnais mafic
- gnais ocular
- gnais amigdaloid
- gnais conglomeratic
- gnais pegmatitic

Termenul este utilizat aproape exclusiv pentru rocile ce conțin din abundență feldspat (\pm Qtz), dar poate fi utilizat în cazuri excepționale și pentru alte compoziții.

Exemplu:

- gnais cu antofilit și cordierit, fără feldspat
- gnais cu cuarț, jadeit și feldspat potasic

Termenul *gnais* poate fi aplicat, de asemenea, și rocilor ce prezintă un fabric preponderent linear; în acest caz, se utilizează denumirea de *gnais linear*.

❖ **Granofels:** rocă metamorfică cu structură granofelsică (structura dată de absența oricărui fel de șistozitate sau liniatii).

Exemplu:

- granofels cu talc, cianit și jadeit
- granofels cu coesit, jadeit și granat
- granofels cu cuarț și epidot

C) TERMENI SPECIALI

• **Argilit (*shale*):** rocă sedimentară sau laminată cu granulație extrem de fină, de compoziție pelitică, ce se formează în condiții de tranziție între diageneză și metamorfism.

masivă

• **Amfibolit (*amphibolite*):** rocă metamorfică gnaisică sau granofelsică cu chimism femic sau intermediar-bazic, alcătuită din cel puțin 75% amfibol (de culoare verde, maro sau negru) și plagioclaz (inclusiv, albit). Alți componenți majori sau minori pot fi: cuarțul, clinopiroxenul, granatul, mineralele din grupa edidotului, biotitul, titanitul și scapolitul.

• **Amfibolit cu albit și epidot** (albite-amphibolite): rocă metamorfică constituită dintr-o asociație de hornblendă cu epidot și albit.

• **Ardezie** (*slate*): rocă metamorfică cu granulație foarte fină care prezintă un clivaj ardezian (șistozitate bine exprimată, în care cristalele individuale sunt prea mici pentru a fi văzute cu ochiul liber). Ardezia este o rocă produsă prin metamorfism de grad foarte scăzut.

• **Corneeană** (*hornfels*): rocă metamorfică neșistoasă constituită preponderent din silicați ± oxizi, ce prezintă o importantă recrystalizare datorată metamorfismului de contact. Comeenele păstrează caracteristicile ereditare ale protolitului, cum ar fi, de exemplu: stratificația sedimentară sau litajul metamorfic. Comeenele pot fi subdivizate ulterior pe baza *granulației*: comeene cu granulație fină, comeene cu granulație mare; *structurii* și *chimismului*: comeene bogate în Al, comeene bogate în Ca, comeene cu silicați de Al.

• **Eclogit** (*eclogite*): rocă metamorfică femică lipsită de plagioclaz, constituită din mai mult de 75% din volum din omfacit și granat (ambele minerale fiind constituenți majori).

• **Rocă eclogitică**: rocă metamorfică cu compoziție mineralogică tipică faciesului eclogitic (omfacit + granat și absența plagioclazului). Exemplu: micașist eclogitic (zona Sesia – Alpii Occidentali), marmură eclogitică sau granofels cu jadeit, cianit și talc.

• **Șisturi albe** (*whiteschists*): roci metamorfice bogate în Al, formate în condițiile faciesului eclogitic, compuse din talc, cianit și fengit. SCRM recomandă utilizarea unor termeni mai preciși. Exemplu: șisturi cu cianit, talc și SCMR

• **Filit** (*phyllite*): rocă metamorfică cu granulație de la foarte fină la medie, cu luciu mătăsos, și care prezintă o șistozitate penetrativă perfectă, rezultată din dispunerea paralelă a filosilicaților. Filitele sunt caracteristice formațiunilor de grad scăzut de metamorfism.

Exemplu:

- filite grafitoase cu sericit și carbonați
- filit cu sericit și clorit.

Din moment ce definiția se bazează pe criterii structurale, pot exista și filite aparținând formațiunilor cu grad mediu de metamorfism, intercalate cu

micașisturi și gnaise. Aceste filite sunt, în general, caracterizate de prezența porfiroblastelor.

Exemplu:

- *filite cu muscovit și porfiroblaste de andaluzit și biotit*
- *filite cu sericit și porfiroblaste de albit*

Pe baze compoziționale, se pot distinge trei tipuri fundamentale de filite:

- **filite sensu stricto**, pentru roci foarte bogate în filosilicați, cu conținuturi de Qtz < 50%,
- **filite cuarțifere** (quartz-phyllite), pentru roci cu conținuturi de Qtz între 50-75%,
- **filite carbonatice** (calc-phyllite), pentru roci ce conțin carbonați între 10-50%.

• **Granulit (granulite):** rocă metamorfică de grad ridicat de metamorfism, ce conține asociațiile mineralogice ale faciesului granulitic (este critică prezența plagioclazului și ortopiroxenui coroborată cu absența muscovitului) și derivată din protoliți cu chimism cuarțo-feldspatic sau bazic. Compoziția mineralogică trebuie indicată prin adăugarea constituenților majori. Granulitele care conțin minerale feromagneziene în proporție mai mare de 30% sunt denumite *granulite mafice*.

N.B. Termenul nu trebuie aplicat rocilor ultramafice, rocilor calc-silicative, marmurelor, rocilor ferifere (ironstones) și cuarțitelor din faciesul granulitic.

- în rocile cuarțo-feldspatice, este tipică asociația **Opx** (piroxen rombic) + **Qtz**,
- în rocile pelitice, este specifică asociația **plagioclaz + Cpx + Opx** (de P scăzută) sau **plagioclaz + Cpx + granat** (de P ridicată).

Exemplu:

- *granulit cu doi feldspați (feldspat alcalin peritit și plagioclaz) și sillimanit*
- *granulit cu almandin, sillimanit și cordierit*
- *granulit cu Opx, cordierit și granat*
- *granulit cu doi piroxeni (clinopiroxen și ortopiroxen cu conținut ridicat de Al_2O_3) și plagioclaz.*

N.B.: În terenurile granulitice, apar împreună roci cu Opx, cu aspect atât magmatic, cât și metamorfic, pentru care există o nomenclatură consolidată, bazată pe compoziția lor:

- *charnockit: granit cu Opx*
- *mangerit: monzonit cu Opx*
- *jotunit: monzodiorit cu Opx*
- *enderbit: tonalit cu Opx*

- *khondalit*: rocă granulitică cu sillimanit + Qtz + granat.

• **Marmura** (*marble*): rocă metamorfică având mai mult de 50% din volumul total minerale carbonatice (calcit și/sau dolomit).

Marmură pură (*pure marble*): dacă conține carbonați în proporție de peste 95%.

Marmură impură (*impure marble*): dacă conține carbonați într-o proporție cuprinsă între 50-95%.

Exemplu:

- *marmură pură cu dolomit*
- *marmură pură cu olivină și flogopit*
- *marmură impură cu olivină și flogopit*

• **Metasomatit** (rocă metasomatică): rocă metamorfică, a cărei compoziție mineralogică și chimică a fost semnificativ modificată de un proces metasomatic (metasomatism). Exemplu: skarn, rodingit.

• **Migmatit**: rocă silicatică produsă de un metamorfism de grad mediu-ridicat, eterogenă de la scară mezo- la megascopice și constituită tipic din porțiuni mai deschise la culoare cu aspect granitic (leucosom), de compoziție feldspatică sau cuarțo-feldspatică și porțiuni închise la culoare cu aspect metamorfic (melanosom) alcătuite din minerale mafice.

Nomenclatura migmatitelor este complexă, fiind vorba de roci care se pot forma prin procese ce au loc în sisteme deschise sau închise în prezența sau absența unei topituri, adică injecție magmatică și metasomatism sau anatexis și diferențiere metamorfică.

Deoarece procesele ce pot genera roci cu aspect migmatitic sunt foarte diverse, incluzând **fuziunea parțială, diferențierea metamorfică, injecția magmatică, metasomatismul de infiltrație**, se recomandă evitarea termenilor genetici, cât timp nu s-a determinat cu certitudine natura procesului. Pentru acest motiv, a fost adoptată clasificarea lui *Ashworth* (1985), ce separă termenii descriptivi de cei genetici.

Terminologia referitoare la părțile componente ale unui migmatit:**A) Termeni descriptivi:**

- *Leucosom* (*leucosome*): porțiunea de culoare deschisă dintr-un migmatit și care are compoziție feldspatică sau cuarțo-feldspatică.
- *Melanosom* (*melanosome*): porțiunea de culoare închisă dintr-un migmatit, bogată în minerale femice, complementară a leucosomului. (Melanosomul nu este prezent întotdeauna).
- *Neosom* (*neosome*): termen ce reprezintă leucosomul + melanosomul.
- *Mezosom* (*mesosome*): porțiunea de culoare intermediară între cea a leucosomului și a melanosomului dintr-un migmatit. Dacă este prezent, mezosomul reprezintă în general, relice puțin sau deloc modificate ale protolitului migmatitului (mezosom = paleosom).

B) Termeni interpretativi:

- *Potolit* (*protolith*): rocă originară în care și la care sunt dezvoltate neosomele (protolit = paleosom).
- *Restit*: porțiune reziduală a unor roci metamorfice din care o cantitate substanțială de componenți mobili a fost extrasă fără a fi înlocuită. Se referă, în general, la un produs rezidual de fuziune parțială. Restitul este, de regulă, format din minerale refractare, cum ar fi: sillimanitul și granatul.
- *Agmatit*: migmatit cu structură de brechie, în care fragmentele sunt cimentate de un leucosom subordonat.
- *Arterit*: varietate de migmatit unde porțiunile mai închise sunt injectate de vene de material mai deschis (leucosom) introdus din exterior (comparativ-venite).
- *Nebulit*: migmatit conținând numai relice vagi, în general, structurale, ale protolitului (= diatexit).
- *Stromatit*: migmatit în benzi, în general, de grosimi variabile, aproape paralele între ele.
- *Venit*: varietatea de migmatit unde porțiunile mai închise de culoare sunt traversate de materiale mai deschise (leucosom) formate *in situ* (comparativ arterit).

Termeni genetici pentru migmatite derivate prin fuziune parțială:

✓ **Anatexit (anatexite):** migmatit care reprezintă evidențe de formare *in situ* printr-un proces de anatexie (anatexis), adică de fuziune parțială.

✓ **Diatexit (diatexite):** migmatit care a suferit un proces de diatexie (diatexis), adică o fuziune parțială de grad ridicat, în urma căruia leucosomul este majoritar față de porțiunile ce conservă structura metamorfică.

✓ **Metatexit (metatexite):** migmatit care a suferit un proces de metatexie (metatexis), adică o fuziune parțială de grad moderat, atât cât să nu distrugă structurile protolitului metamorfic. Metatexia este caracterizată de prezența metatecticilor (metatectis), adică de „pungi” discrete de leucosom, melanosom și mezosom.

✓ **Șist verde sau Rocă verde (greenschist sau greenstone):** rocă metamorfică de compoziție bazică, constituită din albit (adesea, micro-ocular) și unul sau mai multe minerale de culoare verde precum clorit, actinot, epidot și/sau pumpellyit.

N.B.: Termenul este utilizat, în mod obișnuit, în literatura alpină de geologie, în limba franceză, italiană și germană pentru a indica metabazite ofiolitice în faciesul șisturilor verzi.

Acest termen este foarte rar utilizat în literatura anglo-saxonă unde este substituit cu „greenstone” pentru varietatea masivă (i.e. granofels cu clorit și epidot) și „greenschist” (i.e. șist clorito-actinotic cu epidot) pentru cele foliate.

Exemplu: prasinit cu glaucofan, prasinit foliat cu biotit și mică albă

• **Cuarțit (quartzite):** rocă metamorfică (sau foarte rar metasomatică) constituită mai mult de 75% din Qtz.

- cuarțite pure: dacă sunt constituite din mai mult de 95% Qtz:

Exemplu: cuarțit cu granași

- cuarțite impure: dacă conțin între 75-95% Qtz.

Exemplu: cuarțit impur cu mică albă, cuarțit impur cu piemontit și spessartin

• **Roci metaoficarbonatice:** roci neomogene constituite dintr-o porțiune de serpentinit și una de carbonat. Aceste roci au, în general, un aspect brețiat cu fragmente, în principal, serpentinite, de dimensiuni variabile de la scara centimetrică la cea metrică cimentate sau injectate de

vene carbonatice. Proporțiile relative între serpentinit și carbonat sunt foarte variabile chiar dacă, în general, serpentinitul predomină. Venele carbonatice pot fi de natură calcitică (oficalcit-ophicalcite), dolomitică (ofidolomit-ophidolomite) sau magnezitică (ofimagnezit-ophimagnesite). Oficalcitele sunt de departe predominante.

Este vorba de roci tipice ale complexelor ofiolitice care se formează prin reacția dintre serpentinite și CO_2 de origine crustală. Produsul metamorfic al oficarbonatului este denumit *metaoficarbonat*.

Exemplu: metaoficalcit cu antigorit, tremolit și talc, metaofidolomit

- **Rocă cu silicați de Ca** (sau rocă calcsilicatică): rocă metamorfică constituită din mai mult de 50% din volum din silicați bogați în Ca, cum ar fi epidot, zoizit, vezuvian, piroxenii din seria diopsid-hedenbergit, granați – grossular sau andradit, wollastonit, anortit, scapolit, amfibol de Ca. În mod comun, fazele adiționale sunt carbonații de Ca și Mg care nu trebuie să depășească 50 % din volum.

Exemplu: rocile cu compoziție mineralogică asemănătoare formate prin metasomatism de contact, trebuie clasificate ca skarne sau ca și corneene cu silicați de Ca

- **Rodingit**: rocă bogată în Ca și săracă în alcalii și silice (în general, carbonații sunt puțini sau lipsesc), generată prin alterarea metasomatică a rocilor magmatice mafice (bazalte și gabbrouri filoniene) incluse în roci ultramafice (peridotite) serpentinizate. Rodingitele se găsesc, în mod tipic, în serpentinitele complexelor ofiolitice. În Alpii Occidentali, porțiunile constituite predominant din granat erau notate ca granatite. Mineralele rodingitice tipice sunt granații ugranditici (adică din seria uvarovit-grossular-andradit), diopsidul, vezuvianul, epidotul și prehnitul. Un alt mineral care însoțește, în general, silicații bogați în Ca este un clorit concentrat la contactul serpentinit-rodingit.

Exemplu:

- rodingit cu grossular-andradit, vezuvian și clorit
- rodingit cu prehnit, hidrogrossular și diopsid

- **Șist albastru (blueschist)**: rocă șistoasă a cărei culoare albăstruie este datorată prezenței amfibolilor sodici produși de metamorfismul de P ridicată, cum ar fi glaucofan, crossit, Mg-riebeckit. SCMR recomandă înlocuirea denumirii de *șist albastru* cu alți termeni mai expliciți (*șist cu lawsonit și jadeit, șist cu glaucofan și jadeit sau șist cu glaucofan și fengit*).

Este o rocă greu de recunoscut de un nespecialist, deoarece a fost găsită în puține aflorimente.

• **Serpentină** (*serpentine*): rocă metamorfică constituită din peste 75% minerale din grupa serpentinei (antigorit, crisotil, lizardit). Dacă este posibil, este oportună indicarea tipului de serpentină prezentă (i.e. șist antigoritic cu diopsid și forsterit). Dacă serpentina prezintă o foliație marcată, se vorbește de serpentinit șistos.

Exemplu:

- serpentinit antigoritic cu forsterit și diopsid
- serpentinit lizarditic cu brucit
- serpentinoșist antigoritic cu olivină și titano-clinohumit

• **Skarn**: rocă metamorfică cu minerale de Ca, Fe, Mg, Mn, adesea cu benzi sau zone de compoziție diferită, formată prin interacțiunea dintre un sistem carbonatic și unul silicatic, în prezența fluidelor.

Skarnele pot fi subdivizate pe baza:

- chimismului: skarne calcice, skarne magneziene etc.
- condițiilor P-T de formare: skarne de temperatură ridicată și skarne de temperatură scăzută.

Mineralogia tipică a skarnelor cuprinde: wollastonit, diopsid, hedenbergit, grossular, andradit, zoizit, anortit, scapolit, margarit, ilvait, forsterit, humit, monticellit, spinel, flogopit, clintonit, fassait, rodonit, tefroit, piemontit, calcit etc.

N.B.: Skarnele sunt adesea asociate cu mineralizații metalice (Sn, Mo, W, Te, Cu, Pb, Zn etc.)

4.3. NOMENCLATURA ROCILOR DE FALIE

Deoarece în rocile cataclastice și milonitice dezvoltate în zone afectate de o deformare intensă și localizată (falie sau zone de tăiere), se produc structuri particulare, clasificarea lor a necesitat o nomenclatură specifică.

Termenii cei mai obișnuiți utilizați sunt următorii:

❖ **Cataclazit** (*cataclasite*): rocă ce conține, în general, fragmente angulare înglobate într-o matrice cu granulație fină constituită din același material ca și fragmentele. Ea se formează printr-un proces de cataclază, adică printr-o deformare realizată prin efectul fracturării, rotației și alunecării. În general, nu este prezentă o orientare preferențială a granulelor

datorită deformării, dar fracturile pot avea o orientare preferențială. După raportul între fragmente și matrice, cataclazitele sunt subdivizate în:

- **Protocataclazite:** cataclazite în care matricea cu granulație fină formează mai puțin de 50% din volumul rocii.
- **Ultracataclazite:** cataclazite în care cea mai mare parte a megacristalelor sau fragmentelor litice a fost eliminată, deci matricea cu granulație fină constituie mai mult de 90% din volumul rocii.
- **Brecia de falie (brecie tectonică – fault breccia):** cataclazit în care fragmentele angulare sunt semnificativ mai abundente decât matricea, dând rocii un aspect de brecie.
- **Argilă de falie (fault gouge):** material de falie necoeziv, cu granulație fină sau ultrafină, care poate prezenta o foliație și care este, în general, bogat în minerale argiloase. În masa argilei de falie, sunt dispersate, de regulă, claste litice de dimensiuni foarte variabile.

❖ **Milonit (mylonite):** rocă produsă printr-o reducere a mărimii granulelor, ca rezultat al unei deformări ductile, necataclastice în zone de falii, și caracterizată de o foliație fină de tip penetrativ, căreia îi este, de regulă, asociată o liniație minerală. În general, în interiorul matricei cu granulație mai fină, sunt prezente fragmente de cristale de dimensiuni mari numite *porfiroclaste (porphyroclast)* și fragmente litice de compoziție analoagă. După gradul de reducere a granulației, milonitele sunt subdivizate în:

- **Protomilonit:** reducerea granulației s-a produs la mai puțin de 50% din volumul rocii.
- **Mezomilonit:** reducerea granulației este cuprinsă între 50-90% din volumul rocii.
- **Ultramilonit:** reducerea granulației s-a produs la peste 90% din volumul rocii.
- **Milonite oculare (augen mylonite):** milonite ce conțin cristale mari evidente sau fragmente litice înconjurate de matrice foliată cu granulație fină.
- **Filonit (phillonite):** milonit cu granulație fină, bogat în filosilicați, care are strălucirea unui filit.
- **Pseudotachilit (pseudotachylite):** rocă cu granulație ultrafină, de culoare, în general, neagră și aspect lucios, care se prezintă ca vene subțiri injectate sau ca o matrice de pseudobrecie sau pseudoconglomerat ce reumple golurile de dilatare ale unei roci, prezentând diferite grade de fracturare.

- **Blastomilonit** (*blastomylonite*): milonit ce prezintă un semnificativ grad de recrystalizare; conține cristale largi sau fragmente litice distincte înconjurate de matrice fin granulară.

N.B.: Nu se recomandă utilizarea acestui termen, folosit cu o semnificație foarte diferită de unii autori.

4.4. DEFINIREA UNOR TERMENI STRUCTURALI

• **Bandă** (*layer*): nivel singular al unei succesiuni de corpuri de roci tabulare aproape paralele.

N.B.: În literatura română sau italiană, termenul *bandă* este utilizat ca echivalentul litoanelui metamorfic. Termenul se referă la aspectul sub care se prezintă roca în afloriment, dar nu se referă, în mod necesar, la forma tabulară a corpului.

• **Foliație** (*foliation*): orice caracter planar de tip repetitiv sau penetrativ, care se poate recunoaște într-un corp de roci.

Exemple de foliație:

- o structură regulată în benzi la scara eșantionului,
- o orientare planară preferențială a granulelor minerale de dimensiuni diferite,
- o orientare preferențială a agregatelor minerale lenticulare.

Suprafețele de foliație sunt numite *suprafețe S*.

N.B.: Într-o rocă, pot fi prezente mai multe tipuri de foliație cu orientări diverse. Foliațiile pot fi suprapuse.

• **Fractură** (*fracture*): un termen general pentru orice ruptură nepenetrativă în masă unei roci, fie că este însoțită sau nu de deplasare. În timpul sau după formarea lor, fracturile pot fi umplute cu faze minerale.

• **Liniație** (*lineation*): orice caracteristică liniară cu caracter repetitiv sau penetrativ vizibilă într-o rocă.

Exemplu:

- *liniație minerală* = orientare dimensională preferențială a mineralelor,
- *liniație de crenulare* = paralelismul axelor de șarnieră, micro-cutelor,
- *liniație de intersecție* = produsă de intersecția a două foliații.

Într-o rocă, se pot observa mai multe tipuri de linații cu diferite orientări. Liniile corespondente acestor linații se numesc *linii L*.

• **Microliton** (*microlithon*): porțiune dintr-o rocă cuprinsă între două foliații succesive.

N.B.: În general, microlitonii conțin minerale cu orientare diversă față de planele de foliație.

• **Șistozitate** (*schistosity*): un tip de anizotropie planară ce rezultă dintr-o orientare preferențială a granulelor minerale sau a agregatelor de granule minerale.

• **Structură** (*structure*): dispunerea diverselor părți ale unui corp de roci, independent de scara de observație. Cuprinde:

- raporturile spațiale între elementele constitutive ale rocii. Exemplu: structură izotropă, structură orientată.

- dimensiunile, mineralele constitutive și forma lor. Exemplu: structură granoblastică, structură porfiroclastică, structură oculară, structură idioblastică, structură xenoblastică.

- caracterele interne ale constituenților minerali. Exemplu: structura internă a unui mineral, structură zonală.

După scară, se utilizează:

- microstructură,

- mezostructură,

- megastructură.

N.B.: În literatura geologică română, se utilizează încă doi termeni: structură și textură, corespondenții termenilor din limba engleză: texture și structure. Pentru evitarea confuziilor uneori se preferă utilizarea termenului structură în locul celui de textură și fabric în loc de structură.

Termenul **textură** (în sensul școlii germane, utilizat și în România) se referă la caracterele macro-, mezo- și microscopice ale unei roci, pentru care anglo-saxonii utilizau termenul „structure“.

Termenul **structură** (în sensul școlii germane, utilizat și în România) se folosește pentru descrierea caracterelor structurale microscopice, pentru care anglo-saxonii utilizau termenul „texture“.

CNMR este, în momentul actual, orientată spre eliminarea diferențelor dintre textură și structură și utilizarea termenului *structură* pentru

descrierea tuturor caracterelor ce se referă la dispunerea părților componente ale unei roci independent de scara de observare.

Scara de observare poate fi specificată prin utilizarea prefixelor micro-, mezo- și mega-, după care scara poate fi:

- microscopică
- mezoscopică: scara eșantionului
- megascopică: scara aflorimentului.

• **Structura gnaisică** (*gneissose structure*): un tip de foliație la scara, cel puțin a eșantionului, produsă prin deformare și recrystalizare. Ea poate fi definită de:

- un litaj neregulat sau slab definit,
- ochiuri și/sau agregate lenticulare de granule minerale (structură oculară),
- granule minerale inechigranulare prezente în mici cantități sau cu slabă orientare preferențială, ce definește o șistozitate slab dezvoltată.

• **Clivajul** (*cleavage*): un tip de foliație ardeziană ce constă într-un set de suprafețe subparalele strâns grupate și produse prin deformare.

După distanța (spațiul) dintre planele de clivaj, se pot distinge:

- *clivaj continuu*: când există o succesiune de plane la scară milimetrică sau mai fină,

- *clivaj spațiat*: dacă planele de clivaj se succed având între ele un spațiu de la multimilimetric la multicentimetric; porțiunea de rocă cuprinsă între două plane de clivaj este denumită *microliton* (microlithon).

După granulația mineralelor dispuse în planele de clivaj, se distinge:

- *clivaj ardezian (slaty cleavage)*: dacă granulația mineralelor este fină sau foarte fină,

- *șistozitate (schistosity)*: dacă granulația mineralelor este medie sau grosieră.

• **Fabric**: orientare preferențială a părților componente a unei roci.

N.B.: Fabricul și structura reprezintă același lucru, ambii termeni indicând arhitectura unui corp geologic.

4.5. ALTE DEFINIȚII UTILE

• **Acid, intermediar, bazic, ultrabazic:** termeni de referință pentru roci metamorfice derivate din protoliți magmatici, bazați pe conținutul de SiO_2 ($\text{SiO}_2 > 63\%$, $\text{SiO}_2: 63-52\%$, $\text{SiO}_2: 52-45\%$, $\text{SiO}_2 < 45\%$).

N.B. Rocile intermediare sunt ulterior clasificate :

- intermediar-bazice: cu $\text{SiO}_2 : 52-57\%$,
- intermediar-acide: cu $\text{SiO}_2 : 57-62\%$.

• **Diaftoreza** (*diaphoresis*): metamorfism retrograd pe baza condițiilor de P-T.

• **Diaftorit** (*diaphthorite*): rocă metamorfică afectată de un important proces de diaftoreză, deci de un metamorfism retrograd, în baza condițiilor de P-T.

• **Diferențiere metamorfică** (*metamorphic differentiation*): redistribuirea granulelor minerale și/sau componentilor chimici într-o rocă metamorfică, datorită unui gradient de T, P sau compoziție. În general, are loc o redistribuire spațială a fazelor minerale, fără modificarea compoziției chimice globale a rocii.

Exemplu : În filite, acest proces produce o alternanță – mici nivele milimetrice mai bogate în Qtz și filosilicați care simulează o stratificație sedimentară.

• **Facies:** „Într-o rocă sau formațiune metamorfică ce a atins echilibrul chimic prin metamorfism în condiții de temperatură și presiune constantă, compoziția mineralogică este controlată numai de compoziția chimică”. Eskola (1915):

Facies metamorfic = **concept** : două componente ale conceptului → descriptivă și interpretativă:

- Componenta descriptivă: relația dintre *compoziția chimică* și *mineralogia rocii*,

- Componenta descriptivă a stat la baza conceptului elaborat de Eskola. Un facies metamorfic este, din punct de vedere descriptiv, un set de asociații minerale metamorfice ce caracterizează o anumită regiune.

• **Serie de faciesuri:** O evoluție PT a unui teren metamorfic ar trebui să traverseze o serie (succesiune) de faciesuri, de-a lungul unui gradient termic caracteristic.

Miyashiro (1961) a propus 5 serii de faciesuri :

1. Serii de faciesuri **de contact** (P foarte scăzută)
2. Serii de faciesuri **tip Buchan sau Abukuma** (metamorfism regional de P scăzută)
3. Serii de faciesuri de **tip Barrovian** (metamorfism regional de P medie)
4. Serii de faciesuri de **tip Sanbagawa** (P ridicată, T medie)
5. Serii de faciesuri de **tip Franciscan** (P ridicată, T scăzută)

• **Geobarometru:** Un geobarometru poate fi:

- (a) un mineral cu structură dependentă de presiune,
- (b) un mineral cu chimismul dependent de presiune,
- (c) două sau mai multe minerale, ai căror componenți chimici comuni își modifică partițiile în funcție de presiune.

• **Geotermometru:** Un geotermometru poate fi:

- (a) un mineral cu structură dependentă de temperatură,
- (b) un mineral cu chimismul dependent de temperatură,
- (c) două sau mai multe minerale, ale căror componenți chimici comuni își modifică partițiile în funcție de temperatură.

• **Minerale femice (mafice):** termen ce se referă la mineralele de Fe și Mg.

• **Minerale sialice (felsice):** termen ce se referă la Qtz, felspați, feldspatoizi și scapolit.

• **Rocă femică (mafică):** rocă constituită, în principal, din minerale femice (a căror participare modală depășește 50% din volumul rocii).

• **Rocă sialică (felsică):** rocă constituită, în principal, din minerale leucocrate.

• **Simplectit (symplectite)** = intercreștere foarte fină de două sau mai multe faze (îndivizii aceleiași faze au orientare optică identică).

4.6. TERMENI PETROGRAFICI RESTRICȚIONAȚI

❖ **Anagenit:** conglomerat ușor metamorfozat cu fragmente de Qtz și riolite adesea de culoare roșie, conținând mică albă fină de neoformație.

❖ **Cale-sist:** sist constituit, în principal, din carbonați (calcit, ankerit) și filosilicați (mică albă). Termenul de *sist calcitic* este astăzi substituit de micașist carbonatic.

- ❖ **Cipolin:** rocă metamorfică carbonatică bogată în calcit, clorit și talc.
- ❖ **Kinzigit:** micașist gnaissic cu biotit, granat, sillimanit și cordierit ca minerale accesorii. Este un termen utilizat și în geologia alpină, cu semnificație formațională, pentru indicarea secvențelor constituite, în principal, din parașisturi în facies amfibolitic, adesea cu pungi cuarțofeldspatice de natură anatectică, caracteristice zonei Ivrea și Austroalpinului Alpilor Occidentali.
- ❖ **Leptinit:** benzi amfibolitice, în alternanță cu benzi felsice, având diverse conotații genetice.
- ❖ **Porfiroid:** metavulcanit cu structură porfirică recognoscibilă, în care fenocristalele originale sunt înconjurate de o foliație dată de mize (Exemplu: porfiroid sericitic, porfiroid biotitic); structurile porfirice se pot păstra și la un grad mediu de metamorfism (Exemplu: porfiroidele de Pietrosu întâlnite în zona Zugreni).
- ❖ **Șisturi porfiroide:** corneene cu porfiroblaste sau agregate formate prin metamorfismul de contact al rocilor metamorfice de grad scăzut.
- ❖ **Stronalit:** granulit sau granofels cu granat, sillimanit și Qtz \pm biotit \pm feldspat potasic \pm Opx. Definit prima dată de *Artini și Melzi* (1900), ca un diferențiat acid al rocilor gabbro-noritice, a fost ulterior interpretat de *Bertolani* (1968) ca o rocă granulitică cu cantități foarte variabile de granat, Qtz, sillimanit, feldspat potasic \pm Opx \pm Cpx.

5. DEFORMAREA ROCILOR

- Analiza stressului
- Analiza deformării – strainul
- Reacția rocilor la stress (mecanisme de deformare a rocilor): a) Deformarea casantă = cataclastică = rupturală (fisuri, falii); b) Deformarea plastică = ductilă (cute, budine, clivaje, zone de forfecare, șariaje); c) Transferul de masă prin difuziune (porfiroblaste)

5.1. Analiza stressului

Deformarea rocilor este determinată de forțele ce acționează în cadrul crustei terestre. Vectorul forță ce acționează asupra unei suprafețe are o direcție și o mărime care depind de orientarea acesteia. Ca urmare, nu este posibilă definirea forțelor dintr-o rocă, într-un anumit punct, printr-un singur vector; fiecărei suprafețe care trece prin acel punct îi este asociat un anume vector forță. Relația dintre aceste valori este exprimată ca stressul din acel punct în roca respectivă. Este important de remarcat că stressul poate fi definit doar pentru un punct particular, din moment ce, în mod normal, el diferă de la loc la loc într-un anumit material.

Când o forță este aplicată unui anumit obiect, urmează accelerarea acestuia. În schimb, într-o stare de stress, forțele se află în echilibru. Dacă un stress inegal este aplicat unei roci pentru o perioadă suficientă de timp, aceasta va fi deformată (strain). Magnitudinea stressului este egală cu magnitudinea forței divizată cu suprafața pe care aceasta acționează (la fel ca în cazul presiunii). Stressul este, de altfel, un tensor (obiect matematic definit), pentru a cărui caracterizare în spațiul tridimensional sunt necesare 9 numere. Deoarece în aplicațiile geologice stressul este simetric, 6 numere sunt însă suficiente pentru definirea acestuia. Dintre acestea, 3 numere descriu valorile principale ale stressului de-a lungul axelor principale de stress în trei direcții ortogonale, iar celelalte 3 descriu orientarea spațială a axelor principale de stress. Valorile principale ale stressului sunt exprimate ca σ_1 (cea mai mare), σ_2 și σ_3 (cea mai mică). Axele principale ale stressului sunt perpendiculare pe cele 3 suprafețe pe care acționează.

Stressul este, de obicei, ilustrat printr-un elipsoid al stressului, ale cărui axe principale de stress sunt axele de simetrie. Stressul ce acționează pe un plan într-o rocă, poate fi descompus în două componente: *stressul normal* (σ_n) și *stressul de forfecare* (τ). În aplicațiile geologice, este utilă subdivizarea stressului în *stress mediu* ($\sigma_{\text{mediu}} = \sigma_1 + \sigma_2 + \sigma_3 / 3$) și *stress diferențial* ($\sigma_{\text{dif}} = \sigma_1 - \sigma_3$). Termenul de *stress deviatoric* este definit ca $\sigma_{\text{dev}} = \sigma_n - \sigma_{\text{mediu}}$ și arată cu cât de mult deviază valoarea stressului normal față de stressul mediu. Stressul deviatoric și stressul diferențial sunt cauza strainului permanent din roci și analiza lor e foarte importantă în geologie. Foarte rar, direcția stressului principal și a strainului coincid.

Câteva exemple de stări deosebite ale stressului sunt:

1. *Stressul uniaxial*, în care un stress principal (σ_1 sau σ_3) este diferit de zero și celelalte două sunt egale cu zero.
2. *Stressul biaxial*, în care două din stressurile principale sunt diferite de zero și cel de-al treilea este egal cu zero.
3. *Stressul triaxial*, în care σ_1 , σ_2 și σ_3 au valori diferite de zero. Acesta este cel mai general sistem de stressuri și, probabil, cel mai frecvent întâlnit în natură.
4. *Stressul de forfecare pură*, în care $\sigma_1 = -\sigma_3$ și este diferit de zero, iar $\sigma_2 = 0$; este un exemplu de stress biaxial.
5. *Presiune hidrostatică*, în care $\sigma_1 = \sigma_2 = \sigma_3 = p$.

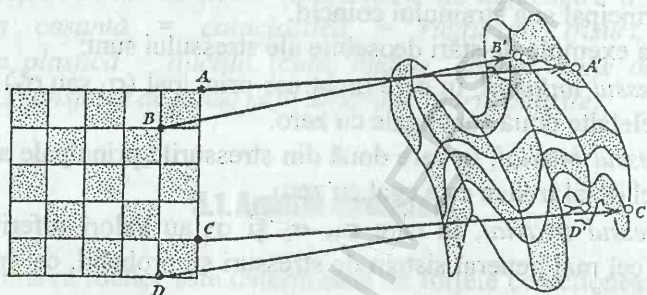
Atunci când se dorește aflarea stressului normal sau de forfecare pe un plan, la un anumit unghi cu direcțiile principale de stress, elipsoidul stressului nu mai este de folos și în locul acestuia se folosește diagrama Mohr.

5.2. Analiza deformării – strainul

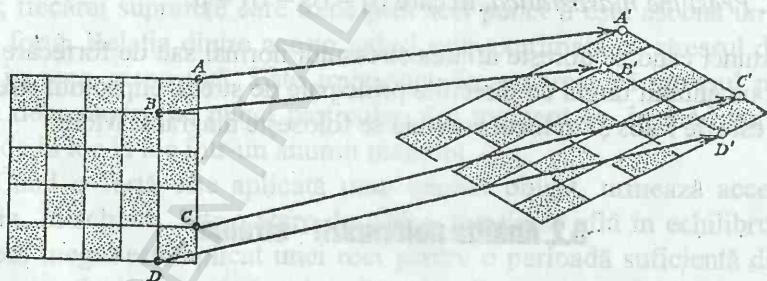
Strainul este măsura cantității deformării suferite de un obiect. Deformarea poate să apară în diverse feluri: translație, schimbare de volum, distorsiune liniară, distorsiune unghiulară și rotație. Strainul se măsoară în două feluri, fie ca schimbarea în lungime a unei linii, fie ca schimbarea unghiului între două linii.

Atunci când un corp este distorsionat, în dispunerea relativă a particulelor apar schimbări. Pentru descrierea acestor schimbări, trebuie să ne concentrăm atenția asupra unui punct din corpul nedeformat, imaginându-ne o mică sferă cu centrul în acel punct. În corpul deformat, această sferă devine un elipsoid. Strainul omogen se evidențiază comparând

forma și mărimea acestui elipsoid numit *elipsoidul strainului* (*elipsoidul deformării*), cu forma și mărimea sferei inițiale. Axele principale ale elipsoidului strainului sunt notate în lucrările de specialitate cu λ_1 , λ_2 , λ_3 . Pe aceste direcții, sunt definite strainurile principale, care pot fi exprimate fie ca scurtări, fie ca alungiri. Planele din elipsoid care conțin două direcții principale se numesc *plane principale de deformare*. Deoarece, în practică, reprezentarea diferitelor stări ale strainului este mai dificilă, se utilizează în locul elipsoidului strainului, diagrama Flinn.



Deformare neomogenă



Deformare omogenă

Figura nr. 2. Ilustrarea tipurilor de deformare omogenă sau neomogenă (după Hobbs et al., 1988)

5.3. Reacția rocilor la stress (mecanisme de deformare a rocilor)

- a) Deformarea casantă = cataclastică = rupturală (fisuri, falii);
- b) Deformarea plastică = ductilă (cute, budine, clivaje, zone de forfecare, șariaje);
- c) Transferul de masă prin difuziune.

Deformare omogenă/Deformare neomogenă

Caracterul deformației unui corp omogen se deduce din analiza formei pe care a avut-o acel corp înainte și după deformație. Astfel, un corp solid a suferit o *deformare omogenă* când două părți din el au avut înainte de deformare forme și orientări similare care s-au păstrat și după deformare. Astfel liniile și planele paralele imaginar înscrise în acel corp înainte de deformare vor rămâne paralele și după încetarea deformării. De asemenea, cercul imaginar înscris în acel corp se va transforma într-o elipsă, iar sfera, într-un elipsoid.

Când condițiile caracteristice deformației omogene nu se mai respectă (planele se curbează), atunci deformația are caracter neomogen. *Deformația neomogenă* se caracterizează prin viteze diferite de mișcare în fiecare punct al corpului supus deformării (*Figura nr. 2*).

a) Deformarea casantă

În această deformare, rocile se modifică prin fracturare ce implică schimbare (creștere) de volum, deoarece particulele fragmentate și deplasate nu se mai pot așeza împreună ca înainte de deformare. În cadrul fragmentelor de minerale, nu se produc distorsiuni interne. Așa se deformează rocile în crusta superioară, iar deformarea e, de obicei, localizată pe zone de falii sau șariaje. Expansiunea volumetrică face ca rezistența la cataclază să crească semnificativ cu creșterea presiunii (adâncimea de îngropare). Procesul este, de asemenea, sensibil la variațiile de temperatură.

b) Deformarea plastică = ductilă

Este un proces de volum constant, dependent de presiune, temperatură sau de descreșterea ratei strainului. De această dată, structura cristalină a granulelor suferă distorsiuni prin alunecarea unul peste altul a planelor atomice. Această deformare se produce, de obicei, de la partea mediană a crustei în adâncime și poate fi acompaniată de revenire sau recrystalizare dinamică.

c) Transferul de masă prin difuziune

În cadrul acestui proces, forma granulelor se schimbă prin difuziunea materialului de pe interfețe de la orientări de stress foarte ridicat la orientări de stress scăzut. Transferul este dependent de presiune, dar și foarte sensibil la variațiile de temperatură. Apare, în general, la temperaturi ridicate, unde poate să apară difuziunea în stare solidă și este favorizat de dimensiuni mici ale granulelor.

6. ELEMENTE STRUCTURALE ÎN ROCILE METAMORFICE

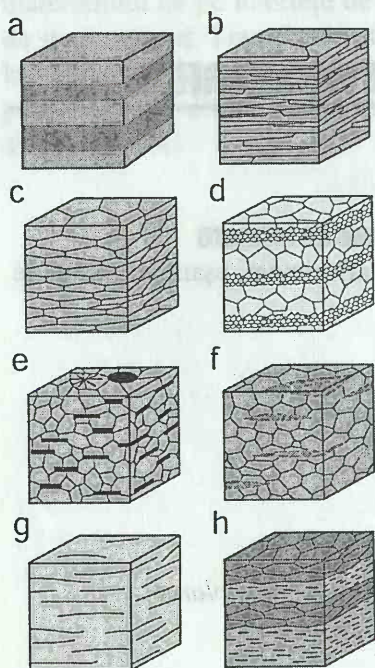
6.1. FOLIAȚIA – tipuri și mecanisme de formare

- observabile la diferite scări (regională, afloriment, eșantion, secțiune subțire)
- definesc fabricul
- Foliație: orice element planar repetitiv (penetrativ)
- Liniație: orice element liniar repetitiv (penetrativ)

Tipuri de foliații (figura nr. 3 A)

- a. Stratificație compozițională*
- b. Orientarea preferențială a mineralelor cu habitus planar*
- c. Forme aplatizate datorită unor granule deformate*
- d. Variația dimensiunii granulelor*
- e. Orientarea preferențială a unor minerale cu habitus planar într-o masă fără orientare preferențială*
- f. Orientarea preferențială a unor agregate minerale lenticulare aplatizate*
- g. Orientarea preferențială a unor fracturi (discontinuități)*
- h. Combinații ale situațiilor a-g*

Tipuri de foliații



(A)

Tipuri de liniații

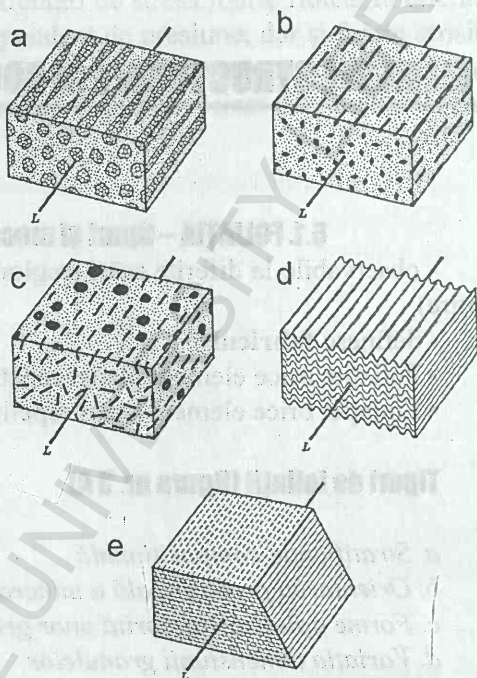


Figura nr. 3. Principalele tipuri de foliații (A) și liniații (B) (din Passchier & Trouw, 1996)

Tipuri de liniații (figura nr. 3 B)

a. Agregate minerale alungite (l. de agregat) b. Orientarea preferențială a mineralelor cu habitus alungit (l. minerală) c. Liniație definită de minerale cu habitus planar (l. minerală) d. Axe de microcute (l. de crenulație) e. Intersecția elementelor planare (l. de intersecție).

Formarea foliațiilor A) Mecanisme asociate forfecării pure

- 1) Prin aplatizare – mineralele protolitului sunt transpuse (prin rotații) într-un nou plan. Fabric planar. Alungiri în planul foliației și scurtări în oricare alt plan
- 2) Prin solubilizare incongruentă și precipitare, sub presiune
- 3) Prin solubilizare congruentă și precipitare + aplatizare
- 4) Prin solubilizare congruentă (fără precipitare) + rotații
- 5) Prin solubilizare congruentă și precipitare + rotații

- 6) Supracreșteri controlate de axele de anizotropie de creștere (principiul lui Ricke)
- 7) Neoformări minerale controlate de orientarea strainului
- 8) Recristalizarea agregatelor poligranulare

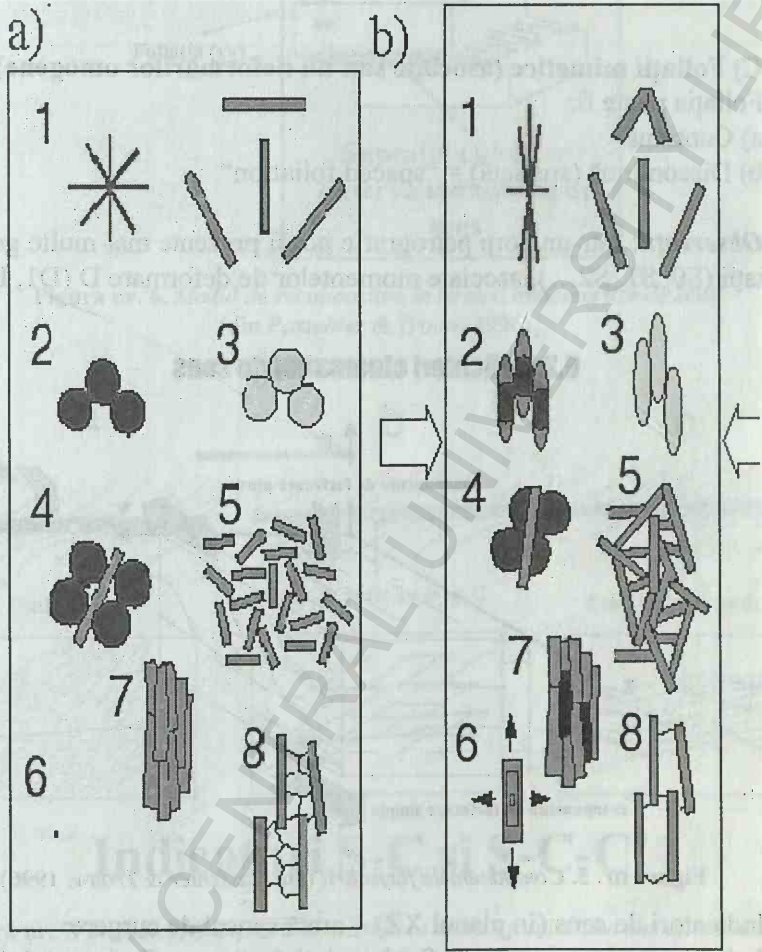


Figura nr. 4. Formarea foliațiilor prin mecanisme asociate forfecării pure (din Passchier & Trouw, 1996)

B) Mecanisme asociate forfecării simple

- 1) prin cutare – apariția unui clivaj de plan axial
- 2) prin blasteză dinamică (sincinemantică)
- 3) prin recristalizare dinamică (sincinemantică)

C) Foliații mimetice (asociate sau nu deformărilor omogene)

Foliația poate fi:

- a) Continuă
- b) Discontinuu (spațiată) = “spaced foliation”

Observații: într-un corp petrografic pot fi prezente mai multe generații de foliații (S0, S1, S2...), asociate momentelor de deformare D (D1, D2...).

6.2. Indicatori cinematici de sens

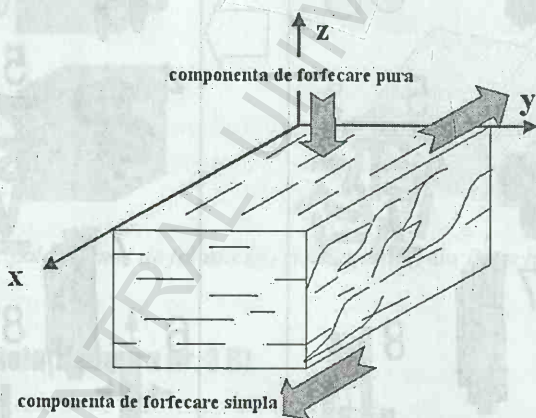


Figura nr. 5. Componentele forfecării (din Passchier & Trouw, 1996)

Indicatori de sens (în planul XZ) – arată sensul de curgere

Indicatorii cinematici pot fi observați la scara aflorimentului, eșan-
tionului sau în secțiuni subțiri orientate XY, YZ și XZ.

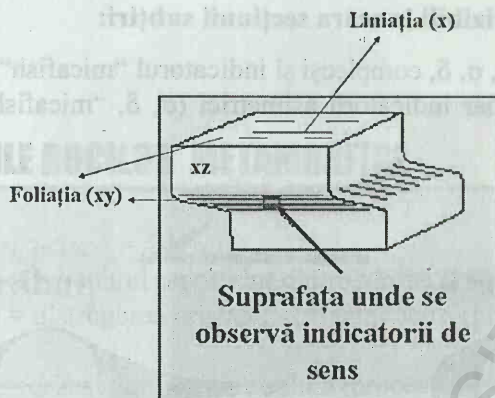
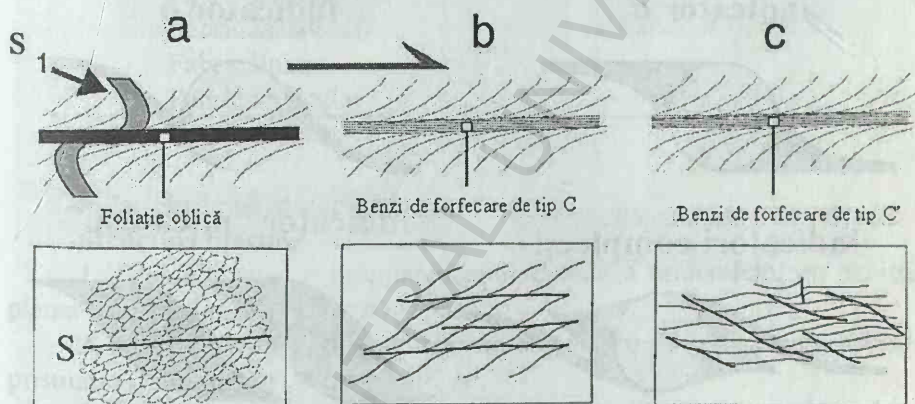


Figura nr. 6. Modul de recunoaștere în teren a indicatorilor de sens
(din Passchier & Trouw, 1996)



Indicatori S-C și S-C-C'

Figura nr. 7. Indicatori S-C și S-C-C' vizibili la scara eșantionului sau aflorimentului
(din Passchier & Trouw, 1996)

Indicatori vizibili la scara aflorimentului:

1. Orientarea unor markeri precinematici în raport cu foliația
2. Cute asimetrice
3. Indicatorii S-C și S-C-C' (S – Șistozitatea = foliația principală, adesea oblică pe limita zonei de forfecare; C – Benzi de forfecare, adesea paralele cu limita zonei de forfecare; C' – Benzi de forfecare, adesea oblice cu limita zonei de forfecare).

Indicatori vizibili la scara secțiunii subțiri:

Indicatorii θ , σ , δ , complecși și indicatorul “micafish” (pește micaceu),
Sunt utili doar indicatorii asimetrici (σ , δ , “micafish”), caracteristici porfiroclastelor.

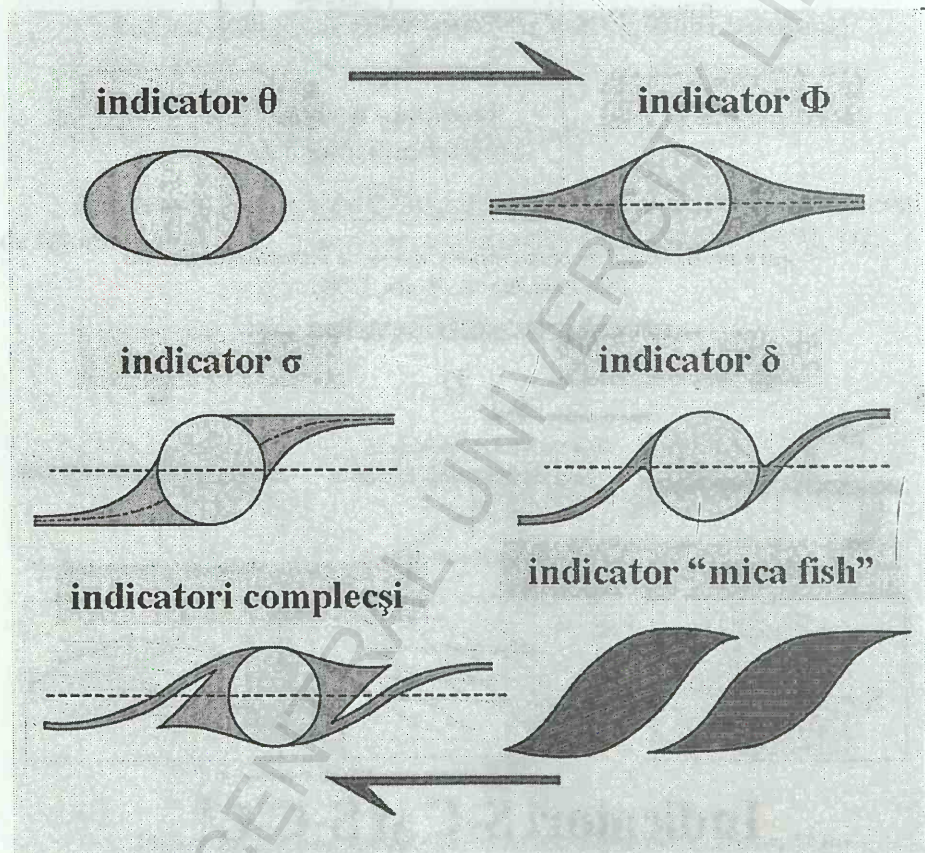


Figura nr. 8. Indicatori cinematici de sens vizibili la scara secțiunii subțiri
(din Passchier & Trouw, 1996)

7. STRUCTURILE ROCILOR METAMORFICE

Structuri (*structură* = *fabric*)

Structura este rezultatul raportului dintre *blastează* și *clastează*:

- a) *Clasteza* = distrugerea cristalelor, fragmentare (proces distructiv) = structuri clastice,
b) *Blasteza* = cristalizare în stare solidă (proces constructiv) = structuri blastice.

a. la scară macroscopică

Fabric lamelar

Fabric masiv

Fabric liniar

Fabric lenticular

Fabric rubanat

b. la scară microscopică

Structuri blastice

1. *Lepidoblastică* = orientarea preferențială a mineralelor cu habitus planar (fabric planar) – *Figura nr. 9*,
 2. *Nematoblastică* = orientarea preferențială a mineralelor cu habitus prismatic (fabric liniar) – *Figura nr. 10*,
 3. *Granoblastică* = fără orientare preferențială (fabric granoblastic = izotrop – *Figura nr. 11*); (structura decusată e un caz particular de structură granoblastică – *Figura nr. 14 d, e*),
 4. *Porfiroblastică* = prezența penetrativă a porfiroblastelor (minerale de dimensiuni mai mari, crescute în timpul metamorfismului – *Figura nr. 12*).
- Sunt posibile orice combinații între structurile de mai sus (1-4), în funcție de aspectele structurale predominante: Grano-lepidoblastică, lepido-nematoblastică, nemato-porfiroblastică etc.

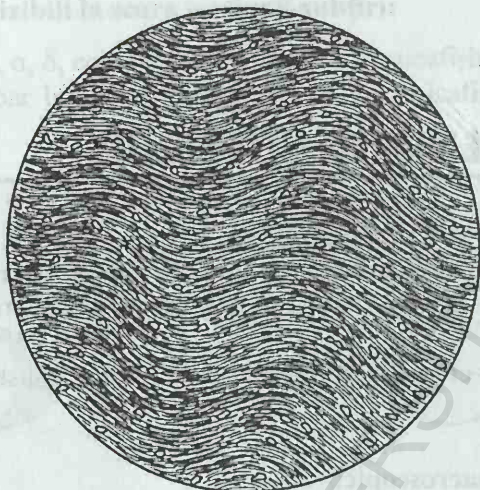


Figura nr. 9. Structură lepidoblastică într-un filit
(se observă granule fine de cuarț și lamele de sericit)

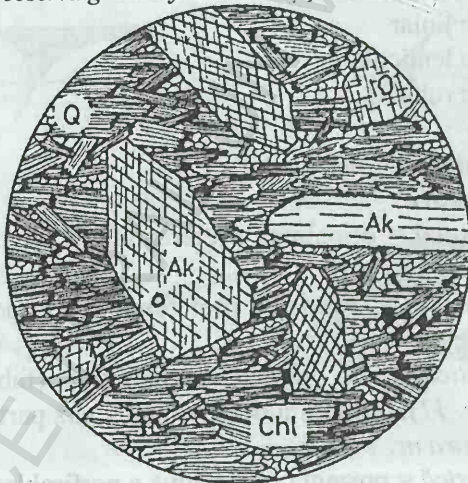


Figura nr. 10. Structură nemato-lepidoblastică într-un șist verde
(se observă cristale prismatice de actinot și lamele de clorit)

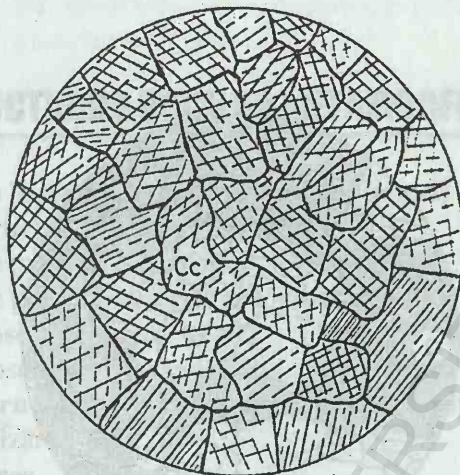


Figura nr. 11. Structură granoblastică într-o marmură
(se observă granule poligonale de calcit)

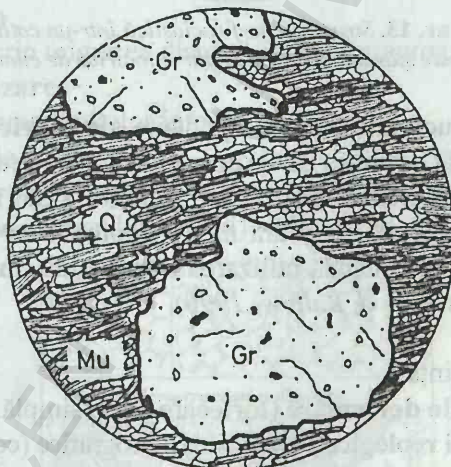


Figura nr. 12. Structură porfiroblastică într-un micașist cu granați
(se observă porfiroblaste de granați, lamele de muscovit și cuarț)

Structuri clastice:

1. Cataclastică (Figura nr. 13),
2. Porfiroclastică = prezența penetrativă a porfiroclastelor (minerale de dimensiuni mai mari, relict, pre-cinematice).

Structuri plastice:

1. Milonitică

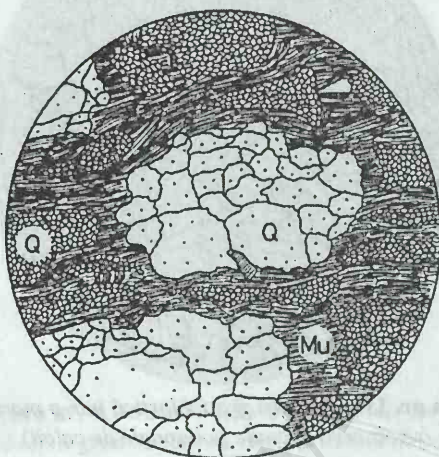


Figura nr. 13. Structură porfiroclastică într-un cataclazit
(se observă cristale sfărâmate de cuarț într-o matrice de cuarț, feldspat și mică)

Elementele structurale sunt componente ale **fabricului**. Termenul de **fabric** înglobează atât noțiunea de **structură**, cât și pe cea de **textură**.

Observație: Termenul englezesc „texture” se referă la relațiile geometrice dintre minerale, la scară microscopică. *International Union of Geosciences (IUGS)* recomandă utilizarea termenului „microstructure”, în loc de „texture” (*Paschier & Bullock, 1990*).

Fabricul:

- este o consecință a
 - **regimului de deformare** (forfecare pură, simplă, generală),
 - **comportării reologice** a corpurilor petrografice (compoziția modală),
 - **condițiile PT** de metamorfism.

Observație:

- fluidele favorizează, de exemplu, blasteza mineralelor hidratate,
- fluidele percolează rocile deformate (sau în curs de deformare), în special, pe toate tipurile de discontinuități. Se dezvoltă astfel benzi de minerale hidratate ce alternează cu benzi minerale anhidre (se formează foliații discontinui),
- fluidele afectează drastic comportarea reologică a sistemelor petrografice.

8. MICROSTRUCTURILE ROCILOR METAMORFICE

- penetrative la scara mică (scara secțiunii subțiri)

A) Microstructuri relict

- moștenite (conservate) de la protolit,
- trădate de pseudomorfoze după minerale relict:

- a) pseudomorfoze totale,
- b) pseudomorfoze parțiale.

B) Microstructuri deformaționale date de raportul: deformare / revenire / recrystalizare

1. Deformarea

Se produce prin *curgere cataclastică* (fragmentarea mecanică și alunecarea + rotirea fragmentelor)

2. Revenirea

Se produce prin migrarea dislocațiilor și formarea subgranulelor

3. Recrystalizarea

- a) Prin migrarea limitelor intergranulare,
- b) Prin rotirea subgranulelor.

C. Microstructuri controlate de creșterea temperaturii (sau de dominanța blastezei asupra deformării) – *Figura nr. 14*

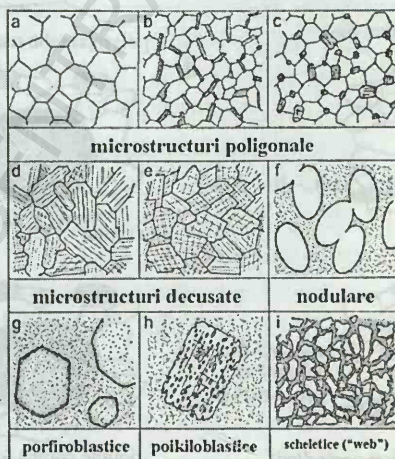


Figura nr. 14. Microstructuri controlate de dominanța blastezei asupra deformării (din Passchier & Trouw, 1996)

D. Microstructuri controlate de scăderea bruscă a presiunii sau/și temperaturii

- depresurizările rapide (adiabatice),
- răcirile rapide.

• Șansele cele mai mari pentru conservarea paragenzelor mai vechi (relicte),

• Mineralele cele mai instabile în noile condiții PT se descompun (sau reacționează), formând faze minerale stabile în noile condiții, dar blasteza este inhibată ($v_{\text{nucleere}} > v_{\text{creștere}}$),

• Se formează intercreșteri fine de minerale (dimensiuni mici ale cristalelor, uneori dimensiuni submicroscopice) =

a) simplectite

Cazuri particulare de simplectite:

- myrmekite,
- microstructuri grafice,
- microstructuri scheletice (web) = o fază scheletică intercreșcută cu o fază larg cristalizată.

b) lamele de exsoluții,

c) microstructuri coronitice (caz particular: kelifitice) – Figura nr. 15.

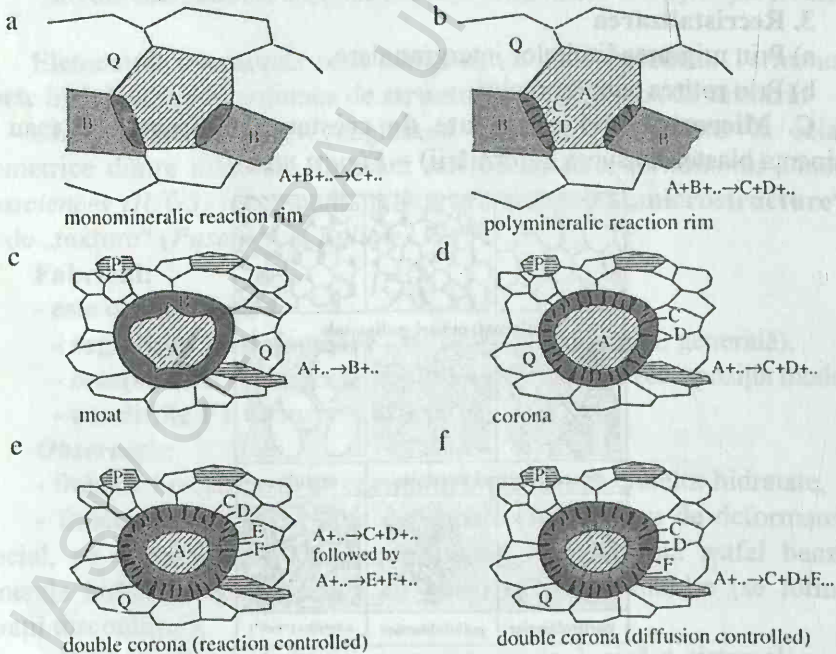
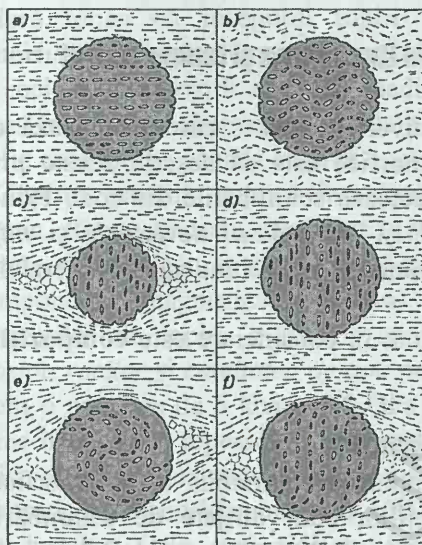


Figura nr. 15. Tipuri de microstructuri coronitice (după Passchier & Trouw, 1996)

E. Microstructuri asociate blastezei, în raport cu un eveniment deformațional • Cristale pre-cinematice (*Figura nr. 16 c, 16 d sau 16 a*)

- Cristale sin-cinematice (*Figura nr. 16 e, 16 f*)
- Cristale post-cinematice (*Figura nr. 16 a, 16 b*)



Porfiroblast
post-cinematic*

Cristalul din imaginea (a)
poate fi și precinematic

Porfiroblast
pre-cinematic

Porfiroblast
sin-cinematic

Figura nr. 16. Microstructuri asociate blastezei, în raport cu un eveniment deformațional
(din Passchier & Trouw, 1996)

9. FACTORII FIZICO-CHIMICI AI METAMORFISMULUI

Limitele metamorfismului (presiunea și temperatura)

Metamorfismul rezultă din diverse procese care acționează asupra rocilor și scopul petrologiei metamorfice este să descrie aceste procese. Există mai multe variabile care afectează schimbările din roci. Principalii factori sunt însă schimbările de P și T , *stressul deviatoric* și *migrația fluidelor*, toți aceștia afectând mineralogia, chimismul mineralelor și, uneori, chiar chimismul rocilor.

Un alt parametru ce trebuie luat în considerare este *compoziția chimică a rocilor inițiale*.

Temperatura

Temperatura este cea mai importantă variabilă a metamorfismului, deoarece marea majoritate a reacțiilor sunt dirijate de schimbările de temperatură. Aceasta este, de obicei, exprimată în grade Celsius, deși în calculele termodinamice se folosește Kelvinul ($K = ^\circ C + 273,15$). Schimbările de temperatură necesită adăugare de căldură suplimentară rocilor. Sursele de căldură pot fi în jurul unui corp magmatic sau o sursă regională situată în adâncime, precum căldura mantalei. În plus, dezintegrarea elementelor radioactive a afectat semnificativ structura termică a pământului. Limita inferioară a metamorfismului depinde de materialul parental. Transformări importante ale evaporitelor, ale materialului vitros sau organic, de exemplu, încep să se producă la temperaturi foarte joase, în comparație cu temperaturile necesare metamorfozării rocilor carbonatice sau silicatiche.

În multe roci, transformările de fază încep imediat după sedimentare și continuă pe măsura îngropării materialului. Dacă aceste transformări sunt numite diagenetice sau metamorfice, e o chestiune de convenție. Cu toate acestea, mulți autori sunt de acord că, în rocile silicatiche, *limita inferioară a metamorfismului* este în jurul valorii de 150 ± 50 $^\circ C$. Prima apariție a următoarelor minerale indică, de regulă, începutul metamorfismului: carfolit, pirofilit, glaucofan, lawsonit, paragonit, prehnit, pumpellyit și

stilpnomelan. Menționăm că aceste minerale pot fi prezente și ca granule detritice în sedimentele nemetamorfozate.

Limita superioară de temperatură a metamorfismului este, de asemenea, vagă. Tehnic, domeniul metamorfic se termină atunci când rocile se topesc, dar sunt multe cazuri când rocile au suferit doar o topire parțială. Se consideră totuși că începutul topirii rocilor este inclus în domeniul metamorfismului câtă vreme rocile rămân predominant în stare solidă. Mai mult, roci cu compoziții chimice medii diferite se topesc la temperaturi diferite. În această chestiune, se poate avea în vedere și metamorfismul mantelic care merge până la baza mantalei superioare.

Topirea parțială implică întotdeauna un aspect metamorfic și unul magmatic. Rocile crustale care sunt produse prin topire parțială se numesc *migmatite* și sunt alcătuite dintr-o parte metamorfică reziduală (melanosom) și o componentă magmatică (neosom). Determinările experimentale ale temperaturilor de topire a rocilor arată că acestea depind de *presiune*, *compoziția rocilor* și *cantitatea de apă* prezentă. Să presupunem, de exemplu, că avem o presiune de 5 kbari (0,5 GPa). În prezența unui fluid apos, rocile granitice încep să se topească la temperaturi de cca. 660 °C, în timp ce rocile bazaltice au nevoie de temperaturi mai mari, de cca. 800 °C. În lipsa apei, aceste temperaturi cresc considerabil: cca. 1000 °C pentru granite și cca. 1120 °C pentru bazalte. Cele mai ridicate temperaturi determinate prin metode geotermometrice pentru roci metamorfice de origine crustală sunt de 1000-1100 °C. Cu toate acestea, metamorfismul nu are loc doar în crustă. Un anumit volum de roci din celulele de convecție ale mantalei suferă în mod continuu procese metamorfice precum recristalizări și transformări de fază în stare solidă la temperaturi ce depășesc 1500 °C. Studiile petrologice din regiunile orogenice afectate de metamorfism regional au arătat că, de obicei, valorile temperaturii nu au depășit 650–700 °C (Bucher și Frey, 2002) – *Figura nr. 17*.

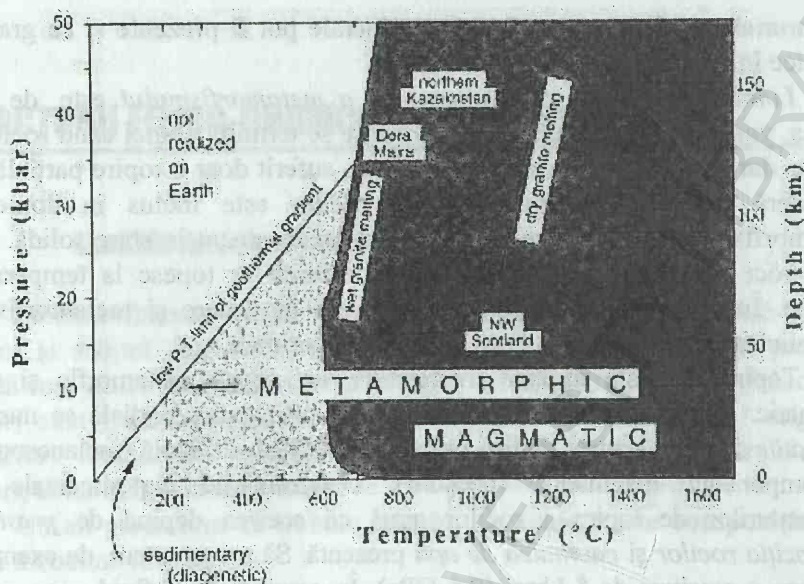


Figura nr. 17. Limitele de presiune și temperatură pentru procesele metamorfice (din Bucher și Frey, 1994)

Presiunea litostatică

Presiunea litostatică este al doilea factor ca importanță în metamorfism, deoarece multe reacții chimice depind de presiune. Este exercitată de masa acoperitoare a rocilor și magnitudinea sa depinde de adâncime și de densitatea coloanei de roci. Cunoașterea adâncimii (presiunii litostatice) este de o importanță deosebită în executarea reconstrucțiilor tectonice.

În crustă, relația dintre presiune și adâncime este dată de ecuația:

$$P = \rho gh.$$

Limita inferioară de presiune a metamorfismului

Dacă magma se ridică aproape de suprafața crustei, în aureolele de contact, metamorfismul se poate produce la presiuni de câțiva bari.

Limita superioară de presiune a metamorfismului

Pentru mult timp s-a crezut că presiunile maxime din rocile crustale nu depășesc 10 kbari (1 GPa), ceea ce corespunde presiunii litostatice la baza crustei continentale cu o grosime de 30-40 km. Pe măsură ce calibrările experimentale s-au îmbunătățit, s-a găsit că ansamblurile mineralogice din eclogite au atins adesea presiuni de 15-20 kbari (1,5-2 GPa). Descoperirile de roci piropice cu *coesit* din Masivul Dora – Maira (Chopin, 1984) arată că presiunile pot depăși în timpul metamorfismului valoarea de 30 kbari (3

GPa). Mai mult, descoperirea diamantelor metamorfice din gnaisele și marmurele dolomitice ale Masivului Kokchetav din Kazahstan (Sobolev și Shatsky, 1990), dar și în alte regiuni ale lumii (Germania, Norvegia, China, Grecia), arată că formarea rocilor cu diamante necesită presiuni de minimum 60 Kbari (6 GPa). Transformarea rocilor la asemenea presiuni ridicate se numește metamorfism de presiune ultra-înaltă (UHPM) și s-a dovedit experimental că aceste super-presiuni sunt legate de subducția rocilor crustale la adâncimi de peste 120 km.

Metamorfismul nu poate fi însă restrâns doar la crusta terestră. Ca un exemplu, multe peridotite cu granat din complexele ofiolitice sau din xenolitele kimberlitice au atins presiuni mai mari de 30-40 kbari (3 – 4 GPa).

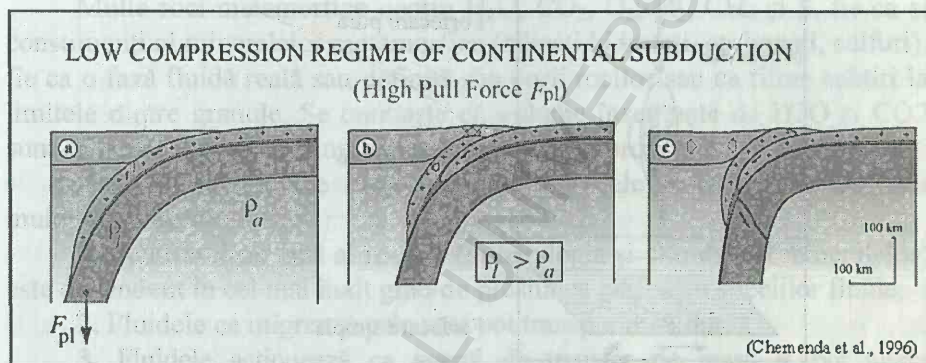


Figura nr. 18. Regimul de compresie scăzută al subducției continentale (după Chemenda et al., 1996)

Chemenda et al. (1996) au efectuat o modelare fizică a unei litosfere cu trei straturi, incluzând o crustă continentală plastică, o crustă inferioară foarte subțire și o manta plastică. Autorii au stabilit două regimuri posibile ale subducției continentale, caracterizate de cuplări strânse sau lasce între placa acoperitoare și cea subdusă. Subducția crustei continentale atinge adâncimi maxime în cazul unui regim de cuplaj lasc. În acest caz, crusta continentală cedează (se rupe) la baza plăcii acoperitoare. Datorită diferenței de densitate dintre rocile crustale și mantaua înconjurătoare, crusta subdusă se intrude de-a lungul zonei de subducție (Figura nr. 18).

Stressul deviatoric

În general, presiunea litostatică este considerată ca fiind hidrostatică (echivalentă în toate direcțiile). În centurile orogene active, există însă și un component ne-hidrostatic sau stressul deviatoric. De obicei, valorile stressului deviatoric sunt mici, de la 5-10 bari ($0.5 \times 10^{-3} - 10^{-3}$ GPa) până la

100 bari (0,01 GPa). Rocile nu pot susține stressuri mai mari în condițiile unor rate de strain geologic scăzute. Datorită acestor magnitudini mici, stressul deviatoric nu afectează semnificativ echilibrul de fază al mineralelor, deși au un oarecare efect în cinetica reacțiilor. Acesta este însă parametrul care duce la formarea cutelor și a foliațiilor în roci, la alinierea mineralelor sau la rotirea porfiroblastelor. Cu alte cuvinte, stressul deviatoric produce fabricul orientat al unei roci.

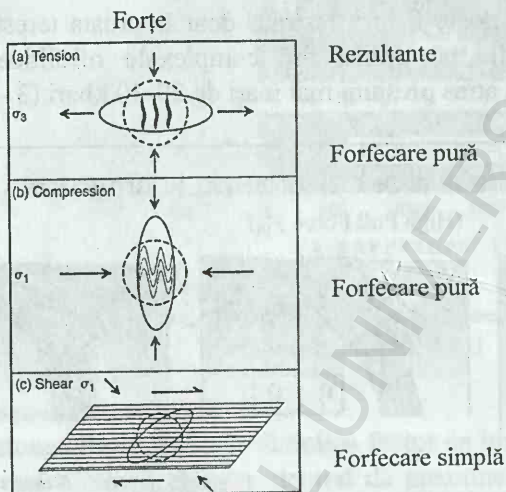


Figura nr. 19. Principalele forțe și deformările rezultante ale acestora:
Tensiunea și Compresia ortogonală și neortogonală (din Passchier & Trouw, 1996)

Principalele forțe ce pot acționa asupra corpurilor geologice sunt: *tensiunea* (ce cauzează tensiuni de fractură pe care pot precipita anumite minerale) și *compresia* (ce produce aplatizări sau cutări), iar rezultantele acestora sunt procesele de forfecare simplă, pură și de curgere generală necoaxială; deformarea se produce prin forfecare:

10. FAZE FLUIDE ÎN METAMORFISM

NATURA ȘI COMPOZIȚIA FLUIDELOR METAMORFICE

Prezența unei faze fluide apoase în roci supuse metamorfismului este critică pentru ratele reacțiilor chimice și transportului chimic.

Multe roci metamorfice conțin H_2O , CO_2 , O_2 , H_2 , CH_4 și S, fie ca și constituenți ai mineralelor metamorfice (silicați hidratați, carbonați, sulfuri), fie ca o fază fluidă reală sau definită din porii rocilor sau ca filme subțiri la limitele dintre granule. Se cunoaște că volume însemnate de H_2O și CO_2 sunt eliberate din roci în timpul metamorfismului progresiv.

Fluidele sunt foarte importante în procesele metamorfice din mai multe motive:

1. Echilibrul de fază al rocilor (mineralogia și chimismul mineralelor) este dependent în cel mai înalt grad de presiunea parțială a speciilor fluide,
2. Fluidele ce migrează prin roci pot transporta căldură,
3. Fluidele acționează ca agenți de transfer de masă și pot altera compoziția chimică medie a rocilor precum și compoziția izotopică a acestora,
4. Transportul fluidelor e răspunzător de depunerea zăcămintelor de SMU

Fluidele prinse în incluziunile fluide din minerale pot da informații despre presiunea și temperatura din timpul metamorfismului.

11. ECHILIBRUL ÎN SISTEMLILE METAMORFICE

Constituenții chimici care alcătuiesc o rocă sunt distribuiți în faze omogene, minerale și fluide, care formează ansamblul cu cea mai scăzută energie liberă pentru sistem la anumite valori ale temperaturii și presiunii, numit *ansamblul echilibrului de fază* (Bucher și Frey, 2002).

- *Asociație minerală* = toate mineralele prezente în rocă,
- *Parageneză minerală* = toate mineralele care s-au format în condiții de echilibru.

O rocă poate fi constituită din una sau mai multe parageneze. Simplificând lucrurile, se poate spune că o singură paragenză definește o rocă echilibrată, iar mai multe parageneze, o rocă neechilibrată. Situația reală e însă mai complicată. Să luăm ca exemplu cazul când două parageneze coexistă într-un volum de rocă. Chiar dacă ar fi la dezechilibru între ele, dacă sunt separate de o porțiune de rocă cu care fiecare dintre ele este la echilibru, în acest caz, este vorba de mărimea sistemului și de condiția de închis sau deschis a acestuia.

La echilibru, compoziția mineralogică și chimismul fiecărui mineral sunt determinate de condițiile P, T, x (fugacitate).

- Mineralele relict sau produsele de transformare secundară reprezintă faze ale altor parageneze ce semnifică alte condiții PTx

- Determinarea numărului de parageneze și succesiunea acestora = studiu paragenetic

- Studiul paragenetic = esențial pentru înțelegerea evoluției metamorfice a unui sistem petrografic $= c + n - w$ (regula fazelor sau regula lui Goldschmidt)

f = nr. de faze la echilibru

c = nr. de componenți ai fazelor

n = nr. de variabile (P, T, x_i) ce pot varia independent, fără să afecteze

numărul și compoziția fazelor aflate la echilibru)

$w = 0$ – echilibru invariant (un punct în diagrama PT)

$w = 1$ – echilibru monovariant (o linie în diagrama PT)

$w = 2$ – echilibru bivariant (o zonă bidimensională în diagrama PT)

$w > 2$ – echilibru multivariant (o porțiune multidimensională a spațiului P, T, x_i (x_{i1} x_{i2} x_{i3} ...)).

Într-un sistem petrografic metamorfic, situația cea mai frecventă este $w \geq 2 \rightarrow w = c + 2 - f \geq 2$.

Cea mai comună reprezentare a echilibrelor de fază este diagrama PT (unde se pot observa direct echilibrele invariante, monovariante și bivariante).

Echilibrele multivariante nu pot fi reprezentate într-o diagramă bidiimensională.

Pentru simplificarea reprezentării, se consideră $n = 2$ (P și T).

Pentru diferite valori ale lui x_i se poate face câte o reprezentare PT.

Compoziții c îi putem alege în mod convenabil, în funcție de complexitatea sistemului chimic, astfel încât c să fie cât mai mic.

Ex.: Al_2SiO_5

poate fi considerat ca o fază (cianit) alcătuită din compoziții Al_2O_3 și SiO_2

poate fi considerat ca un component.

Să presupunem următoarele situații:

a) $f = c$, deci $w = 2$ (situația cea mai frecventă în rocile metamorfice).

Roca reprezintă un echilibru bivariant și a fost colectată dintr-o zonă de metamorfism (una dintre fazele f reprezintă mineralul index al zonei de metamorfism respective).

b) $f > c$, deci $w < 2$

Cauza: proba reprezintă un echilibru **monovariant** (locația de probare reprezintă un izograd) sau un echilibru **invariant** (locația de probare reprezintă o condiție de invarianță).

Aceste situații sunt rare sau chiar excepționale.

c) $f < c$

Cauze:

1. Fie există **compoziții miscibili** ex. $c = 2$ (Ab și An) și $f = 1$ (Plg)

2. Fie există **compoziții volatili perfect mobili**: H_2O , CO_2

Ex.: $A + H_2O = B$ (mineral hidratat), dar H_2O nu o regăsim ca fază

3. Fie există **compoziții perfect mobili**

(compoziții ușor levigabili în soluție fluidă)

Ex.: A (min cu Na și Ca) + H_2O exces = B (mineral hidratat de Ca) + NaOH în soluție

4. Fie **echilibrul nu a fost atins** (nu toate fazele considerate fac parte din aceeași parageneză)

5. Fie **nu am ales bine compoziții c** .

12. REACȚIILE CHIMICE DIN ROCILE METAMORFICE

Procesele metamorfice pot fi văzute și ca o combinație de (1) reacții chimice între minerale sau între minerale și fluide (în principal, apă) și (2) transportul și schimbul substanțelor și căldurii între domeniile unde aceste reacții se produc.

Observație: la presiune mare, un gaz poate avea densitatea unui fluid
Reacțiile chimice din roci pot fi clasificate în funcții de diferite criterii, astfel:

A) – REACȚII ÎN FAZĂ SOLIDĂ (REAȚII SOLID-SOLID)

Sunt reacții ce implică doar componenți de fază ai fazelor solide și presupun difuzie în stare solidă cu schimbarea chimismului.

1. Reacții cu transfer de materie (reacții de transfer net)

Reacții care transferă componenții mineralelor reactante către mine-ralele ce se formează.

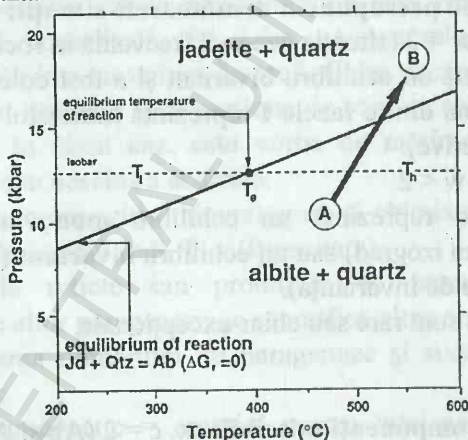


Figura nr. 20. Diagrama P-T privind condițiile de echilibru ale reacției Jadeit + Cuarț = Albit (din Bucher și Frey, 2002)

Reacții ce implică doar fază anhidră

Ex.: Jadeit (Jd) + Cuarț (Qtz) = Albit (Ab) – Figura nr. 20

Grossular (Grs) + Cuarț (Qtz) = Anortit (An) + 2 Wolastonit (Wo)

3 Ferocordierit (Fe-Crd) = 2 Almandin (Alm) + 4 Sillimanit (Sil)

+ 5 Cuarț (Qtz)

Reacții solid-solid ce conservă volatilele

Ex.: Antofilit (Ant) = Talc (Tlc) + 4 Enstatit (En)

Wairakit (Wa) = Lawsonit (Lws) + 2 Cuarț (Qtz)

2 Muscovit (Ms) + Cordierit (Crd) = 2 Flogopit (Flo) + 8 Sillimanit (Sil) + 7 Cuarț (Qtz)

2. Reacții de schimb

Reacții ce schimbă componenții dintr-un ansamblu mineralogic.

Reacții în care sunt implicați doar componenți ai unor faze anhidre

Ex.: Forsterit (Fo) + Ferosilit (Fs) = Fayalit (Fa) + Enstatit (En)

(schimb de Fe-Mg între olivină și piroxen rombic)

Diopsid (Di) + Almandin (Alm) = Hedenbergit (Hed) + Piropr (Prp)

(schimb de Fe-Mg între piroxen monoclinic și granat)

Reacții solid-solid, ce conservă volatilele

Ex.: Piropr (Prp) + Annit (Ann) = Almandin (Alm) + Flogopit (Flo)

(schimb de Fe-Mg între granat și annit)

3. Reacții de exsoluție/ Reacții solvus

Ex.: Feldspat alcalin de temp. ridicată = Feldspat potasic + Feldspat sodic

Calcit bogat în magneziu = calcit + dolomit

Piroxen monoclinic de temp. ridicată = Diopsid (Di) + Enstatit (En)

Piroxen rombic aluminos = Enstatit (En) + Granat (Grt)

Unii autori includ în categoria reacțiilor solid-solid și reacțiile polimorfe sau tranzițiile de fază, însă acestea nu presupun schimbarea chimismului, ci reprezintă, de fapt, procese fizice de rearanjare a particulelor.

Cele mai reprezentative reacții polimorfe sunt:

Al_2SiO_5

Cianit (Ky) = Andaluzit (And);

Cianit (Ky) = Sillimanit (Sil);

Sillimanit (Sil) = Andaluzit (And) – Figura nr. 21

CaCO_3

calcit = aragonit – Figura nr. 22

C

grafit = diamant – Figura nr. 23

SiO_2

$\alpha\text{-Qtz} = \beta\text{-Qtz}$; $\alpha\text{-Qtz} = \text{coesit}$ – Figura nr. 23

KAlSi_3O_8

microclin = sanidină

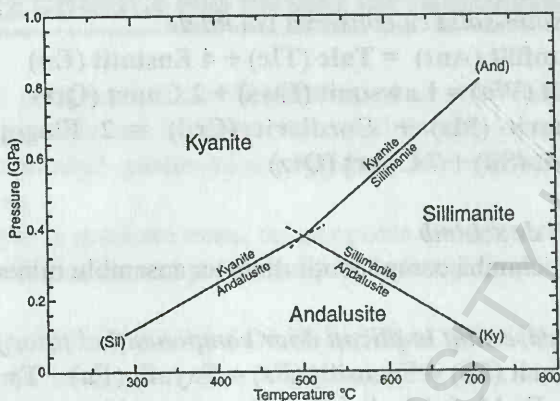


Figura nr. 21. Diagrama de fază a silicaților de aluminiu (din Bucher și Frey, 2002)

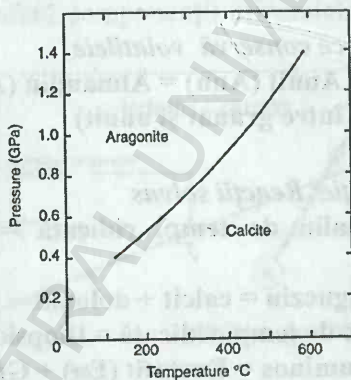


Figura nr. 22. Transformarea de fază calcit – aragonit (din Johannes și Puhan, 1971)

Deoarece reacția calcit – aragonit are o cinetică extrem de ridicată, aragonitul format în adâncime se transformă foarte rapid în calcit în timpul exhumării (ridicării spre suprafață) rocilor, așa încât aragonitul a fost foarte rar pus în evidență în rocile care au atins presiuni ridicate în timpul metamorfismului. *Dobrzhinetskaya et al.* (2004) au găsit incluziuni de aragonit în diamantele din Masivul Kokchetav din Kazahstan, cu ajutorul studiilor de microscopie electronică prin transmisie (TEM).

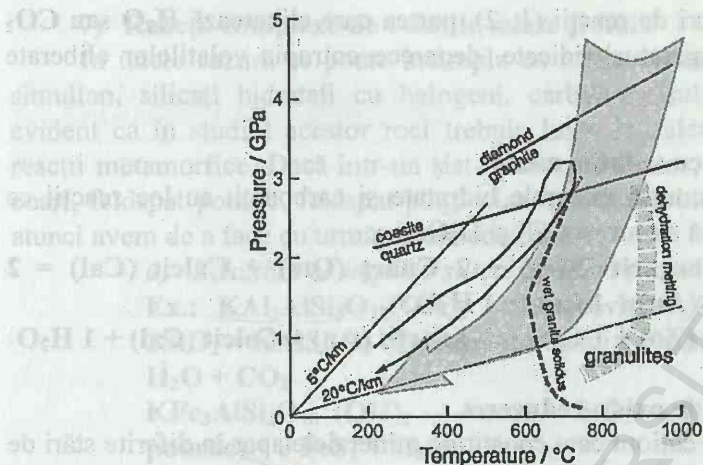
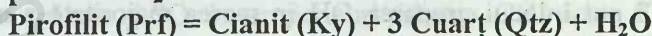
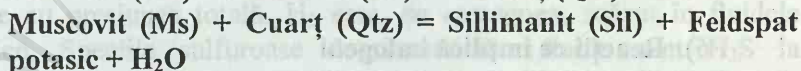
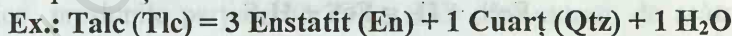


Figura nr. 23. Câmpurile de stabilitate ale polimorfilor C și SiO_2 (după Chopin, 2003)

C) - REACȚII CU VOLATILE (H_2O , CO_2) ÎNTRE FAZELE REACTANTE

1) Reacții de hidratare/dehidratare

Reacțiile care implică apă sunt cele mai importante reacții metamorfice. Metasedimentele de grad scăzut conțin procente ridicate de minerale hidratate. Rocile metapelitice și metamafice din faciesul subșisturilor verzi conțin, îndeosebi, minerale argiloase (și zeoliți). Mineralele serpentinite se formează, la rândul lor, în rocile ultramafice metamorfozate la grad scăzut. Acești filosilicați conțin apă până la 12 % din greutate. Mineralele hidratate sunt îndepărtate succesiv din roci prin reacții de dehidratare continue și discontinue. Eliberarea apei în timpul metamorfismului prograd al protoliților bogați în apă face ca un fluid apos liber să fie prezent în roci, fie permanent, fie periodic, în timpul reacțiilor de dehidratare.



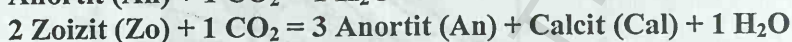
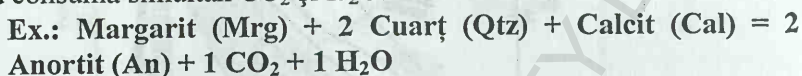
2) Reacții de carbonatare/decarbonatare



În aceste tipuri de reacții (1, 2), partea care eliberează H_2O sau CO_2 este stabilă la temperaturi ridicate, deoarece entropia volatilelor eliberate este foarte mare.

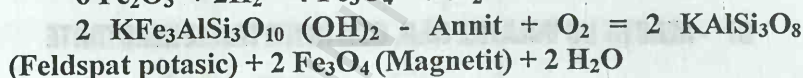
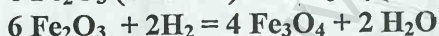
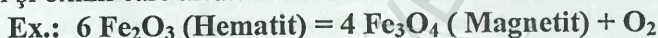
3) Reacții cu volatile mixte

În rocile ce conțin minerale hidratate și carbonați, au loc reacții ce produc sau consumă simultan CO_2 și H_2O .



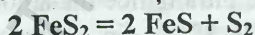
4) Reacții de oxido-reducere

Un număr de cationi care constituie mineralele apar în diferite stări de oxidare: Fe^{2+}/Fe^{3+} , Cu^+/Cu^{2+} , Mn^{2+}/Mn^{3+} etc. Cel mai important cuplu redox din silicații și oxizii care alcătuiesc rocile metamorfice este Fe^{2+}/Fe^{3+} .

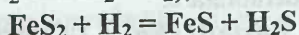


5) Reacții de sulfurare/desulfurare

Sulfurile sunt minerale accesorii des întâlnite în rocile metamorfice. Dintre acestea, cele mai comune sunt pirotina (FeS) și pirita (FeS_2). Dacă ambele sulfuri apar împreună într-o rocă, coexistența stabilă a piritei și pirotinei presupune echilibrul reacției:

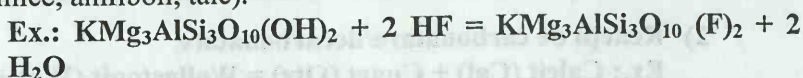


Speciile sulfuroase dominante din fluidele metamorfice sunt H_2S sau SO_2 . Dacă se dorește discutarea reacțiilor de sulfurare în funcție de specia cea mai abundentă, ecuația de mai sus se poate rescrie în prezența apei ($2 \text{ H}_2\text{O} = 2 \text{ H}_2 + \text{O}_2$ și $2 \text{ H}_2\text{S} = 2 \text{ H}_2 + \text{S}_2$), astfel:



6) Reacții ce implică halogeni

F și Cl pot înlocui gruparea OH în marea majoritate a mineralelor hidratate (mice, amfiboli, talc).

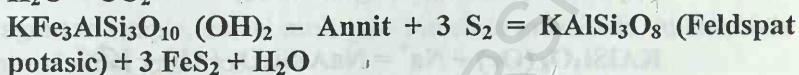
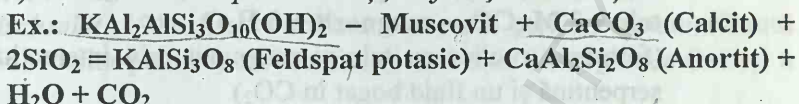


(schimb de F-OH între flogopit și fluid)

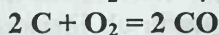
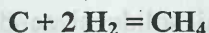
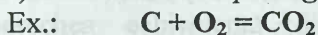
7) Reacții complexe de volatile mixte și fluid

În unele cazuri, se poate întâmpla ca rocile metamorfice să conțină, simultan, silicați hidratați cu halogeni, carbonați, sulfuri și oxizi. Este evident că în studiul acestor roci trebuie luate în calcul toate tipurile de reacții metamorfice. Dacă într-un șist micaceu calcaros, se întâlnesc calcit, cuarț, feldspat potasic, feldspat plagioclaz, muscovit, biotit, grafit și pirită, atunci avem de a face cu următoarele echilibre:

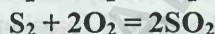
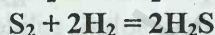
a) Echilibre ce implică silicați, sulfuri și carbonați



b) Echilibre ce implică grafit

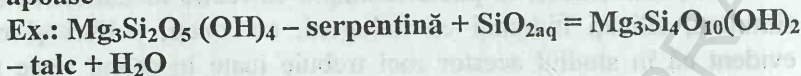


c) Echilibre ce implică doar specii fluide

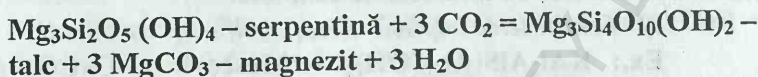


În final, se poate scrie: $P_{\text{total}} = P_{\text{fluid}} = P_{\text{H}_2\text{O}} + P_{\text{CO}_2} + P_{\text{O}_2} + P_{\text{H}_2} + P_{\text{CH}_4} + P_{\text{CO}} + P_{\text{S}_2} + P_{\text{H}_2\text{S}} + P_{\text{SO}_2}$, ceea ce înseamnă că suma presiunilor parțiale ale speciilor fluide este egală cu presiunea litostatică totală din rocă. Ansamblul mineralogic descris definește și controlează compoziția fazei fluide coexistente la orice valori ale presiunii și temperaturii. Se mai poate spune că roca tamponează compoziția fluidului. În marea majoritate a fluidelor metamorfice, presiunile parțiale ale O_2 și CO sunt extrem de scăzute în comparație cu presiunea totală. H_2 este, de asemenea, scăzut în fluidele metamorfice. Speciile sulfuroase dominante din fluide sunt H_2S la temperaturi scăzute și SO_2 la temperaturi ridicate. CH_4 poate fi abundent în unele fluide la temperaturi scăzute, iar CO_2 predomină la temperaturi ridicate (Bucher și Frey, 2002).

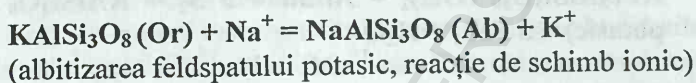
8) Reacții ce implică minerale și componenți dizolvați în soluții apoase



(formarea șisturilor cu talc prin interacțiunea dintre serpentină și un fluid saturat în silice)

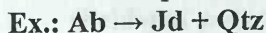


(formarea rocilor cu talc și magnezit prin interacțiunea dintre serpentină și un fluid bogat în CO_2)



REAȚII DISCONTINUE

Reacții care nu implică soluții solide și se produc instantaneu la anumite valori ale presiunii și temperaturii.

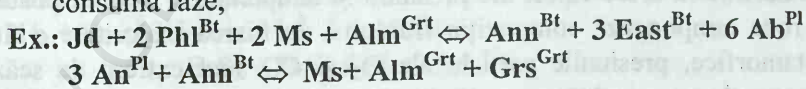


REAȚII CONTINUE

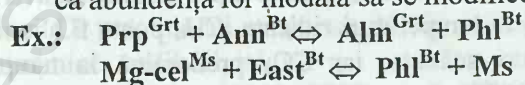
- a) care implică constituenți ai unor soluții solide,
- b) ce se produc într-un interval cert de P (presiune) și T (temperatură),
- c) în care repartitia elementelor chimice între faze se schimbă progresiv în timpul reacției.

Reacțiile continue sunt de două tipuri:

- 1) cu transfer de materie (reacții de transfer net): produc și consumă faze,



- 2) de schimb: a căror elemente sunt schimbate între două faze, fără ca abundența lor modală să se modifice sensibil.



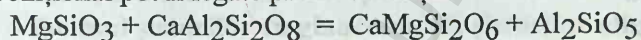
Jd = jadeit; Ms = muscovit; Alm = almandin; Ann = annit; East = eastonit; Ab = albit; An = anortit; Grs = grossular; Prp = pirop; Phl = flogopit; Mg-cel = celadonit magnezian;

13. FACIESURI METAMORFICE

13.1. Conceptul de *facies metamorfic*

Goldschmidt (1911, 1912) a făcut observații privind metamorfismul de contact al rocilor pelitice, carbonatice și arenitice din regiunea Oslo și a observat:

- parageneze simple, cu cel mult șase minerale principale, în aureolele din jurul intruziunilor granitice,
- anumite perechi de minerale erau permanent întâlnite în roci de compoziție asemănătoare (ex. anortit + enstatit),
- perechea echivalentă din punct de vedere chimic (ex. diopsid + andaluzit), lipsea
- dar... două asociații de minerale echivalente din punct de vedere compozițional pot fi legate printr-o reacție:



En

An

Di

And

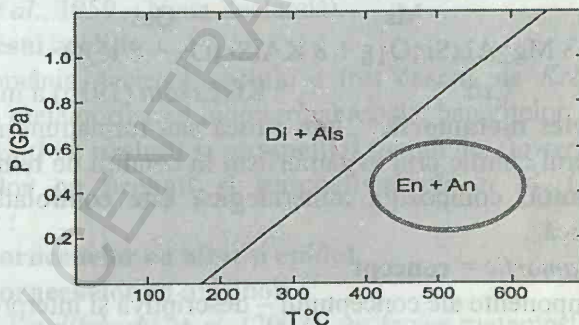


Figura nr. 24. Câmpurile de stabilitate P-T a perechilor diopsid + andaluzit și enstatit + anortit (după Winter, 2001)

Eskola (1914, 1915), studiind regiunea Orijärvi (sudul Finlandei) a afirmat că:

- rocile cu feldspat potasic + cordierit din regiunea Oslo sunt echivalente din punct de vedere chimic cu rocile ce conțin flogopit + muscovit din regiunea Orijärvi,

- diferența compozițională trebuie să reflecte condiții fizice diferite pentru cele două regiuni,
- rocile din Finlanda (mai hidratate și cu volume molare mai mici) au fost echilibrate la T mai mici și P mai mari decât cele din Norvegia.

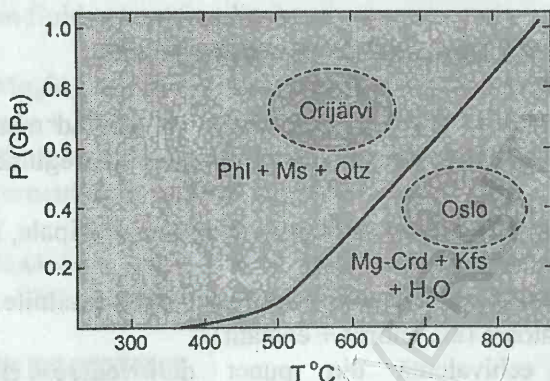
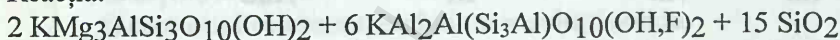


Figura nr. 25. Câmpurile de stabilitate P-T a perechilor feldspat potasic + cordierit și flogopit + muscovit (după Winter, 2001)

Oslo: Kfs + Crd

Orijärvi: Phl + Mu

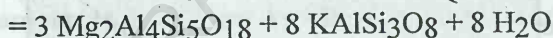
Reacția:



Phl

Ms

Qtz



Crd

KfsEskola (1915) a introdus

conceptul de **facies metamorfic**: „Într-o rocă sau formațiune metamorfică ce a atins echilibrul chimic prin metamorfism în condiții de **temperatură și presiune constantă**, compoziția mineralogică este controlată numai de compoziția chimică”.

Facies metamorfic = **concept**

- Două componente ale conceptului – descriptivă și interpretativă

1. *Componenta descriptivă*: relația dintre *compoziția chimică* și *mineralogia rocii*- Componenta descriptivă a stat la baza conceptului elaborat de Eskola,

- Un facies metamorfic este, din punct de vedere descriptiv, un set de asociații minerale metamorfice ce caracterizează o anumită regiune.

2. *Componenta interpretativă*: condițiile PT reflectate de fiecare facies în parte

– Eskola a intuit că un facies reprezintă un domeniu PT în care se formează asociații minerale tipice,

– A dedus corect T și P relative pentru diferitele faciesuri pe care le-a propus.

Eskola (1920) a propus inițial 5 faciesuri:

– faciesul șisturilor verzi (greenschists)

– faciesul amfibolitic

– faciesul corneenelor (hornfels)

– faciesul sanidinitic

– faciesul eclogitic

Aceste faciesuri au fost definite pe baza asociațiilor minerale dezvoltate în rocile mafice metamorfozate sau, în cazul faciesului sanidinitic, în rocile pelitice sau calcaroase metamorfozate termic la contactul cu curgeri de magmă bazice.

În 1939, *Eskola* a adăugat încă trei faciesuri :

- faciesul granulitic

- faciesul amfibolitelor cu epidot

- faciesul șisturilor cu glaucofan (F. șisturilor albastre)

Eskola a schimbat totodată denumirea *Faciesului corneenelor* în **Faciesul corneenelor cu piroxeni**. Ulterior, au fost propuse și alte faciesuri (*Coombs et al.*, 1959 – Noua Zeelandă).

• faciesul zeolitic

În România, faciesul zeolitic a fost descris de *Krăutner* (1966) la Rușchița, în metamorfismul hidrotermal asociat banatitelor.

• faciesul cu prehnit și pumpellyit (numit de *Turner*, 1968 – faciesul graywackelor cu prehnit și pumpellyit) *Fyfe et al.* (1958) a propus suplimentar :

– F. corneenelor cu albit și epidot

– F. corneenelor cu amfiboli

După *Smulikowski et al.* (2003), un facies metamorfic este un set de ansamble mineralogice metamorfice asociate, repetat în timp și spațiu, care prezintă o legătură regulată între compoziția mineralogică și compoziția chimică medie, astfel încât diferitele faciesuri metamorfice apar în funcție de condițiile metamorfice existente (T, P, P_{H_2O}).

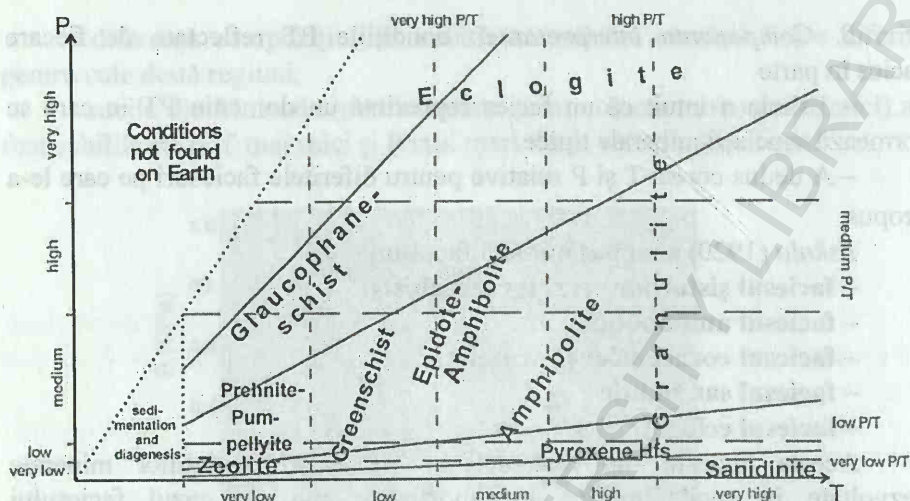


Figura nr. 26. Reprezentarea schematică a faciesurilor metamorfice, sectoarelor radiare de P/T, câmpurilor izobarice și a câmpurilor izoterme (după Smulikowski et al., 2003)

13.2. Asociații de minerale și minerale diagnostice ale rocilor de compoziție bazaltică pentru faciesurile metamorfice

F. Zeolitic – Laumontit și Heulandit

F. Prehnit-Pumpellyit (Subșisturilor verzi) – Prehnit-Pumpellyit; Pumpellyit-Actinot; Prehnit-Actinot

F. Șisturilor verzi – Actinot-Albit-Epidot-Clorit

F. Amfibolitelor cu epidot – Hornblendă-Albit-Epidot (-Clorit)

F. Amfibolitic – Hornblendă-Plagioclaz (Plagioclaz mai calcic decât An_{17})

F. Corneenelor cu piroxeni – Clinopiroxen-Ortopiroxen-Plagioclaz

F. Sanidinitic – Sanidină, Pigeonit, Labrador bogat în potasiu

F. Șisturilor cu glaucofan – Glaucofan-Epidot (-Granat); Glaucofan-Lawsonit; Glaucofan – Lawsonit-Jadeit

F. Eclogitic – Omfacit-Granat (fără Plagioclaz, Olivina e stabilă alături de Granat)

F. Granulitic – Clinopiroxen-Ortopiroxen-Plagioclaz (Olivina instabilă)

În cele ce urmează, sunt prezentate succesiunile și faciesurile metamorfice întâlnite în Alpi de către Oberhänsli și Goffé (2004), precum și mineralele diagnostice pentru rocile de tip mafic sau pelitic:

Faciesul zeolitic (trecerea de la Diagenază la Anchizonă): illit-kaolinit/zeolit

Faciesul prehnit-pumpellyit (Faciesul subșisturilor verzi): illit / laumontit-prehnit-pumpellyit

Faciesul șisturilor verzi:

A. Partea inferioară a faciesului șisturilor verzi: albit-clorit/pirofilit-clorit+cloritoid

B. Partea superioară a faciesului șisturilor verzi: actinot/biotit-clorit-cianit+cloritoid

C. Faciesul șisturilor verzi de presiune ridicată: albit-lawsonit-clorit+crossit/lawsonit-clorit+cloritoid+cianit

Faciesul amfibolitelor cu epidot (zona de tranziție între F. Șisturilor verzi și F. amfibolitic): albit-epidot-amfibol/biotit-granat-cloritoid

Faciesul amfibolitic: plagioclaz-hornblendă-granat/biotit-granat-cloritoid sau fengit-cloritoid-cianit

Faciesul șisturilor cu glaucofan

A. Partea inferioară a faciesului șisturilor cu glaucofan: glaucofan-lawsonit/carfolit-fengit+pirofilit

B. Partea superioară a faciesului șisturilor cu glaucofan: glaucofan-epidot-granat/cloritoid-fengit+granat

Zona de tranziție între Faciesul șisturilor cu glaucofan și Faciesul eclogitic: glaucofan-zoizit-granat+clinopiroxen/granat-cloritoid magnezian-fengit.

Faciesul eclogitic: granat-omfacit-zoizit-cuarț+amfibol+fengit/granat-cloritoid magnezian-cianit sau granat-lawsonit

Partea superioară a Faciesului eclogitic (metamorfism de presiune ultra-ridică – UHPM): granat-omfacit-cianit+fengit/coesit sau cloritoid magnezian-talc-fengit

13.3. Serii de faciesuri

Acestea reprezintă relații P-T specifice, în care unul dintre factori variază mai rapid decât celălalt.

Miyashiro (1961) a propus 5 serii de faciesuri :

1. Serii de faciesuri de contact (P foarte scăzută)
2. Serii de faciesuri tip Buchan sau Abukuma (metamorfism regional de P scăzută)
3. Serii de faciesuri de tip Barrovian (metamorfism regional de P medie)
4. Serii de faciesuri de tip Sanbagawa (metamorfism regional de P ridicată și T medie)

5. Serii de faciesuri de tip Franciscan (metamorfism regional de P ridicată și T scăzută)

13.4. Centuri metamorfice pereche

Uneori, în regiunea Circumpacifică, a fost observată o juxtaponere a faciesurilor de raport P/T ridicat (înspre ocean) și raport P/T scăzut (înspre continent), asociată cu margini de plăci convergente, numită de Miyashiro, 1961, *centură metamorfică pereche*. Asemenea centuri au fost întâlnite în Japonia, SUA (California și statul Washington), Noua Zeelandă, Indonezia, Chile, Jamaica etc.

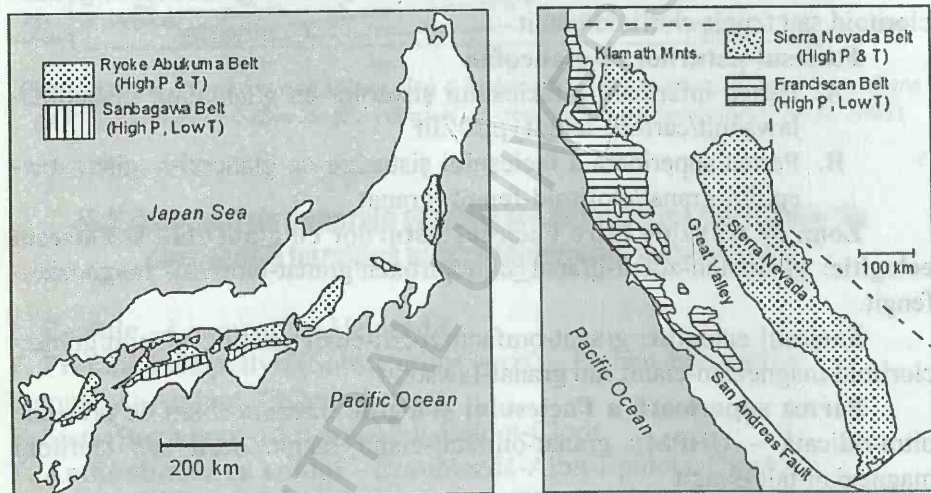


Figura nr. 27. Centurile metamorfice pereche din Japonia și California (după Miyashiro, 1961)

14. METAMORFISMUL DE CONTACT

Metamorfismul de contact apare în jurul intruziunilor magmatice de dimensiuni considerabile, cu temperaturi mai mari decât a rocilor gazdă. Este cauzat de transferul de căldură de la intruziune către rocile gazdă (Bucher și Frey, 2002).

Caracteristici:

Cadrul geologic: în vecinătatea intruziunilor magmatice; aureola de contact se poate extinde de la câțiva metri la câțiva kilometri;

Regimul: \pm Static; lipsa foliației

Temperatură: 150-600 °C (> 600 °C în cazul intruziunilor gabbroice)

Presiune litostatică: de la câțiva bari la 3 kbari

Gradienți de temperatură: 100 °C/km sau chiar mai mult (pe orizontală)

Produsele caracteristice: skarne, corneene, marmure și granofelsuri calcsilicatic

Procese: încălzire datorată intruziunilor magmatice, asociată, de regulă, cu metasomatism cauzat de circulația hidrotermală convectivă.

Observații:

- În general, nu este acompaniat de stress deviatoric
- Extinderea, forma și compoziția mineralogică în aureole depind de:
 - *Natura plutonului*

- Dimensiune

- Formă

- Orientare

- Temperatură

- Compoziție

- *Natura rocilor gazdă*

- Compoziție

- Adâncimea și temperatura rocilor gazdă

- Permeabilitate • Rocile din jurul plutonului sunt de grad

metamorfic mai ridicat, cu fabric izotrop (corneene, granofelsuri)

- Rocile rezultate pot să păstreze structuri și microstructuri relict

- Unele roci afectate de metamorfismul de contact sunt roci poli-metamorfice

Pirometamorfismul este un tip de metamorfism de contact caracterizat de temperaturi foarte ridicate și presiuni scăzute, generat de corpuri vulcanice sau subvulcanice. De regulă, suferă acest tip de metamorfism xenolitele incluse în aceste corpuri.

Caracteristici:

- Pirometamorfismul poate fi însoțit de grade diferite de topire parțială
- Roci produse: buchite

Faciesurile metamorfice observate în aureolele de contact includ :

1. Faciesul șisturilor verzi Faciesul amfibolitic cu andaluzit, cianit sau sillimanit Faciesul corneenelor cu piroxeni Faciesul sanidinitic Faciesul granulitic

Cel mai răspândit facies dintre cele amintite este *Faciesul amfibolitic* (în câmpul de stabilitate al andaluzitului).

Metamorfismul de contact progresiv al rocilor bazice

În zona cea mai îndepărtată a unei aureole de contact, metabazitele conțin ansambluri mineralogice stabile în *faciesul șisturilor verzi*, deși șistozitatea poate să lipsească. Spre intruziunea magmatică, această zonă este urmată de una în care se întâlnesc parageneze stabile în *faciesul amfibolitelor cu epidot* și apoi de o zonă cu roci din *faciesul amfibolitic*.

În unele regiuni, zona dezvoltată în faciesul amfibolitelor cu epidot este reprezentată de așa-numita zonă cu actinot și plagioclaz calcic.

Metamorfitele din zona internă a aureolei de contact sunt, de obicei, amfibolite fără granat.

Zona internă a aureolelor arată instabilitatea amfibolilor, care sunt înlocuiți de un ansamblu mineralogic alcătuit din ortopiroxen + clinopiroxen + plagioclaz + cuarț (fără granat). Faciesul metamorfic caracterizat de această parageneză este numit *faciesul corneenelor cu piroxeni*.

Porțiunea de cea mai înaltă temperatură a aureolelor de contact este, de obicei, stabilă în faciesul amfibolitic în jurul plutonilor granitici și în faciesul corneenelor cu piroxeni în jurul maselor dioritice sau gabbroice sau a intruziunilor alcaline (granite alcaline, sienite cu nefelin).

Metamorfismul de contact progresiv al rocilor pelitice

În regiunile cu roci pelitice, porțiunea externă a aureolelor de contact are, de obicei, o zonă cu **clorit** (fără biotit) sau o zonă cu **biotit + muscovit + clorit**. Cu alte cuvinte, cristalizarea metamorfică începe, de obicei, la temperaturi unde cloritul și biotitul sunt stabile împreună. Cristalizarea metamorfică progresează spre pluton. Cu creșterea temperaturii încep să se formeze **cordieritul** și apoi **andaluzitul** (dacă protolitul este reprezentat de roci cu conținut ridicat de aluminiu).

În metapelitele aureolelor de contact din faciesul corneenelor cu piroxeni, muscovitul nu mai este stabil și în locul acestuia apare **feldspatul potasic (ortoza)** în timp ce biotitul este încă prezent. Granatul este, în principiu, absent.

În multe aureole de contact, andaluzitul este stabil până la temperaturi înalte. În alte aureole însă, andaluzitul apare la temperaturi mai scăzute și sillimanitul la temperaturi mai ridicate.

Aureolele de contact din jurul unor intruziuni minore superficiale arată caracteristici mineralogice tipice unor temperaturi și mai înalte, la care se poate produce fuziunea parțială în metapelite. Aceste condiții sunt tipice *faciesului sanidinitic*.

În aureolele din jurul complexelor gabbroice-anortozitice din regiunile precambriene ale Canadei, a fost observat metamorfism de contact în *faciesul granulitic*. În porțiunile de grad ridicat, unde se găsesc metapelite, cu un raport crescut de MgO/FeO a fost întâlnit și osumilit – $(\text{K,Na})(\text{Mg,Fe}^{2+})_2(\text{Al,Fe}^{3+})_3(\text{Si,Al})_{12}\text{O}_{30}$

Faciesul Corneenelor cu Piroxeni

Acest facies este caracterizat de ocurența ortopiroxenilor și clinopiroxenilor din metabazite, în asociație cu plagioclaz și cuarț (fără granat).

Condițiile P-T ale acestui facies sunt tipice părții de temperatură ridicată ale faciesului amfibolitic. În zonele de tranziție de la faciesul amfibolitic la faciesul corneenelor cu piroxeni, hornblenda însoțește piroxenii în metabazite.

În metapelite, în condițiile acestui facies, muscovitul este deja descompus, dar biotitul este stabil și des întâlnit. Descompunerea muscovitului duce la ocurența comună a ortozei. Mineralul Al_2SiO_5 stabil este, de regulă, andaluzitul, însă, în unele cazuri, poate să apară și sillimanitul.

În rocile calcaroase, sunt stabile wollastonitul, anortitul și diopsidul.

Acest facies este dezvoltat în zonele interne ale unor aureole de contact.

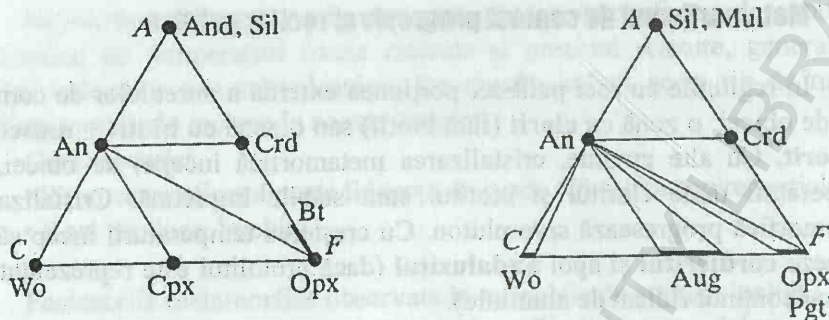


Figura nr. 28. Diagramele ACF pentru a) Faciesul corneenelor cu piroxeni și b) Faciesul sanidinitic (Miyashiro, 1994)

Faciesul Sanidinitic

Faciesul sanidinitic este caracterizat de ocurența mineralelor stabile la temperaturi ridicate și presiuni scăzute, comparabile cu condițiile vulcanice: tridimit, cristobalit, sanidină, anortoză, plagioclaz de temperatură ridicată și sticlă. Cu toate acestea, dintre mineralele din grupa SiO_2 , cuarțul este mineralul cel mai des întâlnit.

Deși cordieritul (ortorombic), sillimanitul, ortopiroxenu și wollastonitul se formează în multe cazuri, unele roci pot să conțină, în schimb, cordierit hexagonal (indialit), mullit, pigeonit și wollastonit. Cordieritul poate să aibă un conținut considerabil de K_2O . Osumilitul poate de asemenea să apară în condițiile acestui facies. Datorită temperaturilor înalte, în rocile de compoziții pelitice sau psamitice, se formează soluții solide între feldspatii de K și Na și poate să apară topirea parțială. Din aceste motive, metamorfismul din faciesul sanidinitic mai este denumit *pirometamorfism*.

Roci produse prin metamorfismul de contact: **skarne, skarnoide, skarne de reacție, corneene, marmure și granofelsuri calcsilicaticе.**

Skarn: rocă metamorfică cu silicați de Ca, Fe, Mg, Mn, oxizi (i.e. periclaz), borați (i.e. kotoit, oschorit, ludwigit – descris prima dată în lume în zăcămintul Dognecea din Banat de către *Tschermak* (1874), pe baza analizei realizate de Ludwig – de unde provine și denumirea; este un membru intermediar al seriei ludwigit – vonsenit, cu un conținut de până la 30 mol. % vonsenit), fosfați (i.e. veszelyit, descoperit de *Schrauf*, 1874 la Ocna de Fier), adesea cu benzi sau zone de compoziție diferită formată prin interacțiunea între un sistem carbonatic și unul silicatic în prezența fluidelor.

Skarnele pot fi subdivizate pe baza:

- chimismului: skarne calcice, skarne magneziene.
- condițiilor P-T de formare: skarne de temperatură ridicată și skarne de temperatură scăzută.

Mineralogia tipică a skarnelor cuprinde: wollastonit, diopsid, grossular, zoizit, anortit, scapolit, margarit, hedenbergit, andradit, ilvait, forsterit, humit, monticellit, spinel, flogopit, clintonit, fassait, rodonit, tefroit, piemontit.

Uneori, în literatura americană, se folosește termenul de *tactit* în loc de *skarn*.

N.B.: Skarnele sunt adesea asociate cu mineralizații metalice de Sn, Mo, W, Fe, Cu, Pb, Zn etc.

Skarnoid: termen descriptiv pentru rocile calc-silicatică fin granulare, cu conținut redus de Fe. Din punct de vedere genetic, skarnoidul este un termen intermediar între o corneeană și un skarn metasomatic.

Skarne de reacție: se pot forma prin metamorfismul izochimic al unor unități carbonatice și argiloase interstratificate, unde poate să apară la scară redusă transferul metasomatic al componentelor dintre litologii adiacente.

Corneeană (hornfels): rocă metamorfică neșistoasă constituită preponderent din silicați ± oxizi, ce prezintă o importantă recrystalizare datorată metamorfismului de contact. Corneenele păstrează caracteristicile protolitului, cum ar fi, de exemplu: stratificația sedimentară sau litajul metamorfic (layering). Corneenele pot fi subdivizate ulterior pe baza *granulației*: corneene cu granulație fină, corneene cu granulație mare; *structurii* și *chimismului*: corneene bogate în Al, corneene bogate în Ca, corneene cu silicați de Al.

Marmura (marble): rocă metamorfică având mai mult de 50% din volumul total minerale carbonatice (calcit și/sau dolomit).

Marmură pură (pure marble): dacă conține carbonați în proporție de peste 95%.

Marmură impură (impure marble) dacă conține carbonați într-o proporție cuprinsă între 50-95%.

Exemplu:

- marmură pură cu dolomit
- marmură pură cu olivină și flogopit
- marmură impură cu olivină și flogopit.

Granofels: rocă metamorfică cu structură granofelsică (structura dată de absența oricărui fel de șistozitate sau linații).

Exemplu:

- granofels cu talc, cianit și jadeit
- granofels cu coesit, jadeit și granat
- granofels cu epidot

15. METAMORFISMUL DE DISLOCAȚIE = DINAMIC = CATACLASTIC

Este un tip de metamorfism cu extindere locală, asociat cu zonele de falie, în care rocile suferă o reducere a dimensiunii granulelor. Produsele tipice ale acestui tip de metamorfism sunt roci nefoliate de tipul brecciilor de falie, argilelor de falie și pseudotachilitelor. În opinia specialiștilor *Bucher și Frey* (2002), milonitele nu mai sunt privite ca și roci cataclastice, deoarece, în formarea lor, este implicată recrystalizarea sintectonică și neoblasteaza.

NOMENCLATURA ROCILOR DE FALIE

Deoarece în rocile cataclastice și milonitice asociate unei deformări intense și localizate (falie sau zone de tăiere), se produc structuri particulare, clasificarea lor a cerut o nomenclatură specifică.

Termenii cei mai frecvent utilizați sunt următorii:

❖ **Cataclazit** (*cataclasite*): rocă ce conține, în general, fragmente angulare înglobate într-o matrice cu granulație fină de material similar. Ea se formează printr-un proces de cataclază, adică printr-o fracturare a rocii, rotație și alunecare a fragmentelor rezultate. În general, nu există o orientare preferențială a granulelor, datorită deformării, dar fracturile pot avea o altfel de orientare. După raportul între fragmente și matrice cataclazitele sunt subdivizate în:

- **Protocataclazite**: cataclazite în care matricea cu granulație fină formează mai puțin de 50% din volumul rocii.

- **Ultracataclazite**: cataclazite în care cea mai mare parte a megacristalelor sau fragmentelor litice a fost eliminată, deci matricea cu granulație fină constituie mai mult de 90% din volumul rocii.

- **Brecia de falie** (*brecie tectonică – fault breccia*): cataclazit în care fragmentele angulare se găsesc în proporție de peste 30% din volumul rocii, putând fi mai abundente decât matricea, și dând rocii un aspect de brecie.

- **Argilă de falie** (*fault gouge*): material de falie necoeziv cu granulație fină sau ultrafină care poate prezenta o foliație și care este, în general, bogat în minerale argiloase. În masa argilei de falie sunt dispersate, de regulă, claste litice de dimensiuni foarte variabile.

❖ **Milonit** (*mylonite*): rocă produsă printr-o reducere mecanică a mărimii granulelor, ca rezultat al unei deformări ductile, necataclastice, inclusiv în zone de falie, și caracterizată de o foliație fină de tip penetrativ, căreia îi este de regulă asociată o liniație minerală sau de compresie. În general, în interiorul matricei cu granulație mai fină sunt prezente fragmente de cristale de dimensiuni mari numite porfiroclaste (*porphyroclasts*) și fragmente litice de compoziție analoagă. După gradul de reducere a granulației, milonitele sunt subdivizate în:

- **Protomilonit**: reducerea granulației s-a produs la mai puțin de 50% din volumul rocii.

- **Mezomilonit**: reducerea granulației este cuprinsă între 50-90% din volumul rocii.

- **Ultramilonit**: reducerea granulației s-a produs la peste 90% din volumul rocii.

Milonite oculare (*augen mylonite*): milonite ce conțin cristale mari evidente sau fragmente litice înconjurate de matrice foliată cu granulație fină.

Filonit (*phylonite*): milonit cu granulație fină bogat în filosilicați care are strălucirea unui filit.

Pseudotachilit (*pseudotachylite*): rocă cu granulație ultrafină, de culoare, în general, neagră și aspect lucios, care se prezintă ca vene subțiri sau ca o matrice de pseudobrecie sau pseudoconglomerat. Sunt injecții care reumple golurile de dilatare ale unei roci ce prezintă diferite grade de fracturare.

Blastomilonit (*blastomylonite*): milonit ce prezintă un semnificativ grad de recristalizare legată de deformare sau succesivă acesteia; în acest caz ar trebui să se poată demonstra recristalizarea matricei, adică a creșterii granulației după deformarea ductilă.

N.B. Nu se recomandă utilizarea acestui termen, folosit cu o semnificație foarte diferită de unii autori.

16. METAMORFISMUL DE ȘOC

Dodd (1981): Metamorfismul de șoc indus de impacte supersonice seamănă cu metamorfismul dinamotermic (regional) terestru, prin aceea că implică atât căldură (temperatură), cât și presiune ridicată, dar diferă de procesul amintit prin două aspecte: a) valoarea presiunii atinsă prin șoc este imensă și b) creșterea și scăderea presiunii sunt extrem de rapide, ceea ce înseamnă că metamorfismul de șoc este un proces de neechilibru (evidențiat și pe Lună, Marte, Mercur sau pe sateliții planetelor joviene).

Stöffler și Grieve (2003): Metamorfismul mineralelor și rocilor cauzat de compresia undelor de șoc datorită impactului unui corp solid sau detonării explozibililor nucleari sau chimici de energie ridicată.

- sunt caracteristice fazele de presiune foarte ridicată (coesit – SiO_2 , stishovit – SiO_2 , cuarț de șoc – SiO_2),
- pot apărea topiri la scări micro și mezoscopice,
- sunt produse roci tipice: impactite (brecii de impact, sticle de impact, tektite, pseudotachylite de impact, suevite).

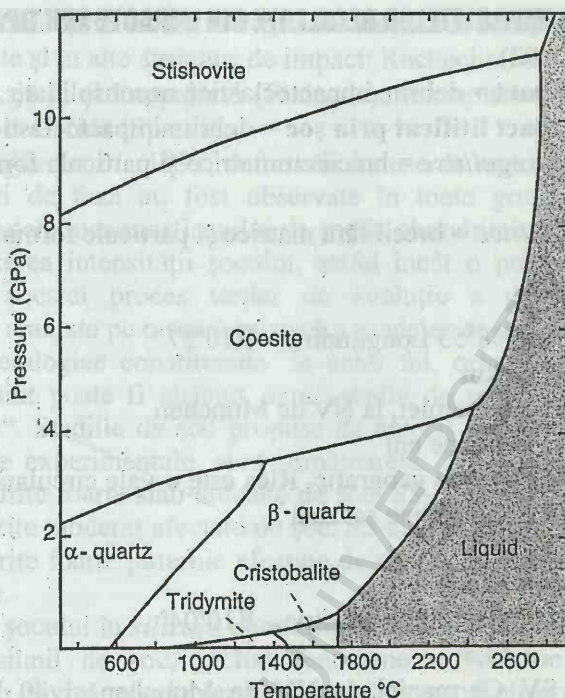


Figura nr. 29. Diagrama de fază P-T pentru SiO₂ (după Swamy et al., 1994)

Până în prezent, au fost recunoscute în jur de 170 cratere de impact la suprafața pământului – 33 în Europa, din care 2 în Germania (RIES ȘI STEINHEIM), unde au fost descrise pentru prima oară pe plan mondial: chaoit, coesit, conuri de șoc și suevite.

I. CLASIFICAREA IMPACTITELOR DIN IMPACTE SINGULARE

(Stöffler et al., 2002)

1. ROCI DE ȘOC

2. ROCI FORMATE DIN TOPITURI DE IMPACT*

2.1. Bogate în claste

2.2. Sărace în claste

2.3. Fără claste

3. BRECI DE IMPACT

3.1. Brezii cataclastice (monomictice)

3.2. Brezii litice (fără particule cristalizate din topitură)*

3.3. Suevite (cu particule cristalizate din topitură)**

* pot fi subclasificate în sticloase, hipocristaline și varietăți holocristaline

** în general, polimictice, dar pot fi și monomictice în cazul unei singure litologii țintă

II. CLASIFICAREA IMPACTITELOR REZULTATE DIN IMPACTE MULTIPLE

(Stöffler et al., 2002)

1. Regolit de impact = debrite impactoclastice neconsolidate
2. Regolit de impact litificat prin șoc = debrite impactoclastice consolidate

2.1 Brecii regolitice = brecii cu matrice și particule formate din topitură

2.2 Brecii litice = brecii fără matrice și particule formate din topitură

Craterul Ries

Latitudine – N48°53' Longitudine – E10°37'

Diametru – 25 km

Situat în SV Germaniei, la NV de Munchen

Vârsta – 15 milioane ani

Din punct de vedere geografic, Ries este o vale circulară încercuită de un inel de dealuri cu altitudine scăzută

Craterul Steinheim

Latitudine – N48°02' Longitudine – E10°04'

Diametru – 3,4 km

Situat în SV Germaniei, la NV de Munchen și 40 Km V-SV de Bazinul Ries

7 km V de Heidenheim

Vârsta – 15 milioane ani

Format în același timp cu craterul Ries

Chaoit – Polimorf al carbonului descoperit în 1970 în zona craterului Ries; mai apare în ureilite (meteoriti diferențiați din grupa achondritelor).

Coesit – Polimorf de presiune ridicată al cuarțului descoperit în 1961 de Shoemaker și Chao în zona craterului Ries.

Suevit – brece polimictică de impact cu matrice clastică și claste de minerale în diverse stadii de metamorfism de șoc (Stöffler et al., 2002).

Deși descrise prima dată în regiunea craterului Ries, suevitele au mai fost recunoscute și în alte structuri de impact: Rochechouart (Franța), Dellen (Suedia), Sääksjärvi și Lappajärvi (Finlanda), Wanapitei (Canada), Azuara și Rubielos de la Cérda (Spania).

După *Stöffler et al.*, 1991, deformări induse de metamorfismul de șoc și transformări de fază au fost observate în toate grupurile majore de **meteoriți**. Efectele metamorfismului de șoc în chondritele obișnuite variază odată cu creșterea intensității șocului, astfel încât o progresie a stagiilor caracteristice acestui proces terțiar de evoluție a meteoriților pot fi recunoscute și aranjate pe o scară relativă a gradelor de deformare și alterare a fazelor mineralogice constitutive. În acest fel, orice fragment dintr-un chondrit obișnuit poate fi atribuit unui „stadiu de șoc” specific sau unui „facies de șoc”. Stadiile de șoc propuse de autorii menționați anterior, pe baza unor date experimentale, sunt următoarele: S1-chondrit neafectat de șoc, S2-chondrite foarte slab afectate de șoc, S3-chondrite slab afectate de șoc, S4-chondrite moderat afectate de șoc, S5-chondrite puternic afectate de șoc, S6-chondrite foarte puternic afectate de șoc, ultimul stadiu fiind cel al topirii prin șoc.

Efectele șocului în *silicații* chondritelor, pentru care există o calibrare exactă a presiunii de șoc, includ fenomene majore de deformare și transformare în olivină, plagioclaz și piroxen, ce pot fi observate cu ajutorul microscopului petrografic:

1) **Deformări mecanice** – a) extincție ondulatorie în olivină, piroxen și plagioclaz; b) fracturi planare în olivină și trăsături planare de deformare în olivină și plagioclaz; c) macle mecanice în piroxen și d) mozaicism în olivină, piroxen și plagioclaz.

2) **Transformări de fază** – a) transformarea plagioclazului în sticlă diaplectică (maskelynit); b) topirea plagioclazului și formarea sticlei (normale); c) recristalizarea în stare solidă a olivinei; d) topirea olivinei și formarea olivinei policristaline fin-granulară; e) transformarea olivinei și piroxenului în ringwoodit, respectiv, majorit și/sau disocierea olivinei în mai multe faze cristaline sau sticloase.

S-a constatat totodată că metamorfismul de șoc acționează și asupra *mineralelor metalice*, efectele cele mai importante fiind formarea martensitului ($\alpha_2\text{Fe-Ni}$) și a kamacitului secundar pe seama taenitului, a plessitului fin-granular, a unor sferule și globule de metal, topirea mineralelor metalice și a troilitului, omogenizarea chimică a granulelor de metal și îmbogățirea în fosfor a metalului.

Până în prezent, pe suprafața Terrei au căzut sau au fost găsiți un număr de peste 22.000 de meteoriți. La nivelul anului 1999, numărul total de meteoriți cunoscuți era de 22.495, din care 8 sunt atribuiți țării noastre. Dintre

aceștia, 7 au fost văzuți la cădere și doar unul a fost găsit. Toți meteoriții căzuți în România sunt chondrite obișnuite din clasa meteoriților pietroși.

Tabelul 3. Meteoriții căzuți pe teritoriul României
după Stanciu și Stoicovici (1943), Savu (1959), Maxim (1968), Graham et al. (1985)

Nr. Crt.	Denumirea	Data căderii	Locul căderii	Denumirea actuală a locului de cădere	Greutatea totală recuperată	Clasa și tipul
1	Mező-Mádăraş (sinonim Mădăraş)	4 septembrie 1852, orele 16:30; ploaie meteoritică	Mădăraş, jud. Mureş	Sat Mădăraş, comuna Band, jud. Mureş	22,7 kg	Chondrit – L3
2	Ohaba	10 octombrie 1857, orele 00:15	Ohaba, jud. Alba	Sat Ohaba, comuna Ohaba, jud. Alba	16,25 kg	Chondrit – H5
3	Kakowa (sinonim Cacova)	19 mai 1858, orele 08:00	Cacova, jud. Caraş-Severin	Sat Grădinari, comuna Grădinari, jud. Caraş-Severin	577 g	Chondrit – L6
4	Zsadany (sinonim Jădani)	31 martie 1875	Jădani, jud. Timiş	Sat Corneşti, comuna Orţişoara, jud. Timiş	552 g	Chondrit – H5
5	Mocs (sinonim Moci, Mociu)	3 februarie 1882, orele 16:00; ploaie meteoritică pe raza a mai multor localități	Mocs, jud. Cluj	Sat Mociu, comuna Mociu, jud. Cluj	300 kg	Chondrit – L5-6
6	Sopot	27 aprilie 1927, orele 12:00-13:00; ploaie meteoritică	Sopot, jud. Dolj	Sat Sopot, comuna Sopot, jud. Dolj	958 g	Chondrit – H4-5
7	Tăuș	1 iulie sau august, 1937; ploaie meteoritică	Tăuș, jud. Arad	Sat Tăuș, comuna Tăuș, jud. Arad	21 kg	Chondrit – L6
8	Tuzla	GĂSIT	Tuzla, Constanța	Sat Tuzla, comuna Tuzla, jud. Constanța	236 g	Chondrit – L6

Deși în muzeele din țară, meteoriții Mező-Mădăraş, Kakowa, Zsadani și Mocs sunt inventariați sub numele de Mădăraş, Cacova, Jădani și Moci, Societatea Meteoritică a stabilit, ca și Asociația Internațională de Mineralogie, reguli de denumire, pentru meteoriții căzuți pe pământ anterior anului 1985 numele fiind cele publicate în Catalogul Meteoriților elaborat de Graham et al. la Londra în 1985, unde pentru cei patru meteoriți amintiți se păstrează denumirile ungurești.

Plecând de la metoda propusă de Stöffler et al. (1991) pentru identificarea stadiilor progresive ale metamorfismului de șoc în chondrite, utilizând studii de microscopie optică și electronică pe fragmente de meteoriți păstrate în România (Cluj-Napoca) sau Austria (Viena), Miura et al. (1995), Iancu et al. (1995, 1997, 2000) și Iancu (2003) au estimat gradul metamorfismului de șoc al tuturor meteoriților românești, astfel:

- Meteoriții Mező-Mădăraş, Ohaba, Kakowa, Zsadany, Tăuș și Sopot au atins un grad de metamorfism de nivel S3, respectiv, meteoriți slab metamorfozați;
- Meteoritul Mocs prezintă în diversele fragmente analizate grade diferite de metamorfism de șoc, variind de la S3 (meteorit slab metamorfozat) și până la S5 (meteorit intens metamorfozat).

17. METAMORFISMUL REGIONAL OROGENIC

Ocurențe. Caractere generale. Gradienti ai metamorfismului prograd (Abukuma sau Buchan, Dalradian sau Barrovian, Franciscan)

Metamorfism regional: metamorfism cu extindere regională, care afectează un volum mare de roci și este asociat cu procese tectonice la scară largă, precum orogeneza, riftogeneza, îngroșarea crustală asociată coliziunii, subsidența unor bazine de sedimentare etc.

Au fost separate trei tipuri principale de metamorfism regional: a. **M. orogenic**; b. **M. de îngropare** și c. **M. de fund oceanic**.

a. **M. orogenic (= M. Dinamo-termic)** este tipul de metamorfism asociat cu dezvoltarea centurilor orogenice în zonele marginilor *active* de plăci *convergente*.

Metamorfismul orogen este chiar esența metamorfismului și crusta continentală ia naștere majoritar la contactele convergente. Mai mult, se poate afirma că metamorfismul orogen și magmatismul asociat însemnează marea majoritate a crustei continentale.

După *Hobbs et al. (1988)*, teoria tectonicii plăcilor sugerează că orogeneza se poate desfășura la, sau lângă, limitele interplăci pe care există o componentă de scurtare (i.e. fose, catene orogene tinere, active seismice). Au fost deosebite până în prezent cel puțin patru tipuri de orogeneze:

1. **Oroeneză de tip arc insular**, care implică convergență între o placă oceanică și o altă placă oceanică, fapt ce duce la edificarea unui arc insular cu structură de orogen (Exemple – arcurile insulare din nordul sau vestul Pacificului, cum sunt arcurile Mariene sau Tonga, arcurile insulare din Atlantic sau Antilele Mici); mai este denumită **Oroeneză de tip antilez** (*Bleahu, 1989*), cu crustă oceanică de ambele părți ale continentului;

Caracteristici:

Gradient: *Gradient Buchan (Abukuma)*: Serii de Faciesuri de raport P/T scăzut (Figurile nr. 30, 32, 33);

Sucesiunea faciesurilor: F. Zeolitic/F. Prehnit Pumpellyit/F. Șisturilor Verzi/F. Amfibolitic (P. scăzută)/F. Granulitic (P. scăzută);

Minerale index: Biotit-Cordierit-Andaluzit-Sillimanit (Seria Andaluzit-Sillimanit).

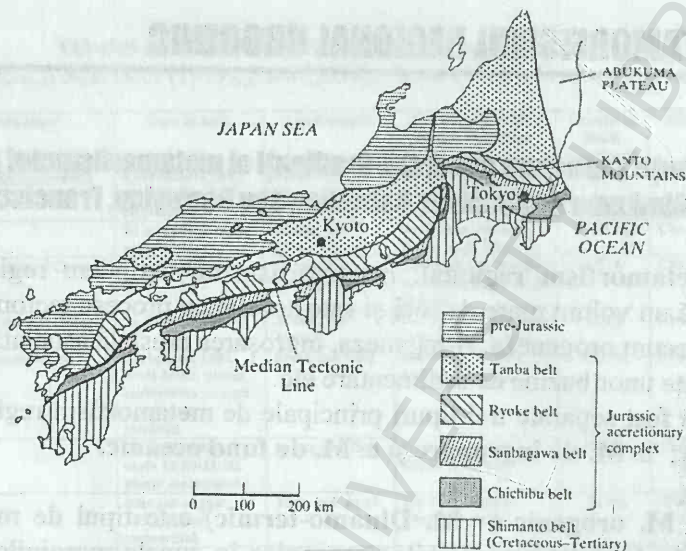


Figura nr. 30. Schiță tectonică a Japoniei (după Miyashiro, 1994) indicând complexe acreeționare de diferite vârste: Centura Tanba (metamorfism de grad foarte scăzut), Centurile Chichibu și Ryoke (metamorfism de raport P/T scăzut – Gradient Abukuma) și Centura Sanbagawa (metamorfism de raport P/T ridicat – Gradient Franciscan)

Insulele Japoniei (considerate de foarte mulți specialiști prototipul orogenului de arc insular) reprezintă în opinia lui Bleahu (1989) rezultatul unei subducții de tip andin, aici fiind prezente două arcuri insulare independente care reprezintă un rest continental desprins din masa eurasiatică prin formarea unui bazin marginal. Un prim arc îl reprezintă segmentul de NE, aflat în fața insulei nordice a Japoniei, Hokkaido, și a părții nordice a insulei Honshu având în față fosa Japoniei. Cel de al doilea arc este segmentul de SV al arhipieleagului Japonez, ce cuprinde jumătatea sudică a insulei Honshu, precum și insulele Shikoku („shi“ însemnând *patru* – *cea de-a patra insulă*) și Kyushu („kyu“ însemnând *sudul* – *insula sudică*), având în față o depresiune submersă, Nankai, care nu mai este acum o fosă adevărată. În mod normal, direcția subducției este indicată de sensul creșterii gradului metamorfic (Figura nr. 31).

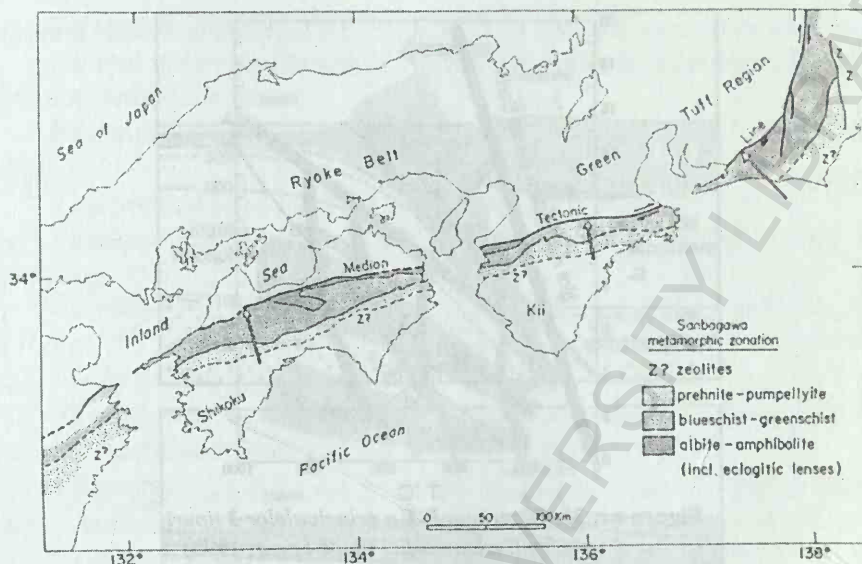


Figura nr. 31. Zonarea metamorfică a centurii Sanbagawa (săgețile arată sensul subducției) – după Spear (1993)

2. Orogeneză de tip andin, care implică convergență între o placă oceanică și o placă continentală (Exemplu – Munții Anzi din America de Sud); mai este denumită Orogeneză de tip chilean (Bleahu, 1989), cu crustă oceanică, de o parte, și crustă continentală de cealaltă parte a continentului (Figura nr. 34).

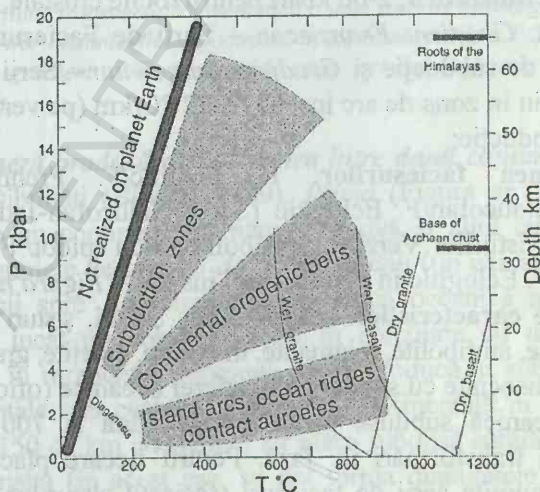


Figura nr. 32. Diagramă P-T privind regiunile generale de răspândire ale metamorfismului regional (după Spear, 1993)

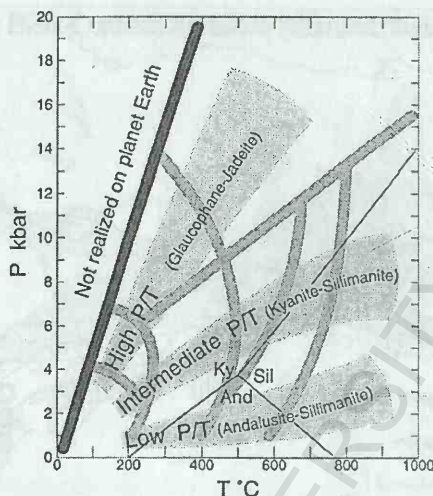


Figura nr. 33. Diagrama P-T a principalelor 3 tipuri de gradienti metamorfici (după Spear, 1993)

Caracteristici: (Bucher și Frey, 2002):

Cadrul geologic: apare în centuri orogenice de mare extindere ca fază timpurie a metamorfismului orogenic;

Regimul: dinamic; asociat, în general, cu șariaje;

Temperatură: 150-700 °C (>700 °C în cazul subducțiilor profunde);

Presiune litostatică: 2-60 kbări pentru rocile crustale;

Gradient: *Gradient Franciscan* – Serii de Faciesuri de raport P/T ridicat în zona de subducție și *Gradient Barrowian* – Serii de Faciesuri de raport P/T mediu în zona de arc insular; 5-12 °C/km (pe verticală) în funcție de viteza de subducție;

Sucesiunea faciesurilor: F. Zeolitic/F. Prehnit-Pumpellyit/F. Șisturilor cu Glaucofan/F. Eclogitic (Seria Glaucofan-Jadeit) în zona de subducție și F. Șisturilor Verzi/F. Amfibolitelor cu epidot/F. Amfibolitic/F. Granulitic sau F. Eclogitic în zona arcului insular – *Figura nr. 34*;

Produsele caracteristice: ardezii, filite, șisturi, șisturi verzi, șisturi cu glaucofan, gnaise, amfibolite, migmatite, marmure, cuarțite, granulite, eclogite;

Procese: asociate cu subducția litosferei oceanice (ofiolite).

Placa oceanică subdusă poate ajunge până la 700 km adâncime, suferind mereu transformări de fază. Pentru fiecare placă în parte sunt caracteristice anumite serii de faciesuri (faciesul șisturilor cu glaucofan + faciesul eclogitic pentru placa oceanică; T înaltă, P scăzută la medie pentru placa continentală superioară).

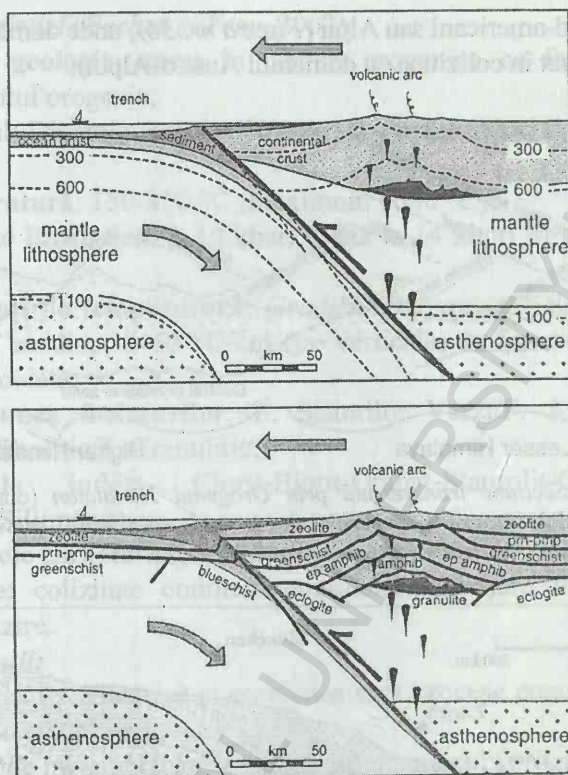


Figura nr. 34. Secțiune transversală schematică a unei zone de convergență de tip andin și distribuția faciesurilor metamorfice – faciesuri tipice unui gradient P/T ridicat în zona de subducție și de gradient P/T mediu în zona arcului vulcanic de pe continent (după Spear, 1993)

3. Orogeneză produsă de coliziunea între două continente, caz în care există două posibilități (Bleahu, 1989). Prima (Figura nr. 35) este aceea a coliziunii dintre un continent cu margine pasivă și altul cu margine activă, cunoscută sub numele de *orogen de tip himalaian* (un caz actual îl reprezintă avansarea Africii spre Anatolia), unde o placă oceanică a fost consumată complet, astfel încât un continent intră în coliziune cu un altul, existând posibilitatea ca în momentul coliziunii să se producă și subducția uneia din plăcile continentale sub cealaltă. Subducția continentală în timpul coliziunii poate atinge și 150 de km adâncime, iar placa subdusă suferă metamorfism de presiune ultra-înaltă (în acest caz, se pot forma diamantele metamorfice). A doua posibilitate este coliziunea dintre două margini continentale active, sub ele consumându-se o placă pur oceanică (Exemplu – *orogenul Acadian* din

Appalachii nord-americani sau Alpii (Figura nr. 36), unde domeniile Hevetic și Penninic au intrat în coliziune cu domeniul Austro-Alpin);

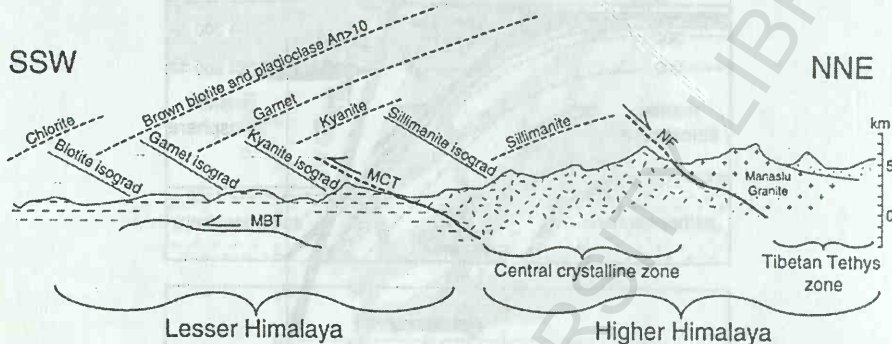


Figura nr. 35. Secțiune transversală prin Orogenul Himalaian (după Spear, 1993) arătând principalele izograde minerale de la sud spre nord, traversând (MCT – încălecare centrală principală; NF – falie normală)

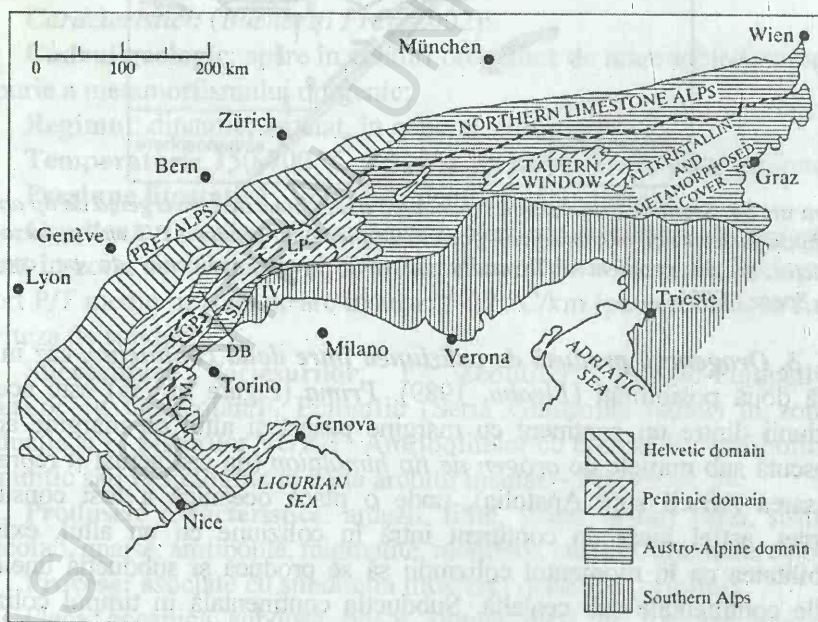


Figura nr. 36. Harta tectonică a Alpilor. LP – domul termal Leopoldin, GP – masivul Gran Paradiso, DM – Masivul Dora Maira, DB – pânza Dent Blanche, SL – zona Sesia – Lanzo, IV – zona Irea (după Miyashiro, 1994)

Caracteristici (Bucher și Frey, 2002):

Cadrul geologic: apare în centuri orogenice ca fază terminală a metamorfismului orogenic;

Regimul: Dinamic; asociat, în general, cu deformări de fază, foliații și cutări;

Temperatură: 150-850 °C (maximum 1050 °C);

Presiune litostatică: 2-10 kbari (până la 14 kbari în unele centuri de coliziune);

Gradienți de temperatură: *Gradient Barrovian* – Serii de faciesuri de raport P/T mediu; 12-60 °C/km (pe verticală) în funcție de activitatea magmatică asociată;

Sucesiunea faciesurilor: F. Șisturilor Verzi/F. Amfibolitelor cu epidot/F. Amfibolitic/F. Granulitic;

Minerale index: Clorit-Biotit-Granat-Staurolit-Cianit-Sillimanit (Seria Cianit-Sillimanit);

Produsele caracteristice: eclogite, serpentinite;

Procese: coliziune continent-continent, îngroșare litosferică, compresie și încălzire.

Observații:

- ridicarea (exhumarea) și eroziunea sunt procese concomitente ce pot să fie sau nu în echilibru,
- gradul de metamorfism (T) crește spre „miezul“ orogenic,
- cele mai multe centuri orogenice prezintă mai multe episoade de deformare și metamorfism – roci polimetamorfice,
- în zona centrală a centurilor orogenice sunt prezente batolite alcătuite din roci granitice.

4. Orogen de tip Noua Guinee, unde un continent intră în coliziune cu un arc insular.

După Bleahu (1989), coliziunea dintre un arc insular și un continent se poate realiza în două moduri diferite, după cum marginea continentală este activă sau pasivă.

b. Metamorfism de îngropare: Este un tip de metamorfism de extindere regională care afectează roci îngropate la mari adâncimi, sub stive vulcanogen-sedimentare și care, de obicei, nu este asociat cu deformarea sau magmatismul; apare, de exemplu, în Sinclinalul Southland (Noua Zeelandă), Estul Australiei, Japonia și Chile.

Este un metamorfism de grad scăzut în bazine sedimentare cu rată ridicată de subsidență, depărtate de marginile de placă. Toate bazinele

sedimentare adânci, mai ales cele formate deasupra rifturilor, ar trebui să resimtă acest metamorfism.

Caracteristici:

- deformarea este puțin intensă,
- succesiunea faciesurilor: F. Zeolitic/F. Prehnit-Pumpellyit,
- nu există intruziuni magmatice asociate,
- condiții PT: trecere continuă de la condițiile diagenezei la condițiile formării zeoliților, prehnitului, pumpellyitului, laumontitului etc.,
- rocile rezultate sunt parțial sau complet recrystalizate și nu au șistozitate,
- implică temperaturi de la foarte scăzute la medii și raporturi P/T de la scăzute la medii.

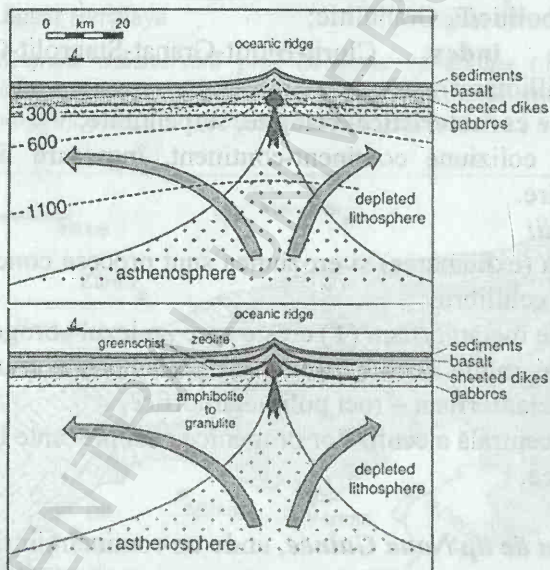


Figura nr. 37. Secțiune transversală schematică a unei dorsale oceanice și distribuția faciesurilor metamorfice (după Spear, 1993)

c. Metamorfismul de fund oceanic: Este un tip de metamorfism de extindere regională asociat unui gradient geotermic abrupt, care afectează crusta oceanică în zona dorsalelor oceanice (Exemplu – dorsala mediană a Atlanticului).

Caracteristici:

Cadrul geologic: apare în crusta oceanică și mantaua superioară a litosferei oceanice;

Regimul: \pm Static; asociat zonelor de rift oceanic, fracturi și injecții intense și lipsa foliației;

Temperatură: 150-500 °C (> 500 °C în apropierea dorsalelor);

Presiune litostatică: < 3 kbari;

Gradienti de temperatură: *Gradient de tip Buchan* - Serii de Faciesuri de raport P/T scăzut;

50-500 °C/km (pe verticală sau orizontală);

Sucesiunea Faciesurilor: F. Zeolitic/F. Prehnit-Pumpellyit/ F. Șisturilor Verzi (P. scăzută)/ F. Amfibolitic (P. scăzută) – *Figura nr. 37*;

Produsele caracteristice: metabazalte, metagabbrouri, serpentinite; se păstrează, de regulă, fabricul protolitului;

Procese: încălzire datorată ridicării astenosferei și intruziunii magmelor mafice în zona dorsalelor oceanice, combinată cu circulația apei marine prin rocile fierbinți fracturate în regim extensional.

Observații:

- recristalizarea rocilor este de obicei incompletă,
- poate fi considerat un exemplu de M. hidrotermal,
- minerale metamorfice dominante : clorit, albit și cuarț,
- rocile au compoziții chimice bogate în Mg și Na și sărace în Ca,
- spilitizarea = albitizarea bazaltelor este o transformare caracteristică.

Metamorfismul prograd: metamorfism ce dezvoltă minerale caracteristice unui grad metamorfic mai ridicat față de cel al paragenzei metamorfice precedente în aceeași rocă sau serie de roci metamorfice.

Metamorfismul retrograd: metamorfism ce dezvoltă minerale caracteristice unui grad metamorfic mai scăzut față de cel al paragenzei metamorfice precedente în aceeași rocă sau serie de roci metamorfice.

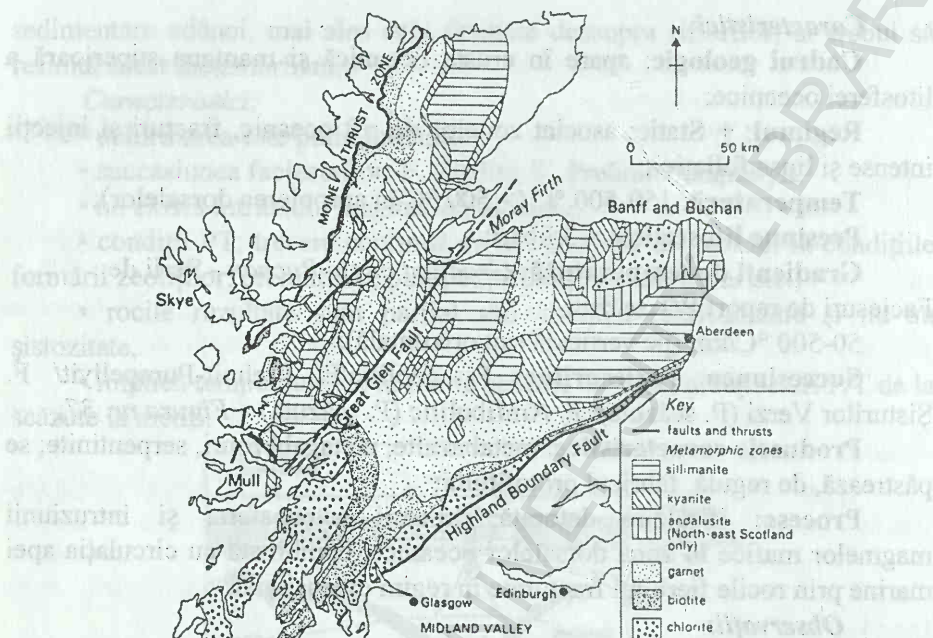


Figura nr. 38. Harta metamorfică a regiunii nordice a Scoției (după Spear, 1993) indicând zone de metamorfism progresiv: clorit – biotit – granat – cianit – sillimanit (metamorfism de tip Barrovian) și clorit – andaluzit – sillimanit (metamorfism de tip Buchan – doar în partea de NE)

Studiul metamorfismului progresiv a început la sfârșitul secolului trecut, când George Barrow (1853-1932), studiind regiunea Dalradiană din Dealurile Scoției între 1893 și 1912 a fost primul cercetător care a recunoscut zone de metamorfism progresiv (Figura nr. 38). Barrow a cartat zone care erau caracterizate de prezența mineralelor index: clorit – biotit – granat – staurolit – cianit – sillimanit. Limita dintre zone era marcată de apariția (sau dispariția) unuia din mineralele critice menționate. Tilley a numit această limită izogradă, deoarece a interpretat-o ca o linie de grad metamorfic constant. Barrow a observat că mărimea granulelor creștea semnificativ de la o zonă la alta.

18. METAMORFISMUL REGIONAL AL ROCILOR ULTRAMAFICE

- rocile din manta – marea majoritate sunt roci metamorfice de recristalizare continuă datorită:

a) metamorfismului de tip mantelic:

- convecției mantalei sub-litosferice
- proceselor tectonice din litosferă
- proceselor subsolidus locale din manta (influențate de topire, răcire, hidratare, metasomatism)

b) metamorfismului crustal

- echilibrarea rocilor mantelice la condițiile de metamorfism crustale (P, T mai mici).

• Rocile ultramafice magmatice (5%) = cumulate Ol-Px rezultate din cristalizarea fracționată a topiturilor bazice (gabbroice, bazaltice) în camere magmatice crustale.

• În crustă, aflorează două tipuri de *fragmente de manta*.

• Fragmente de manta *sub-oceanică* – apar în secvențele ofiolitice (alături de gabbouri și dykuri bazaltice și au o compoziție lherzolică).

• Fragmente de manta *sub-continentală* – compoziție harzburgitică sau dunitică.

Rocile ultramafice din mantaua litosferică oceanică sunt local încorporate în centurile metamorfice prin obducție în timpul coliziunii. Asemenea roci ultramafice orogene sunt denumite **peridotite alpine**, datorită apariției lor comune ca lentile în terenurile cristaline din centurile muntoase. De obicei, ele au fost hidratate spre serpentinite în timpul punerii în loc și au suferit grade diferite de recristalizare, în funcție de gradul metamorfismului regional.

Rocile ultramafice nealterate constau dintr-un amestec de olivină + ortopiroxen + clinopiroxen. Compozițiile chimice medii ale rocilor ultramafice sunt relativ restrânse și pot fi reprezentate foarte bine prin sistemul chimic $\text{MgO-CaO-SiO}_2 + \text{H}_2\text{O} + \text{CO}_2$ (MCS HC).

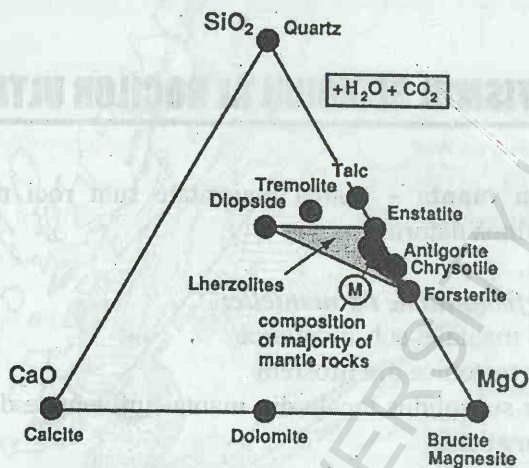


Figura nr. 39. Sistemul chimic $\text{MgO-CaO-SiO}_2 + \text{H}_2\text{O} + \text{CO}_2$ (MCS HC) și poziția unor minerale din rocile metaultramafice (din Bucher și Frey, 2002)

În rocile ultramafice, pot fi prezenți și alți componenți: FeO este important deoarece permite apariția unui silicat adițional de Fe-Mg, iar Al_2O_3 (comun de altfel) are efectul stabilizării unei faze adiționale sau al extinderii câmpului de stabilitate al amfibolului față de sistemul simplu.

Problema echilibrului

- roci mantelice ce conservă paragenezele de P și T mari, aflate în dezechilibru cu rocile din jur (roci allofaciale),
- roci mantelice echilibrate cu rocile din jur (roci izofaciale).

Compoziția chimică a sistemelor ultramafice:

Compoziție modală dominată de Ol, Opx și Cpx (subordonat amfiboli, plagioclaz, filosilicați, oxizi, carbonați și/sau granați)

$X_{\text{Mg}} (\text{Mg}/(\text{Mg}+\text{Fe}))=0.9-0.95$; ultramafitele sunt, în general, sărace în Fe.

Tipic este sistemul $\text{MgO-CaO-SiO}_2 + \text{H}_2\text{O} + \text{CO}_2$ (MCS HC) – figura nr. 39.

Sistem chimic simplificat $\text{MgO-Al}_2\text{O}_3\text{-SiO}_2$ (MAS) sau prin adăugarea apei în timpul serpentinizării – MASH sau $\text{MCSH}+\text{CO}_2$

Tipuri de roci metaultramafice

Pentru clasificarea rocilor metaultramafice (ultrafemice), pot fi utilizați termeni echivalenți rocilor magmatice: *Ex.*: Lherzolit cu granat, harzburgit cu spinel, dunit cu pargasit.

Dacă se urmărește indicarea naturii metamorfice a acestor roci, se pot utiliza expresii ca granofels (fels granular) cu hornblendă și piroxen, gnaiss cu hornblendă etc., dar cele mai întâlnite categorii sunt următoarele:

1. Serpentinite – metaharzburgite sau metalherzolite hidratate de grad scăzut

2. Metaperidotite

3. Metafelsite cu En și Fo

4. Metaoficalcite – serpentinite cu carbonați

5. Savgandite (metafelsite enstatitice cu carbonați)

6. Pietre-săpun (soapstones) – șisturi talcoase cu carbonați (felsite cu talc); *ex*: talc + magnezit

Serpentinite

Roci metamorfice constituite din peste 75% din minerale din grupa serpentinei (antigorit, crisotil, lizardit). Dacă este posibil, este oportună indicarea tipului de serpentină prezentă. Dacă serpentina prezintă o foliație marcată, se vorbește de șist serpentinic.

Ex.:

Serpentină antigoritică cu forsterit și diopsid

Serpentină lizarditică cu brucit

Șist serpentinic antigoritică cu olivină și titanoclinohumit

Roci metaoficarbonatice – sunt roci neomogene, constituite dintr-o porțiune de serpentină și una de carbonat. Aceste roci au, în general, un aspect breicios cu fragmente serpentinice de dimensiuni variabile de la scara centimetrică, la cea metrică, cimentate sau injectate de vinișoare carbonatice de natură calcitică (oficalcit), dolomitică (ofidolomit) sau magnezitică (ofimagnezit).

Aceste roci se formează prin reacția dintre serpentinite și CO₂ de origine crustală. Oficalcitele se formează după punerea în loc și serpentinizarea ultramafitelor, dar înainte de exhumarea masei principale de pillow-lava și depozitarea sedimentelor oceanice.

Produsul metamorfic al oficarbonatului se numește metaoficarbonat.

Exemplu: Metaoficalcit cu antigorit, tremolit și talc, metaofidolomit
Pudra de oficalcit are proprietăți farmaceutice.

Principalele minerale din rocile ultramafice:

Minerale din grupa serpentinei $\text{Mg}_6\text{Si}_4\text{O}_{10}(\text{OH})_8$ – filosilicați hidratați trioctaedrici, T max – cca. 520 grade C, incolori, relief scăzut:

- lizardit – format în timpul metamorfismului retrograd
- crisotil – habitus fibros
- antigorit – mineralul principal în serpentinitele prograde

Talc $\text{Mg}_3\text{Si}_4\text{O}_{10}(\text{OH})_2 \sim 5\%\text{H}_2\text{O}$

Stabil în sistemele bogate în CO_2

Brucit $\text{Mg}(\text{OH})_2$

Incolor, fibros, relief foarte scăzut

Periclaz MgO

Izotrop, relief foarte ridicat

Magnezit MgCO_3 – de obicei, fără macle polisintetice

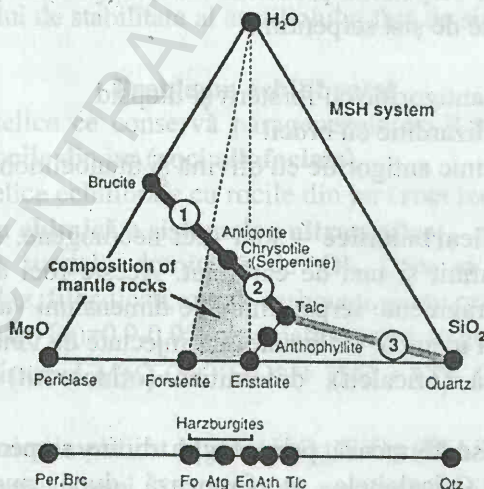


Figura nr. 40. Chemografia sistemului ultramafic MSH indicând compozițiile mineralogice relevante din rocile ultramafice de compoziție harzburgitică (din Bucher și Frey, 2002)

Tipuri de ocurențe de roci mantelice

1. Xenolite peridotitice și piroxenitice în bazalte alcaline (ex.: Racoșul de Jos)

2. Metaperidotite de tip alpin: mantaua superioară = fragmente de litosferă oceanică încorporate în crusta continentală în zonele de subducție

În România, metaperidotite cu granat (19-21 % MgO) apar în Pânza Getică din munții Sebeș-Cibin (Tițianu, D. Negru, Foltea), alături de clinopiroxenite cu olivină și granați (Pavelescu, 1957; Marunțiu, 1978 și 1987).

3. Asociații ofiolitice dezmembrate: fragmente de crustă oceanică și manta:

a) încorporate în prisma de acreeție în timpul metamorfismului din zonele de subducție. Rocile mantelice sunt asociate cu eclogite și șisturi cu glaucofan;

b) juxtapuse tectonic între două terenuri metamorfice crustale în timpul metamorfismului orogenic; în zonele orogenice, aliniamentele discontinue de roci mantelice urmăresc zone de falii majore ce separă terenuri cu roci contrastante – marchează zone de sutură; c) în crustele oceanice actuale.

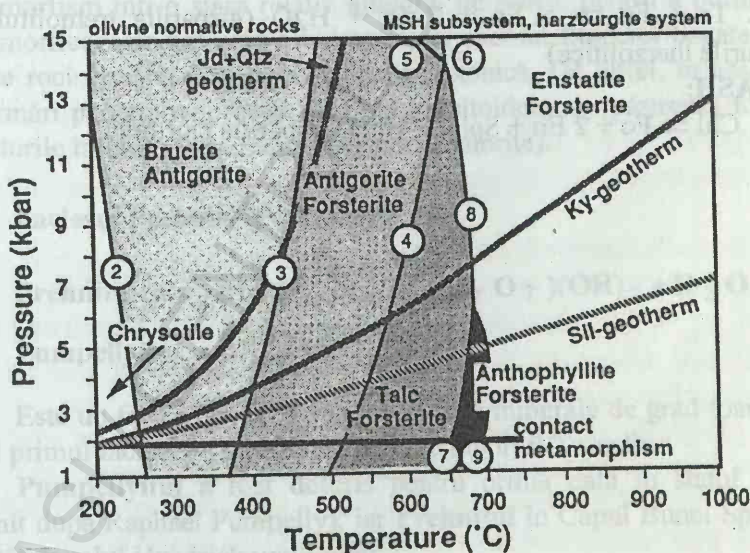


Figura nr. 41. Diagrama P-T pentru echilibrul din sistemul MSH (harzburgite): reacțiile 1-9. Figura este valabilă dacă H_2O pură este prezentă ca fază fluidă (din Bucher și Frey, 2002)

MSH:

1. $15 \text{ Ctl} + \text{Tlc} \Rightarrow \text{Atg}$ (prima apariție a antigoritului) – reacție ce nu e figurată pe diagramă
2. $17 \text{ Ctl} \Rightarrow \text{Atg} + 3 \text{ Brc}$ (ultima apariție a crisotilului)
3. $\text{Atg} + 20 \text{ Brc} \Rightarrow 34 \text{ Fo} + 51 \text{ H}_2\text{O}$ (prima apariție a forsteritului)
4. $\text{Atg} \Rightarrow 18 \text{ Fo} + 4 \text{ Tlc} + 27 \text{ H}_2\text{O}$ (ultima apariție a antigoritului – limita superioară de temperatură a serpentinitelor)
5. $\text{Atg} + 14 \text{ Tlc} \Rightarrow 90 \text{ En} + 55 \text{ H}_2\text{O}$
6. $\text{Atg} \Rightarrow 14 \text{ Fo} + 20 \text{ En} + 31 \text{ H}_2\text{O}$
7. $9 \text{ Tlc} + 4 \text{ Fo} \Rightarrow 5 \text{ Ath} + 4 \text{ H}_2\text{O}$ (dispariția talcului – la presiune scăzută)
8. $\text{Tlc} + \text{Fo} \Rightarrow 5 \text{ En} + \text{H}_2\text{O}$ (dispariția talcului – la presiune ridicată)
9. $\text{Ath} + \text{Fo} \Rightarrow 9 \text{ En} + \text{H}_2\text{O}$ (dispariția antofilitului)

CMSH:

10. $\text{Atg} + 8 \text{ Di} \Rightarrow 18 \text{ Fo} + 4 \text{ Tr} + 27 \text{ H}_2\text{O}$ (limita superioară a diopsidului în serpentinite)
11. $\text{Tr} + \text{Fo} \Rightarrow 5 \text{ En} + 2 \text{ Di} + \text{H}_2\text{O}$ (dispariția tremolitului în ansamblurile Iherzolite)

MASH:

12. $\text{Chl} \Rightarrow \text{Fo} + 2 \text{ En} + \text{Spl} + 4 \text{ H}_2\text{O}$ (dispariția cloritului)



19. METAMORFISMUL REGIONAL AL GRANITOIDELOR

Rocile de tipul granitoidelor cuprind:

➤ **Granite;**

➤ **Granite alcali-feldspatice;**

➤ **Granodiorite și tonalite,** și constituie o porțiune largă din crusta continentală.

Datorită faptului că mineralele principale din aceste roci: **feldspat alcalin, feldspat plagioclaz, Q, Bi, Ms și hornblendă** se pot găsi pe o porțiune destul de largă de condiții P-T, acest grup de roci nu este un indicator bun pentru stabilirea gradului metamorfismului și de aceea este neglijat în marea majoritate a tratatelor de petrologie metamorfică.

Spre deosebire de rocile sedimentare umede, granitoidele intră în metamorfism într-o stare relativ anhidră, de aceea, pentru a porni reacțiile metamorfice, este necesară o hidratare, iar accesul fluidelor bogate în apă în aceste roci este facilitat de activitatea tectonică. De altfel, în absența unei deformări penetrative, rocile de tipul granitoidelor își păstrează foarte bine structurile inițiale (metagranite, metagranodiorite).

Faciesul Prehnit – Pumpellyit

Prehnitul: $\text{Ca}_2 \text{Mg Al}_2 (\text{Si O}_4)(\text{Si}_2 \text{O}_7)(\text{OH})_2 \cdot \text{H}_2 \text{O}$

Pumpellyit: $\text{Ca}_2 \text{Al}_2 \text{Si}_3 \text{O}_{10}(\text{OH})_2$

Este un facies denumit după cele două minerale de grad foarte scăzut, fiind primul facies din metamorfismul de raport P/T mediu.

Pumpellyitul a fost descris pentru prima dată în statul Michigan (numit după Raphael Pumpelly), iar **Prehnitul** în Capul Bunei Speranțe, de către colonelul Hendrick von Prehn.

Deși aceste două minerale sunt frecvent întâlnite în roci magmatice mafice de grad foarte scăzut sau în graywacke, acești silicați de Ca și Al sunt uneori întâlniți și în roci plutonice, cuarțo-feldspatice. Ambele minerale apar tipic în cadrul Bi, al cloritului secundar sau al hornblendei, formând mici lentile în interiorul acestora.

În cazul asociației Bi-Pr, marea majoritate a cercetătorilor explică apariția Pr dintr-un fluid care se insinuează pe liniile de clivaj ale Bi.

Reacția posibilă pentru formarea Pr este:



Prezența prehnitului și pumpellyitului în rocile granitoidice fusese anterior atribuită unei activități a soluțiilor deuterice, însă astăzi alterarea în condițiile faciesului Prehnit-Pumpellyit este propusă în mod obișnuit, dacă în rocile învecinate se recunoaște **metamorfismul de temperatură scăzută**.

Pumpellyitul a fost descris pentru prima dată în România, fiind denumit „**lotrit**” de către Munteanu-Murgoci (1900, fide Udubașa et al., 1992) în *Munții Parâng* (vf. Urdele). Din păcate, numele a fost respins în favoarea celui actual, după descrierea făcută de Palache și Vassar (1925). În Parâng, mineralul amintit apare în rodingite, împreună cu clinozoizit și prehnit. **Pumpellyitul** a mai fost descris în Munții Petreanu, asociat cu bazalte, unde formează benzi fine și vinișoare și e însoțit de prehnit, sugerând un metamorfism de grad scăzut de vârstă alpină în Carpații Meridionali. **Pumpellyitul** a mai fost descris și în Carpații Orientali ca agregate fin granulare în cadrul unor bazalte asociate formațiunilor de fliș.

Prehnitul a fost descris, în special, în gnaise în Munții Făgăraș (Bârsa lui Bucur), Munții Sebeș (Vârful Câmpii), Munții Godeanu sau în roci magmatice, fie în diabaze (Râul Doamnei, Cernat), fie în dacite (Săliște, Munții Metaliferi). La Băița Bihor, **prehnitul** a fost descris în corneene, înlocuind plagioclazii sau piroxenii.

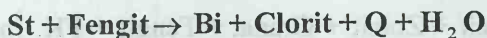
Prezența Stilpnomelanului

Stilpnomelanul este un silicat hidratat bogat în Fe cu cantități scăzute de Al și K și poate fi confundat cu biotitul. Pentru stilpnomelanul cu Fe^{2+} și Fe^{3+} se folosesc denumirile de *ferostilpnomelan* și *feristilpnomelan* (ultimul se formează prin oxidarea secundară a primului).

Se găsește în metagranitoidele din centurile orogene, de obicei, în interiorul microclinului sau înlocuiește Bi sau hornblenda.

Reacțiile de formare a stilpnomelanului în metagranitoidele de grad scăzut sunt puțin întâlnite, dar se consideră că Bi și/sau cloritul sunt cei mai importanți reactanți.

Stilpnomelanul apare alături de clorit, fengit (mică), epidot, Qtz, microclin și albit, iar la grade ceva mai ridicate apare alături de biotit verde. De obicei, stilpnomelanul dispare din metagranitoide în urma reacției:



Această reacție a fost investigată experimental în 1970; stilpnomelanul este un mineral index, format în metagranitoidele din faciesul șisturilor verzi sau al șisturilor cu glaucofan.

Izograda de transformare microclin-sanidină

O discontinuitate în starea structurală a feldspatului potasic permite recunoașterea unei transformări izograde (microclin-sanidină) în metagranitoidele faciesului șisturilor verzi.

Sanidina de temperatură ridicată este un feldspat potasic, în care Al și Si sunt distribuiți între pozițiile tetraedrice T_1 și T_2 , cu Al preferând poziția $T_{1(0)}$. Spre deosebire de sanidină, microclinul are 4 poziții tetraedrice „preferate”: $T_{1(0)}$, $T_{1(m)}$, $T_{2(0)}$, $T_{2(m)}$. Cele mai detaliate studii de transformare microclin-sanidină se pot realiza utilizând măsura Fedorov (măsuță universală) pentru măsurarea unghiului 2V (dintre axele optice) sau utilizând difractometria de raze X. Astfel, au fost efectuate analize pe roci din Alpii Elvețieni Centrali, recunoscându-se trei zone:

❖ **Zona 1 – microclin cu 2V=55-85 grade**, în roci din faciesul șisturilor verzi (partea inferioară a acestuia).

❖ **Zona 2 – microclin cu 2V=75-88 grade**, în roci din faciesul șisturilor verzi (partea mediană).

❖ **Zona 3 – ortoză cu 2V=53-75 grade**, în roci metamorfozate începând cu partea superioară a faciesului șisturilor verzi până în partea superioară a faciesului amfibolitic.

Transformarea microclin-sanidină separă zonele 2 și 3 și se presupune că s-a produs la sfârșitul orogenezei alpine. Această izogradă a fost recunoscută în Alpii Elvețieni pe o distanță de 140 Km.

Rocile granitoidice din Faciesul eclogitic și din Faciesul șisturilor cu glaucofan

Un exemplu rar de granite, granodiorite și tonalite metamorfozate în condițiile faciesului eclogitic este cunoscut în zona Sesia din Alpii Italiani (*Compagnoni și Maffeo, 1973*). Aceste roci cuarțo-feldspatice au fost transformate în timpul fazei timpurii a orogenezei alpine, la mijlocul Cretacicului.

Granitoidele cel mai puțin deformate au structuri magmatice cu FK relict și Bi, iar pe măsura creșterii presiunii se pot recunoaște următoarele parageneze:

✓ **Stadiul I** – Q + Jadeit + Zoizit + Granat + Fengit + FK. În acest caz, jadeitul, Qtz și zoizitul au înlocuit total plagioclazul, iar biotitul s-a transformat parțial în granat, fengit și rutil.

✓ **Stadiul II** – jadeitul este înlocuit de omfacit + cloromelanit și apoi de glaucofan.

Condițiile P-T pentru punctul maxim de recrystalizare metamorfică au fost estimate la temperaturi între 500-600 grade și $P \geq 14$ Kbari.

Ortognaise de compoziție granitică, granodioritică și tonalitică din Peninsula Seward, Alaska au suferit un metamorfism orogenic progresiv, începând cu faciesul șisturilor cu glaucofan în Jurasic, urmat apoi de o reechilibrare parțială, în condițiile faciesului șisturilor verzi. Ansamblul mineralogic în ortognaisele granitice este alcătuit din: cuarț – albit – microclin – fengit – biotit; în metatonalite, în absența microclinului, apare almandin. În ortognaise, nu au fost întâlnite minerale de presiune ridicată precum: jadeit – omfacit sau glaucofan, dar parageneze tipice faciesului șisturilor cu glaucofan au fost depistate în metabazitele și metapelitele adiacente.

Condițiile P-T, în acest caz, au fost estimate la $T = 420$ grade Celsius și $P \approx 9-10$ Kbari.

Roci granitoidice metamorfozate în condiții tipice situate între faciesul șisturilor cu glaucofan și faciesul șisturilor verzi au fost întâlnite în Corsica, unde estimările P-T arată că temperatura a fost cuprinsă între 390 și 490 grade Celsius, iar presiunea între 6 și 9 Kbari.

20. METAMORFISMUL REGIONAL AL PELITELOR

Relațiile de fază în sistemele ASH, FASH și KNFASH; Migmatite; Granulite, Rocile metapelitice

Metapelitele reprezintă probabil grupa cea mai numeroasă de roci metamorfice. Metapelitele includ tipic roci metamorfice binecunoscute, precum șisturi cu cianit și clorit, micașturi cu staurolit și granat, micașturi cu cloritoid și granat, șisturi cu cianit și staurolit, gnaise cu biotit, granat și cordierit, gnaise cu biotit și sillimanit și granulite cu granat și piroxen rombic. Cele mai multe minerale metamorfice tipice se găsesc în metapelite:

- Staurolit
- Cloritoid
- Cianit
- Andaluzit
- Sillimanit
- Cordierit.

În mai multe terenuri metamorfice, mineralele caracteristice metapelitelor au o distribuție spațială reglată de intensitatea metamorfismului.

Sedimente pelitice

Metapelitele sunt roci metamorfozate provenite din sedimente bogate în minerale argiloase, incluzând aici sedimente neconsolidate și sedimente consolidate. După un metamorfism incipient, toate aceste roci sedimentare sunt denumite *argilite*, iar metamorfismul de intensitate slabă transformă aceste roci în șisturi.

Granulele sedimentelor pelitice, au, de obicei, dimensiuni mici (mai mici de 4 microni), fiind predominant alcătuite din minerale argiloase.

Semipelitele sunt, în general, rocile metamorfice provenite dintr-un amestec de nisip, silt și argilă (gnaise semipelitice).

Șisturile pelitice reprezintă cam 80% din totalul rocilor sedimentare metamorfozate.

Compoziția chimică a metapelitelor

De regulă, rocile pelitice metamorfozate au un conținut de Al_2O_3 , foarte ridicat, Fe total mai mult de 10%, MgO are între 2-3%, iar cantitatea de CaO este mai mare decât cea de MgO.

Toate pelitele posedă multă apă, fapt cu implicații petrogenetice deosebite, deoarece apa eliberată în timpul metamorfismului ajută la atingerea echilibrului în roci.

Cea mai bună reacție care dovedește importanța apei în metamorfism este: *transformarea caolinitului* – $\text{Al}_2\text{Si}_2\text{O}_5(\text{OH})_4$ în *pirofilit* – $\text{Al}_2\text{Si}_4\text{O}_{10}(\text{OH})_2$ după reacția:



Deoarece caolinitul are un procent de apă de 9%, iar pirofilitul de 4%, procentul de 5% rămas trece în sistem, iar acesta ajută la recristalizarea noilor faze și la cinetica reacției.

Mineralogia metapelitelor

Șisturile argiloase sunt dominate de mineralele argiloase: silicați stratificați aluminosi reprezentați de montmorillonit, caolinit și illit.

Sericitul și paragonitul de origine detritică sau autigenă sunt următoarele minerale importante din șisturi, urmând apoi cloritul care, având conținuturi ridicate de Mg și Fe, influențează chimismul rocii.

Mineralele de tipul silicaților stratificați ocupă circa 50% din volumul rocilor pelitice, iar cuarțul din ele sau din metapelite ajunge la aproximativ 10-30% din acestea.

Multe șisturi conțin, de asemenea, feldspați detritici, autigeni sau zeoliți.

Complicații ale chimismului sunt date de oxizi și hidroxizi de Fe sau de sulfuri: hematit, goethit, limonit, pirită, pirotină.

Titanitul sau rutilul sunt constituenți minori în șisturi. Carbonații și materia organică pot să apară în cantități foarte mici.

Schimbările premetamorfice din sedimentele pelitice

Compactizarea și diageniza sedimentelor produc schimbări semnificative chimice și mecanice.

Exemplu: porozitatea mare a argilelor de peste 50% este continuu redusă în timpul îngropării și compactizării, până la 6-10%.

Când începe metamorfismul la aproximativ 200 grade și 6 Km adâncime (1,6 Kbari), șisturile tipice conțin încă câteva procente de apă.

Schimbări premergătoare metamorfismului în pelite

Mineralele argiloase originale, precum smectitul sunt înlocuite de illit (mineral precursor al micii albe de potasiu) și de clorit.

Gradul de ordonare al rețelei cristaline a silicaților stratificați, în particular al illitului crește progresiv odată cu creșterea P și T.

„Cristalinitatea“ illitului poate fi utilizată ca o măsură a gradului de diagenază (recristalizare diagenetică sau a recristalizării metamorfice de grad foarte scăzut).

DIAGENEZĂ

❖ În sens larg, reprezintă schimbările chimice, mineralogice, fizice și biologice suferite de sedimente după depozitarea inițială în timpul și după litificare, excluzând alterarea superficială (supergenă) și metamorfismul.

❖ Diageneza cuprinde următoarele procese:

✓ Compactizarea

✓ Cimentarea

✓ Remobilizarea

✓ Autigeneza

✓ Înlocuirea

✓ Cristalizarea

✓ Solubilizarea

✓ Hidratarea

✓ Dehidratarea

✓ Activitatea bacteriană

✓ Formarea concrețiunilor

proces ce se produc
la P și T normale la
suprafața crustei terestre

❖ Diageneza (sensul larg) poate fi subdivizată în:

A) **Diageneza superficială (diageneza în sensul strict)** – reprezintă schimbările chimice, mineralogice, fizice și biologice care au loc în sedimente la condiții fizice care nu diferă semnificativ de acelea în care sedimentul s-a acumulat;

B) **Diageneza profundă** – schimbări care sunt caracterizate de reacții ale mineralelor argiloase (precum transformarea smectitului în illit, a caolinitului în dickit). Subcomisia de Nomenclatură a Rocilor Metamorfice a Uniunii Internaționale a Științelor Geologice recomandă utilizarea acestui termen în locul celor utilizați de geologii ruși: epigeneză, catageneză sau katageneză.

Illit $\Rightarrow \Delta^{20} \text{CuK}\alpha$ (Indicele Kübler = KI) – indicele de cristalinitate al illitului e măsurat prin Indicele Kübler, pentru a cărui determinare sunt necesare analize difractometrice

Cu – catod; $K\alpha$ – radiație.

Difractometrie de raze X

{ XRD – roca pulbere
SINGLE – cristal unic

În funcție de gradul de cristalinitate al illitului, Subcomisia de nomenclatură a rocilor metamorfice distinge 3 zone:

1) Zona diagenetică sau zona de cristalinitate diagenetică a illitului.

$IC > 0,42$; $IC = \Delta^0 2 \theta \text{ CuK}\alpha$ = indice de cristalinitate

Această valoare se măsoară, de obicei, pe fracțiunea argiloasă de $0,2 \mu \div 2 \mu$.

Zona nu este favorabilă genezei petrolului.

2) Anchizonă

Anchizona = zona de tranziție între zona diagenetică și epizonă în care $IC - \Delta^0 2 \theta \text{ CuK}\alpha$ are valori între $0,25 \div 0,42$, valori măsurate pe fracțiunea bogată în minerale argiloase cu dimensiuni mai mici de 2μ din rocile clastice.

Caolinitul și/sau mixtura dioctaedrică illit-smectit cu strate expansibile mai mult de 10%, sunt absente în roci clastice normale, dar pot persista în rocile carbonatice, precum și în sisturile bogate în materie organică și Na, dar sărace în K.

Metamorfismul din această zonă este denumit *anchimetamorfism* (și poate fi aproximat ca un metamorfism de grad foarte scăzut).

Aceasta este zona favorabilă genezei petrolului.

3) Epizonă

Epizonă: grad scăzut de metamorfism
Mezozonă: grad mediu de metamorfism
Catazonă: grad înalt de metamorfism

} s-a renunțat
la aceste
denumiri propuse
de Grubenmann
(1904).

Este un stadiu mai avansat de metamorfism determinat de valori ale indicelui de cristalinitate ($\Delta^0 2 \theta \text{ CuK}\alpha$) mai mici de 0,25; dacă rocile au trecut în această zonă geneza petrolului s-a încheiat.

Gradul de cristalinitate al illitului este studiat împreună cu gradul de maturare al materiei organice din roci pentru determinarea genezei posibile a petrolului.

Compușii organici ai carbonului sunt înlocuiți pe măsura creșterii intensității metamorfismului de grafit sau trec complet în CO_2 și CH_4 .

În acest context, reflectivitatea optică a materiei cărbunoase este aceea care este utilizată ca indicator al regimului termic din timpul diagenzei și începutul metamorfismului.

În sinteză, pentru determinarea celor trei zone amintite, se utilizează indicele de cristalinitate al illitului, reflectanța vitrinitului, indicele de cristalinitate al cloritului și indicele de alterare al culorii din conodonte. Între acești parametri, pot fi efectuate doar corelări aproximative.

Mineralogia Digitală = Digital Mineralogy (Digi M) este o nouă tehnică de analiză a probelor ce furnizează informații privind impuritățile din roci, dar o foarte mare importanță o prezintă folosirea acestei tehnici în exploatarea petrolului.

Digi M combină rezultatele obținute prin analizele spectrofotometrice în IR din teren cu datele din programele software "The Spectral Geologist". Rezultatul: o nouă clasificare a datelor analizelor ce permite stabilirea mineralogiei formațiunilor studiate și prezentarea sa sub formă de diagrame, reprezentări grafice și profile. Aceste date sunt rapid integrate și comparate cu datele geofizice obținute la explorare.

Măsurătorile Digi M sunt rapide (30 secunde) și se efectuează *in situ* pe carote; nu sunt necesare alte pregătiri anterioare ale probelor, cu excepția uscării acestora. Digi M se completează ideal cu tradiționala XRD, fiind utilizată în prospecțiuni, teste stratigrafice, relevând proporția relativă, compoziția și cristalinitatea grupelor importante de minerale (exemplu: illit, smectit, pirofilit, caolinit, clorit, dolomit, calcit etc.).

Aplicații specifice ale Digi M în industria petrolieră:

- transformarea smectit – illit;
- determinarea cristalinității illitului;
- detectarea hidrocarburilor în roci sedimentare;
- măsurarea amoniului fixat în illit, ceea ce evidențiază maturitatea și migrarea acumulărilor de hidrocarburi;
- identificarea rezervoarelor de hidrocarburi;
- identificarea mineralelor;
- identificarea incluziunilor minerale.

La începutul metamorfismului, sedimentele pelitice sunt transformate, mai întâi, în ardezii și filite, mineralogia tipică a acestora fiind dată de:

- Illit (muscovit)
- Clorit
- Cuarț
- Feldspați
- Sulfuri
- Hematit
- Materie organică.

Din punct de vedere geochimic, compoziția chimică a rocilor pelitice incipient metamorfozate rămâne aceeași cu excepția reducerii conținutului de apă.

Metamorfismul orogenic de presiune intermediară a rocilor pelitice (metamorfism de tip Barrowian)

Izoterma Cianitului

Acest tip de metamorfism se întâlnește în multe centuri orogenice de vârstă precambriană până la terțiară. A fost descris pentru prima dată în Scoția de Barrow.

Din punct de vedere geochimic, s-a constatat următoarea abundență descrescătoare a oxizilor:

- SiO_2
- Al_2O_3
- FeO
- Fe_2O_3
- H_2O
- MgO
- K_2O
- Na_2O
- TiO_2
- CaO



Metapelitele pot fi adesea approximate într-un sistem de 6 componenți (oxizii cu concentrația cea mai mare); acest sistem poate fi reprezentat grafic prin **diagrama AFM** (Figura nr. 42).

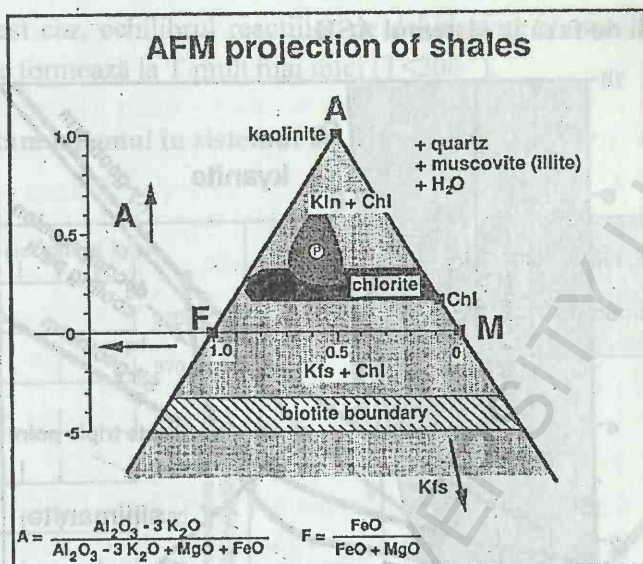


Figura nr. 42. Diagrama AFM pentru metapelitele de grad scăzut
(din Bucher și Frey, 2002)

Na_2O este, de obicei, conținut în feldspat (albit) și paragonit, CaO are, de regulă, valori foarte scăzute în argilele (metapelitele) pure, dar când apare în conținut mai ridicat indică prezența granatului și a plagioclazului (anortit).

În mod tipic, valoarea parametrului A este situată în jurul valorii 0,40, iar $F \approx 0,60$ (aceasta este valoarea medie a celor doi parametri pentru metapelitele normale).

$$A = \frac{Al_2O_3 - 3K_2O}{Al_2O_3 - 3K_2O + MgO + FeO} \quad F = \frac{FeO}{FeO + MgO}$$

Asemenea metapelite conțin caolinit, pirofilit + clorit + Q + illit + apă

Relații de fază în sistemul ASH

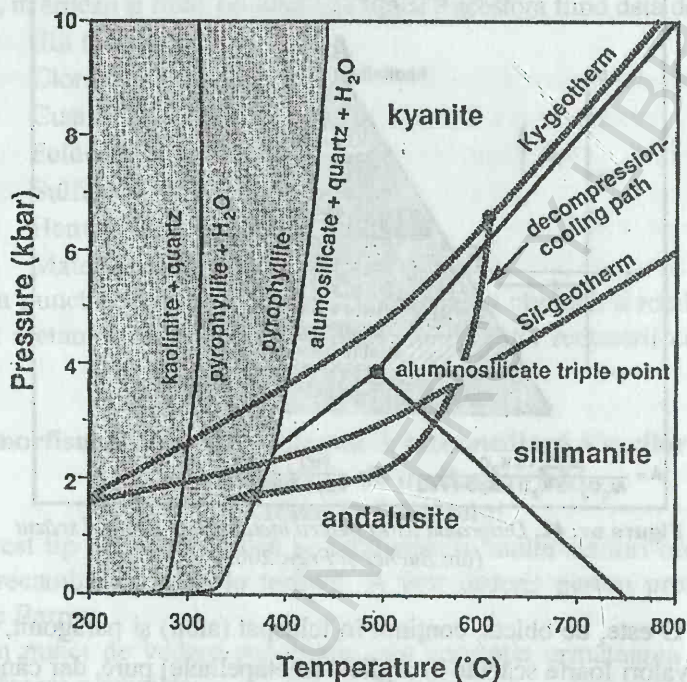
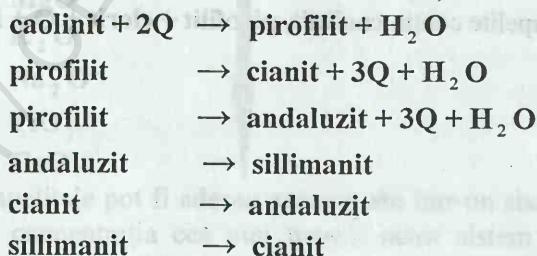


Figura nr. 43. Reacțiile din Sistemul ASH ($\text{Al}_2\text{O}_3\text{-SiO}_2\text{-H}_2\text{O}$). Din Spear (1993)

Doi dintre cei mai importanți componenți ai metapelitelor, SiO_2 și Al_2O_3 , împreună cu apa, permit reprezentarea relațiilor de fază între caolinit, pirofilit, cei trei silicați de Al – cianit, sillimanit, andaluzit și Q.

Acest sistem ASH (Figura nr. 43) descrie o bună parte a metapelitelor și în cadrul său se pot petrece următoarele reacții:



În roci care conțin materie organică din abundență (o situație comună în metapelite), faza fluidă poate conține și CH_4 la T scăzute.

Alte minerale posibile în acest sistem sunt: amfiboli rombici și piroxeni rombici cu Fe.

Reacții posibile:

- (7) clorit + 4 pirofilit \rightarrow 5 cloritoid + 2 Q + 3 H₂O
- (8) clorit + 4 hematit \rightarrow cloritoid + 4 magnetit + 2Q + 3 H₂O
- (9) clorit + cloritoid + 2Q \rightarrow 2 almandin + 5 H₂O
- (10) 3 clorit \rightarrow 3 almandin + 2 magnetit + 12 H₂O
- (11) 8 cloritoid + 10 cianit \rightarrow 2 staurolit + 3 Q + 4 H₂O
- (12) 23 cloritoid + 7 Q \rightarrow 2 staurolit + 5 almandin + 19 H₂O
- (13) 75 staurolit + 312 Q \rightarrow 100 almandin + 575 cianit + 150 H₂O
- (14) 3 cloritoid + 2 Q \rightarrow almandin + 2 cianit + 3 H₂O
- (15) 3 cloritoid + 2 Q \rightarrow almandin + 2 andaluzit + 3 H₂O
- (16) 8 cloritoid + 10 andaluzit \rightarrow 2 staurolit + 3 Q + 4 H₂O
- (17) 75 staurolit + 312 Q \rightarrow 100 almandin + 575 sillimanit + 150 H₂O
- (18) 75 staurolit + 312 Q \rightarrow 100 almandin + 575 andaluzit + 150 H₂O

Descompunerea staurolitului în roci lipsite de Q:

- (19) 2 staurolit \rightarrow almandin + 12 sillimanit + 5 hercinit + 4 H₂O
- (20) 2 staurolit \rightarrow almandin + 12 andaluzit + 5 hercinit + 4 H₂O

Metamorfismul în sistemul KNFASH

Adăugarea K₂O și Na₂O în sistem implică apariția micelor (annit – biotit, muscovit, paragonit), feldspatului potasic, albitului și jadeitului. Muscovitul și paragonitul sunt cunoscute sub denumirea de *mice albe* (*mice dioctaedrice*) și deosebirea între ele se face prin intermediul difractometriei de raze X sau a analizei chimice.

Reacții posibile dacă apa și cuarțul sunt în exces (*Figura nr. 45*):

- (21) 3 clorit + 8 feldspat potasic \rightarrow 5 annit + 3 muscovit + 9 Q + 4 H₂O
- (22) 1 muscovit + 3 clorit + 3 Q \rightarrow 4 almandin + 1 annit + 12 H₂O
- (23) 1 muscovit + 1 annit + 3 Q \rightarrow 1 almandin + 2 feldspat potasic + 2 H₂O
- (24) pargasit + Q \rightarrow albit + silicat de Al + H₂O
- (25) muscovit + Q \rightarrow feldspat potasic + silicat de Al + H₂O
- (26) jadeit + Q \rightarrow albit

Reacții discontinue:

- (27) cloritoid \rightarrow staurolit + granat + clorit
- (28) granat + clorit \rightarrow staurolit + biotit
- (29) staurolit + clorit \rightarrow biotit + silicat de Al
- (30) staurolit \rightarrow granat + biotit + silicat de Al
- (31) staurolit + biotit \rightarrow granat + silicat de Al
- (32) staurolit + clorit \rightarrow silicat de Al + granat
- (33) granat + clorit \rightarrow biotit + silicat de Al

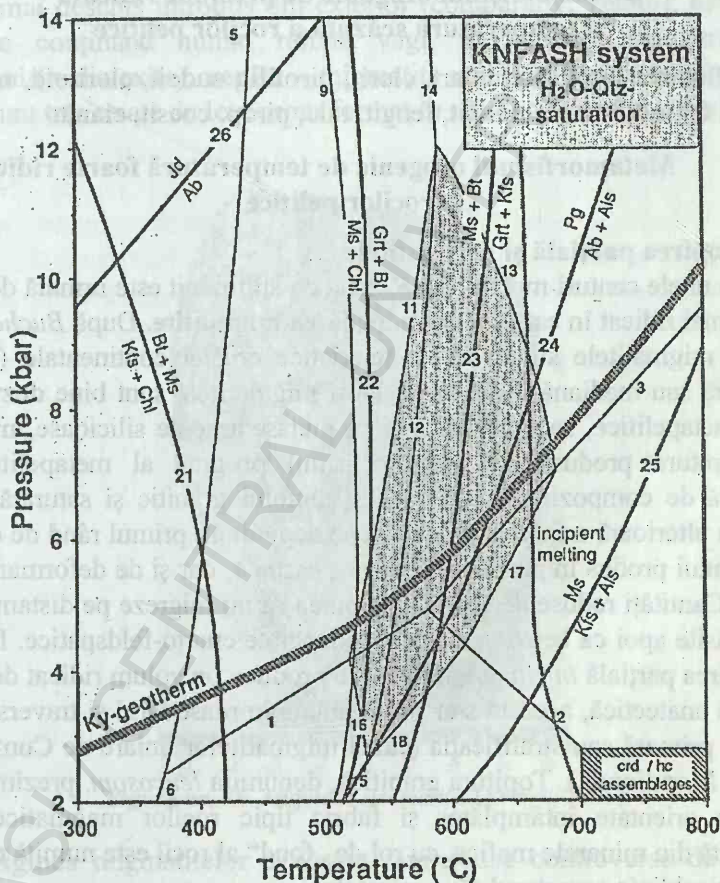


Figura nr. 45. Reacțiile din Sistemul KNFASH (K₂O-Na₂O-FeO-Al₂O₃-SiO₂-H₂O).
Din Spear (1993)

Metamorfismul orogenic de presiune scăzută a rocilor pelitice

Metamorfismul în sistemul KFLASH

Minerale implicate: cuarț, cordierit, spinel (hercinit), ferosilit, feroantofilit, safirin (ferosafirin), osumilit (feroosumilit), feldspat potasic, muscovit, biotit, granat, andaluzit.

Metamorfismul în sistemul KFMASH

Minerale implicate: cuarț, illit (muscovit), clorit, pirofilit (sau caolinit), paragonit, feldspat potasic, cloritoid, biotit, granat, staurolit, cianit (sillimanit).

Metamorfismul orogenic de presiune ridicată și temperatură scăzută a rocilor pelitice

Minerale implicate: cuarț, clorit, pirofilit, sudoit, cloritoid, magnezio-carfolit, ferocarfolit, celadonit, fengit, talc, pirop, coesit, cianit.

Metamorfismul orogenic de temperatură foarte ridicată a rocilor pelitice

Topirea parțială și migmatitele

În unele centuri metamorfice, zona cu sillimanit este urmată de zone cu grad și mai ridicat în care rocile sunt adesea **migmatite**. După *Bucher și Frey* (1994), migmatitele sunt roci caracteristice crustei continentale (în partea inferioară sau mediană a acesteia). Deși migmatitele sunt bine dezvoltate în rocile metapelitice, se pot întâlni și în metasedimente silicioase, metabazite etc. Topitura produsă de metamorfismul prograd al metapelitelor este apropiată de compoziția eutectică a sistemului granitic și saturată în H_2O . Evoluția ulterioară a fazei topite produse depinde în primul rând de cantitatea materialului produs în procesul de topire parțială, dar și de deformare sau alți factori. Cantități reduse de topitură ar putea să nu migreze pe distanțe mari și vor fi găsite apoi ca benzi sau lentile leucocrate cuarțo-feldspatice. Dacă însă prin topirea parțială *in situ* a gnaiselor se produce un volum ridicat de topitură granitică anatectică, aceasta s-ar putea aduna în mase largi și traversa foliația gnaisică primară sau stratificația (cazul migmatitelor liniare de Cumpăna din Carpații Meridionali). Topitura granitică, denumită *leucosom*, prezintă adesea minerale orientate întâmplător și fabric tipic rocilor magmatice. Partea constituită din minerale mafice, cu rol de „fond” al rocii este numită *paleosom* (pentru a sublinia caracterul său mai vechi).

După *Yardley* (1989), tipurile de migmatite variază în funcție de modul în care apare leucosomul. Cel mai adesea, acesta se dispune în strate (de câțiva centimetri grosime) mai mult sau mai puțin paralele cu șistozitatea, cum e cazul **stromatitelor** (migmatite stratificate, Figura nr. 46). După *Spear* (1993), materialul feldspatic sau cuarțo-feldspatic din

stromatite este introdus ca fluid granitic, ca soluții hidrotermale sau ca ioni de difuzie. Mișcarea acestor substanțe este aproape paralelă cu foliația, iar topitura cristalizează, astfel încât creează impresia unei injecții „strat peste strat”. După Rădulescu (1980), dacă roca de fond nu prezintă șistozitate sau clivaj, leucosomul formează pături foarte complexe cutate, contorsionate, numite *cute ptigmatice*. În alte cazuri, cele două componente au o distribuție cu totul neregulată, putându-se întâlni: **agmatite** – migmatite cu structură de brechie, în care fragmentele sunt cimentate de un leucosom subordonat; **arterite** – migmatite unde porțiunile mai închise sunt injectate de vene de material mai deschis introdus din exterior (comparativ, *venite*); **nebulite** – migmatite conținând numai relictate vagi, în general, structurale, ale protolitului (= diatexite); **venite** – migmatite unde porțiunile mai închise la culoare sunt traversate de leucosom format *in situ* (comparativ, arterite).

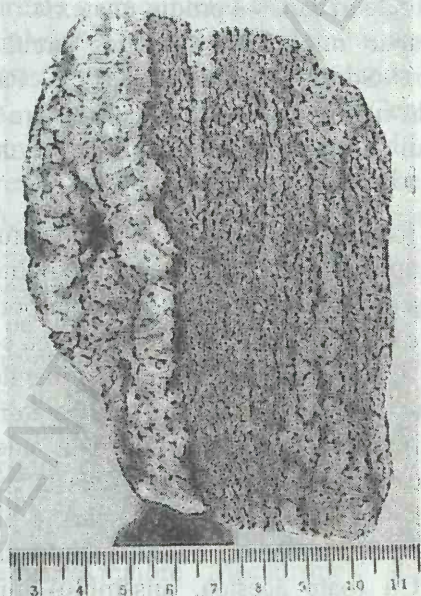


Figura nr. 46. Migmatit stromatitic (Brown, 2001)

Originea migmatitelor a născut numeroase controverse de-a lungul timpului. Diverse opinii din jurul „controversei granitelor”, care a apărut spre sfârșitul anului 1940, vedeau migmatitele fie ca rezultat transformării metasomatice a șisturilor prin migrarea fluidelor, fie ca produsul topirii parțiale (anatexiei) a rocilor preexistente datorită temperaturilor foarte mari atinse în timpul metamorfismului. Cercetările experimentale efectuate de

Winkler et al. (1976) au arătat că metasedimentele încep să se topească, pentru a produce un lichid granitic, la temperaturi ceva mai mari decât cele din zona cu sillimanit a faciesului granulitic și acest proces este fără îndoială responsabil pentru formarea multor migmatite. Pe de altă parte, s-a găsit că leucosomul unor migmatite are compoziții care diferă de cele ale topiturilor obținute experimental; în numeroase cazuri, leucosomul are o compoziție trondjemitică, mai degrabă, decât granitică (i.e. fără feldspat potasic). Este deci foarte probabil ca alte procese, precum diferențierea metamorfică, care implică o soluție și reprecipitarea mineralelor dintr-o fază fluidă, să aibă un rol important în geneza unor migmatite (*Yardley*, 1989).

Migmatitele cu dezvoltare regională nu apar decât în terenuri foarte vechi, precambriene, atât în cadrul scuturilor, cât și în acela al centurilor metamorfice; această observație poate fi interpretată în sensul că numai în aceste terenuri metamorfice exhumarea și/sau eroziunea a reușit să aducă la zi zonele foarte profunde în care s-a produs anatexia.

În România apar migmatite în întreg arcul carpatic: migmatite arteritice în litogrupul Someș, și anume în soclul Pânzei de Finiș-Gârda, migmatite cu structuri nebulitice, flebitice sau oculare în litogrupul Drăgșan sau cele din litogrupul de Lainici-Păiuș (în defileul Jiului) etc.

Granulite

Granulitele se formează în condiții de temperatură ridicată, în timpul metamorfismului regional. În cazuri extreme, granulitele pot fi generate la temperaturi ce depășesc 1000 °C. Unele granulite pot reprezenta reziduuri ale topirii parțiale și câteodată reprezintă roci care nu s-au topit niciodată, în ciuda temperaturilor foarte ridicate, deoarece mineralele componente sunt fără excepție anhidre. În principiu, dacă temperatura depășește valorile tipice faciesului amfibolitic, hornblenda formată anterior se descompune pentru a forma **piroxen rombic** și **cuartș**. Această reacție se produce, de regulă, în metapelite între 750 și 800 °C. Apariția piroxenului rombic în rocile purtătoare de cuarț marchează tranziția dintre faciesul amfibolitic și faciesul granulitic. Cu toate acestea, ansamblul mineralogic diagnostic pentru faciesul de cea mai ridicată temperatură poate fi generat de reacții chimice diferite. Cea mai importantă dintre acestea este cea care înlătură ultimul filosilicat rămas în sistem (**biotitul**), cu formare de **feldspat potasic + piroxen rombic + apă**. În prezența cuarțului, biotitul se descompune în jurul valorii de 800 °C. În aceste condiții anhidre se pot forma și alte minerale precum safirinul, spinelul (hercinit), sillimanitul, corindonul și osumilitul. Ansamblul mineralogic **safirin + cuarț**, care rezultă în urma

reacției dintre **sillimanit** și **piroxen rombic**, indică temperaturi mai mari de 900 °C, iar perechea **osumilit** + **cuarț**, temperaturi de peste 950 °C.

Granulitele sunt asociate deseori gnaiselor, deoarece conțin aproape aceleași minerale, dar, spre deosebire de acestea, sunt fin-granulare, au foliația mai puțin vizibilă și mult mai des bogate în granați. În plus au câteva trăsături microscopice particulare. Feldspatul potasic (reprezentat preponderent de ortoză și, mult mai rar, de microclin) tinde să fie mezopertitic și este frecvent de culoare verde, și nu roz, în timp ce cuarțul coexistent este câteodată albăstrui. Ca minerale accesorii pot fi găsite apatitul, zirconul, oxizii de fier, <http://en.wikipedia.org/wiki/Epidotocordieritul>, epidotul, zoizitul, calcitul, titanitul, sillimanitul, rutilul, turmalina și, mai rar, safirinul și osumilitul. Deși ocazional pot fi întâlnite granule mai largi de feldspat sau cuarț, granulitele conțin, de regulă, minerale de mici dimensiuni și forme imperfecte (niciodată, euhedrale).

O altă particularitate a granulitelor este prezența notabilă a acestora în zonele de scut, precambriene. Pe cuprinsul globului terestru au fost întâlnite granulite în numeroase regiuni precum Finlanda (Finnish Lapland), Germania (Saxonia), Scoția, Africa de Sud (Centura Limpopo), NE Canadei, Brazilia (Provincia Jequie), Madagascar, Sri Lanka, India, Uganda, Italia (Provincia Ivrea), Zimbabwe (Centura Zambesi), SUA (provincia arhaică din Montana), Cratonul Sino-Corean, Antarctica etc.

Fiecare din aceste terenuri are particularități proprii, deși există și câteva similarități deosebite: conținuturi foarte scăzute de H₂O ale rocilor și prezența piroxenilor pe suprafețe vaste. Regiunile din Sri Lanka și Lapland sunt compuse predominant din metasedimente și metavulcanite dezvoltate în faciesul granulitic, în timp ce în Canada abundă plutonii charnockitici (granite cu piroxen rombic). Studiile geochimice au o importanță foarte mare în discutarea originii granulitelor. Unele granulite au conținuturi foarte scăzute în elemente litofile cu raze ionice mari (LILE), cum ar fi Rb, K, U și Th spre deosebire de rocile din crusta superioară cu conținuturi asemănătoare în elemente majore. Mecanismele sugerate pentru această sărăcire includ o diferențiere magmatică primară în acreția crustei, o topire parțială subsecventă și extracția magmelor bogate în elemente litofile cu raze ionice mari, precum și episoade metamorfice de degazeificare. Cercetările recente privind partiția elementelor urmă nu au decis care din aceste mecanisme este operativ pentru sărăcirea în LILE.

În România, au fost întâlnite granulite în Carpații Meridionali: Litogrupul de Sebeș-Lotru sau Litogrupul de Cumpăna (Mărunțiu et al., 1997; Balintoni, 1997; Medaris et al., 2003).

21. METAMORFISMUL REGIONAL AL ROCILOR MAFICE; ECLOGITE

Rocile metamorfice mafice (șisturi verzi, amfibolite, unele granulite, șisturi albastre și eclogite) sunt derivate din roci magmatice mafice, în special bazalte și andezite și mai puțin gabbrouri. Ansamblurile metamorfice găsite în rocile mafice sunt utilizate pentru a defini intensitatea metamorfismului în conceptul faciesurilor metamorfice.

Curgerile de lavă și intruziunile plutonice asociate sunt frecvent întâlnite în secvențele metamorfice. În unele centuri orogenice, predomină roci magmatice bazice (bazalte, gabbrouri), dar se pot întâlni și tufuri sau graywacke de compoziție intermediară. Bazaltele și andezitele sunt larg întâlnite sub forma unor curgeri masive de lavă, pillow – lava, breccii hialoclastice, silluri și dykuri. Rocile bazaltice constituie o porțiune majoră a crustei oceanice și marea majoritate par să fi suportat un metamorfism de fund oceanic imediat după formarea în zona dorsalelor. Transportate spre o margine continentală, rocile oceanice mafice sunt din nou metamorfozate la sau lângă limitele de plăci convergente. Schimbarea mineralogiei diferă în cazul subducției crustei oceanice sub crusta continentală față de obducția acestora peste crusta continentală.

Pe o arie largă de condiții metamorfice P-T, rocile metabazice sunt dominate de amfiboli și acestea se numesc *amfibolite*. Amfibolitele se pot forma, de asemenea, prin metamorfismul unor sedimente care conțin minerale argiloase smectice și carbonați.

Distincția dintre ortoamfibolite și paraamfibolite a fost discutată pe larg în trecut, dar un englez pe nume *Leake* (1964) a arătat că deși compoziția chimică a unei probe nu poate permite în mod neechivoc identificarea materialului parental, tendința chimică obținută când o suită de analize din amfibolite este reprezentată pe diagrame de variație chimică, poate permite distingerea protoliților magmatici de cei sedimentari.

Rocile bazice arată diferențe importante în metamorfismul lor când sunt comparate cu sedimentele pelitice.

În primul rând, ansamblul mineralogic magmatic inițial este constituit din minerale anhidre stabile la temperaturi ridicate. Ca rezultat, primele schimbări care au loc când rocile magmatice sunt îngropate și încălzite în

mijlocul unei secvențe sedimentare, implică formarea unor minerale hidratate stabile la temperaturi scăzute.

Extensia acestor reacții retrograde depinde de cantitatea de apă care poate să penetreze aceste roci (deformarea facilitează influxurile de apă). În timp ce tufurile permeabile pot să nu rețină mineralele originale, curgerile de lave masive din apropiere și dyke-urile (metamorfozate) pot să păstreze cantități semnificative de minerale magmatice.

A doua diferență majoră dintre metapelite și metabazite se referă la tipul ansamblurilor mineralogice și reacțiile ce pot să apară. Rocile metabazice la majoritatea câmpurilor de PT conțin un număr relativ mic de minerale. Multe dintre acestea sunt soluții solide, iar pe o diagramă petrogenetică pot fi puține izograde.

Apariția microsondei electronice (1960) a dus la progresul rapid al cunoașterii rocilor metabazice.

MINERALE CARACTERISTICE.

PARAGENEZE CARACTERISTICE ALE METABAZITELOR DIN CELE 10 FACIESURI

Metamorfismul de grad scăzut

În faciesul zeolitic:

Metabazitele din acest facies au fost descrise cel mai bine în Noua Zeelandă; s-au observat două zone, cu laumontit și cu heulandit.

În faciesul Prehnit-Pumpellyit:

Metabazite cu : Prehnit + Pumpellyit; Pumpellyt + Actinot, Clorit, Albit, Epidot

În România, faciesul prehnit-pumpellyit se întâlnește în bazitele-ultrabazitele din Munții Parâng și în corneenele cu silicați de Ca, la contactul cu serpentinitele (de altfel, acolo a fost descris pentru prima dată în lume lotritul de *Murgoci*, 1900, fide *Udubașa et al.*, 1992), cunoscut însă azi ca pumpellyit (*Rădulescu*, 1961). De asemenea, acest facies este cunoscut în *mélange* ofiolitic cu bazalte în Pânza de Severin din Platoul Mehedinți (*Mărunțiu*, 1987; *Ciulavu et al.* 2001).

Tabelul nr. 4 Mineralele din metabazite caracteristice faciesurilor metamorfice

<i>MINERALE CARACTERISTICE</i>	<i>FACIESURI</i>
<i>Actinot, Albit, Epidot, Clorit</i>	<i>Faciesul șisturilor verzi</i>
<i>Hornblendă + Albit + Epidot + Clorit</i>	<i>Faciesul amfibolitelor cu epidot</i>
<i>Hornblendă + Plagioclaz (minim 17%An)</i>	<i>Faciesul amfibolitic</i>
<i>Cpx + Opx + Plagioclaz</i>	<i>Faciesul corneenelor cu Px</i>
<i>Minerale stabile la T ridicate Sanidină + Cpx + Opx</i>	<i>Faciesul sanidinitic</i>
<i>Laumontit + Heulandit</i>	<i>Faciesul zeolitic</i>
<i>Prehnit + Pumpellyit Pumpellyit + Actinot, Clorit, Albit, Epidot</i>	<i>Faciesul prehnit, pumpellyit</i>
<i>Glaucofan, Px jadeitic, epidot, lawsonit, fengit; fără biotit</i>	<i>Faciesul șisturilor cu glaucofan</i>
<i>Omfacit (Px) + Granat</i>	<i>Faciesul eclogitic</i>
<i>Cpx + Opx + Plagioclaz</i>	<i>Faciesul granulitic</i>

Metamorfismul de grad mediu

În faciesul șisturilor verzi și faciesul amfibolitelor:

AMFIBOLIT: rocă metamorfică cu chimism femic sau intermediar-bazic, alcătuită din cel puțin 75% amfibol (de culoare verde, maro sau negru) și plagioclaz. Alți componenți majori sau minori pot fi: Q, Cpx, zoizit, granat, biotit.

Deși limita inferioară de T pentru faciesul șisturilor verzi este bine definită prin descompunerea pumpellyitului, schimbările din metabazite în cadrul faciesurilor șisturilor verzi și amfibolitic sunt rezultatul unor reacții continue și nici un sistem experimental simplu nu are relevanță în legătură cu acest subiect.

Prin urmare, condițiile metamorfice din aceste două faciesuri sunt mai bine definite de ansamblurile pelitice decât de ansamblurile din metabazite.

În faciesul granulitic:

GRANULIT: rocă metamorfică de grad ridicat de metamorfism, ce conține asociațiile mineralogice ale faciesului granulitic (este critică prezența plagioclazului și absența muscovitului) și derivată din protoliți cu

chimism cuarțo-feldspatic sau bazic. Compoziția mineralogică trebuie indicată prin adăugarea constituenților majori.

Nu este nici un dubiu că granulitele bazice se formează la T foarte ridicate, deoarece sunt caracterizate de transformarea amfibolului în Px și de topirea parțială a rocilor pelitice.

Studiile experimentale efectuate pentru determinarea T necesare trecerii de la amfibolite la granulite arată $T=770-790^{\circ}\text{C}$.

Granulitele bazice se formează la $T=700-1000^{\circ}\text{C}$.

Unii cercetători au indicat $T=1250^{\circ}\text{C}$.

Metamorfismul de grad ridicat

În faciesul sisturilor cu glaucofan:

ȘIST CU GLAUCOFAN (șist albastru = blueschist): rocă șistoasă a cărei culoare albăstruieste este datorată prezenței amfibolilor sodici ai metamorfismului de P ridicată, cum ar fi glaucofan, crossit, Mg-riebeckit.

Exemplu:

- șist cu lawsonit și jadeit
- șist cu epidot și granat.

Metabazite din acest facies au fost descrise tipic în Noua Caledonie (S-V Pacific) în California, Washington (SUA), în Sifnos Arhipelagul Cicladelor, Alpii Italiani (N- Torino), zona Sesia.

În România, glaucofanul a fost identificat în zăcămintele manganifere de la Iacobenii (Rădulescu, 1962). Paulina Hârtoapanu (2004) confirmă și arată că Seria de Tulgheș, polimetamorfică, a trecut printr-un M4 de HP/LT.

În faciesul Eclogitic:

ECLOGIT (termen introdus de Haüy în 1822)

Rocă de compoziție bazică: gabbroică-bazaltică (pot proveni chiar și din marne) lipsită de plagioclaz și compusă $\geq 75\%$ din omfacit și granat.

Mineralogie esențială:

- omfacit (cpx verde)
- + granat (roșu-brun)
- + constituenți minori
- + m. accesorii

OMFACIT – soluție solidă cu:

Diopsid	Ca Mg [Si ₂ O ₆]	(Di)
Jadeit	Na Al [Si ₂ O ₆]	(Jd)
Egirin (<i>Acmit</i>)	NaFe ³⁺ [Si ₂ O ₆]	(Aeg)
Hedenbergit	Ca Fe [Si ₂ O ₆]	(Hd)
Cosmoclор (<i>Ureyit</i>)	Na Cr [Si ₂ O ₆]	
Ca-Tschermak px	Ca Al [SiAlO ₆]	(CaTs)
Ca-Eskola px	Ca _{0.5} Al [Si ₂ O ₆]	(CaEs)

GRANAT – soluție solidă cu:

Pirop	Mg ₃ Al ₂ [SiO ₄] ₃	(Prp)
Almandin	Fe ₃ Al ₂ [SiO ₄] ₃	(Alm)
Spessartin	Mn ₃ Al ₂ [SiO ₄] ₃	(Sps)
Uvarovit	Ca ₃ Cr ₂ [SiO ₄] ₃	(Uvr)
Grossular	Ca ₃ Al ₂ [SiO ₄] ₃	(Grs)
Andradit	Ca ₃ Fe ₂ [SiO ₄] ₃	(Adr)

Corpuri de eclogite au fost întâlnite în numeroase regiuni ale lumii (ex.: în Norvegia, la vest de Trondheim; în România, în Munții Leaota etc). Unele eclogite conțin Px rombic și pentru acestea cantitatea de Al₂O₃ dizolvată în Px rombic poate fi utilizată ca indicator de presiune.

S-a demonstrat că, cel mai probabil, eclogitele se formează la $P > 12$ Kbari.

22. METAMORFISMUL DE GRAD FOARTE RIDICAT (METAMORFISMUL DE PRESIUNE ULTRAÎNALTĂ)

Metamorfismul de presiune ultraînaltă a fost definit în 1995 de către *Coleman și Wang* și reprezintă un tip de metamorfism care apare la presiuni foarte ridicate în faciesul eclogitic. Mineralele caracteristice sunt *coesitul* și *diamantul*. Este tipic pentru centurile orogenice colizionale.

În 1984, *Chopin* a descoperit pentru prima dată coesit în roci din crusta continentală în regiunea Dora Maira din Alpii Italiani.

În 1990, *Sobolev și Shatsky* au pus în evidență incluziuni de diamante în granații unor roci metamorfice din Kazahstan.

În 1997, *Green et al.* au identificat incluziuni de ilmenit în olivina rocilor din Alpii Centrali (aceasta înseamnă că rocile au atins adâncimi de peste 300 km).

DISTRIBUȚIA MONDIALĂ A METAMORFISMULUI DE PRESIUNE ULTRAÎNALTĂ

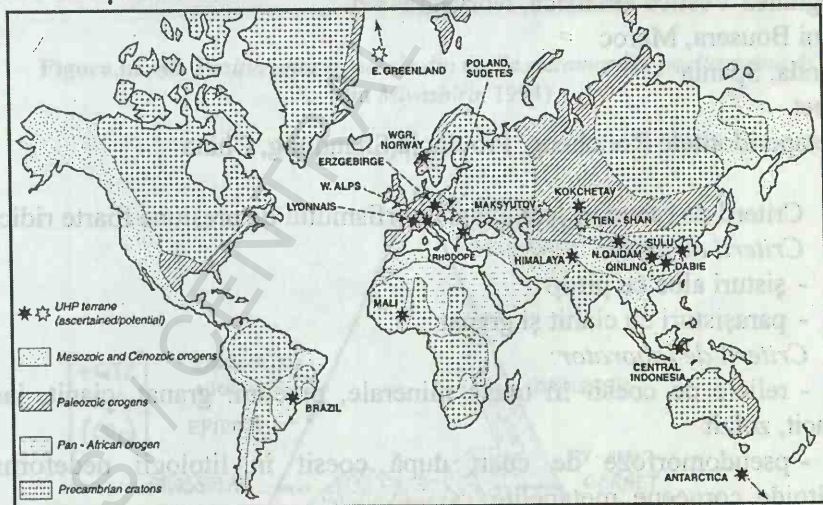


Figura nr. 47. Distribuția mondială a metamorfismului de presiune ultraînaltă (UHPM) – *Chopin* (2003)

A – Coesit ± microdiamante**- Alpii Vestici Italiani**

Unitatea Brossasco-Isasca din Masivul Peninic Dora-Maira

Lago di Cignana. Valtournenche, Domeniul Intern din Piemont

- Regiunea Vestică Gnaiscă, Norvegia Caledonică
- Masivul Kokchetav, NW Kazahstan
- Orogenul Qinling-Dabie-Su Lu, China central-estică
- Partea nordică a statului Mali, Africa
- Masivul Central Francez

B – Pseudomorfoze de cuarț după coesit

- Masivul Boem
- Complexul Maksyutov, partea sudică a Munților Urali
- Formațiunea Makbal, Vestul Riftului Kirghiz, Asia centrală
- Munții Leaota, România (Săbău, 2000)

C – Roci Metaultramafice ($P > 50$ kbari)

- Alpe Arami, Alpii Centrali
- Masivul Boem
- Regiunea Vestică Gnaiscă, Norvegia
- Beni Bousera, Maroc
- Ronda, Spania
- Tibet
- Metaperidotitele Roncheng, Provincia Shandong, China

Criterii de recunoaștere a metamorfismului de presiune foarte ridicată:

Criterii de teren:

- șisturi albe cu pirop
- parașisturi cu cianit și granat

Criterii de laborator:

- relice de coesit în unele minerale, precum: granat, cianit, jadeit, omfacit, zoizit
- pseudomorfoze de cuarț după coesit în litologii nedeformate: granitoide, corneene, metapelite
- jadeit + cianit în metapelite
- granat coronitic în jurul biotitului (în roci nedeformate)
- granat „saussuritic” în pseudomorfoze după plagioclaz
- cianit (disten) în eclogite

Aceste criterii sunt tipice pentru Unitatea Brossasco – Isasca din Alpii Italiani, dar în Masivul Kokchetav din Kazahstan, metamorfismul de presiune ultraînaltă este caracterizat de prezența următoarelor minerale: microdiamant, coesit, aragonit, piroxen monoclinic cu conținut ridicat de K_2O (1.5 %), titanit, zircon, granat zonat, fengit, flogopit, Ti-clinohumit și rutil.

Pentru reprezentarea grafică a metabazitelor se folosesc diagramele ACF.

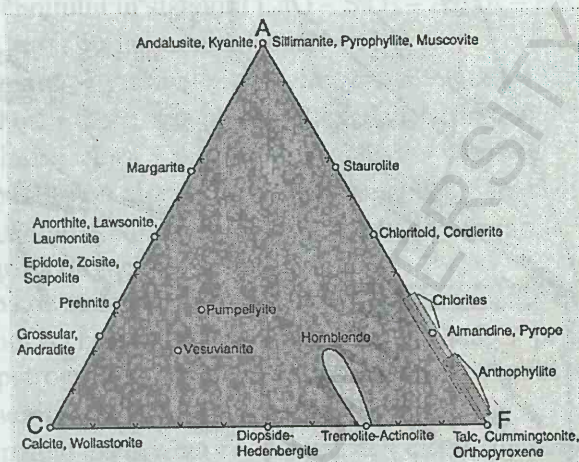


Figura nr. 48. Poziția unor minerale din rocile metamorfice pe diagrama ACF (din Miyashiro, 1994)

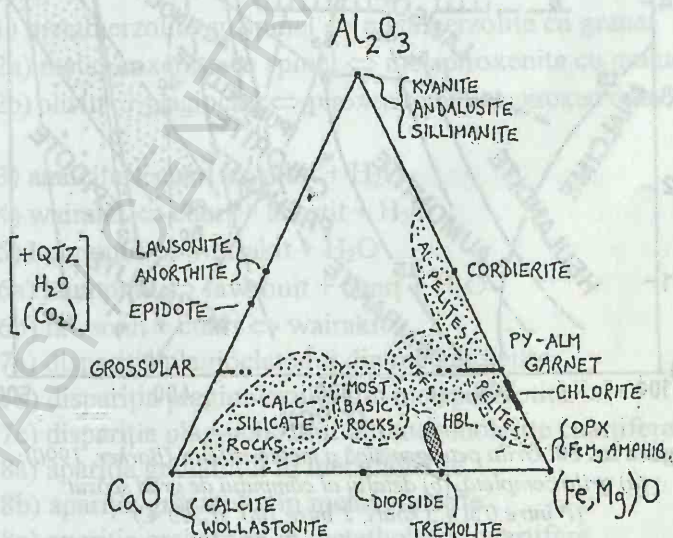
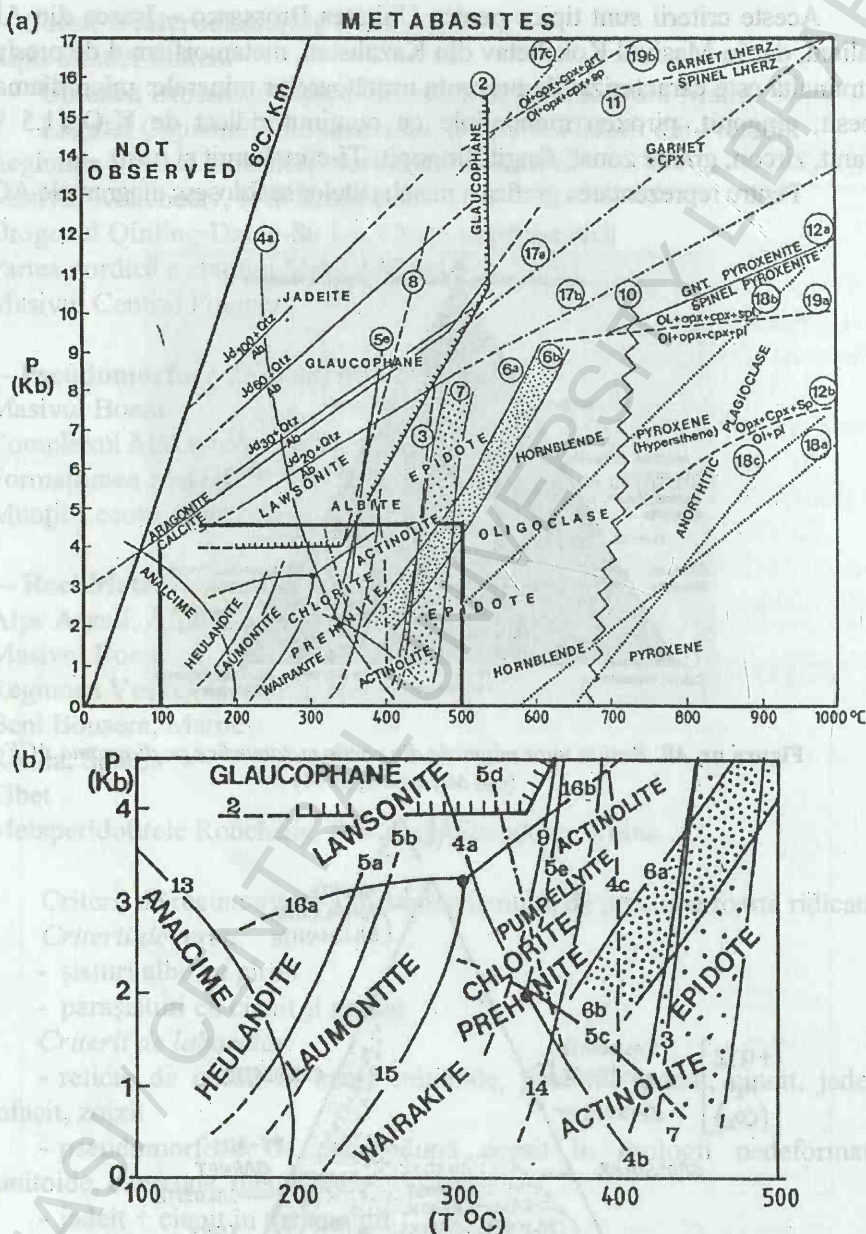


Figura nr. 49. Poziția metabazitelor pe diagrama ACF (Brodie, 1998)



- (1) transformarea aragonit \Leftrightarrow calcit
- (2) câmpul de stabilitate maximă al glaucofanului natural
- (3) stilpnomelan + muscovit \Leftrightarrow biotit + muscovit
- (4a) prehnit + clorit \Leftrightarrow pumpellyit + actinot + cuarț
- (4b) prehnit + clorit \Leftrightarrow pumpellyit + actinot + clinozoizit
- (4c) prehnit \Leftrightarrow zoizit + grossular + cuarț + H_2O (limita maximă de stabilitate a prehnitului în sistemul $CaO - SiO_2 - Al_2O_3 - H_2O$)
- (5a) heulandit \Leftrightarrow laumontit + cuarț + H_2O
- (5b) laumontit + pumpellyit \Leftrightarrow clinozoizit + cuarț + H_2O
- (5c) prehnit + clorit + cuarț \Leftrightarrow clinozoizit + tremolit + H_2O
- (5d) prehnit + clorit + cuarț \Leftrightarrow pumpellyit + tremolit + H_2O
- (5e) pumpellyit + clorit + cuarț \Leftrightarrow clinozoizit + tremolit + H_2O
- (5f) glaucofan + clinozoizit + cuarț + H_2O \Leftrightarrow tremolit + clorit + albit
- (6a) apariția oligoclazului în sistem
- (6b) zona de stabilitate a 2 plagioclazi de compoziție diferită
- (7) actinot \Leftrightarrow hornblendă (zonă de tranziție dedusă pe baza observațiilor petrografice, geotermometrice și geobarometrice)
- (8) lawsonit \Leftrightarrow zoizit + margarit + cuarț + H_2O
- (9) pumpellyit magnezian \Leftrightarrow clinozoizit + clorit + grossular + cuarț + H_2O
- (10) apariția hiperstenului în sistem (corespunde adesea cu dispariția hornblendei)
- (11) metalherzolite cu spinel \Leftrightarrow metalherzolite cu granat
- (12a) metapiroxenite cu spinel \Leftrightarrow metapiroxenite cu granat
- (12b) olivină + plagioclaz \Leftrightarrow piroxen rombic + piroxen monoclinic + spinel
- (13) analcim + cuarț \Leftrightarrow albit + H_2O
- (14) wairakit \Leftrightarrow cuarț + anortit + H_2O
- (15) laumontit \Leftrightarrow wairakit + H_2O
- (16a) laumontit \Leftrightarrow lawsonit + cuarț + H_2O
- (16b) lawsonit + cuarț \Leftrightarrow wairakit
- (17a) dispariția plagioclazului din metatholeiite
- (17b) dispariția plagioclazului din metaperidotite
- (17c) dispariția plagioclazului din metatholeiite cuarțifere
- (18a) apariția granatului în metatholeiite
- (18b) apariția granatului în metaperidotite
- (18c) apariția granatului în metatholeiite cuarțifere

(19a) olivină + plagioclaz + piroxen rombic + piroxen moniclinic \Leftrightarrow plagioclaz + piroxen monoclinic + piroxen rombic + spinel (în metaperidotite)

(19b) olivină + spinel + piroxen rombic + piroxen moniclinic \Leftrightarrow olivină + piroxen monoclinic + piroxen rombic + granat (în metaperidotite)

După Miyashiro (1994), metabazitele au raportul $A/NKC < 1$, unde $A = Al_2O_3$ (exprimat ca raportul dintre valoarea în procente de greutate obținută din analiza chimică și masa moleculară), $N = Na_2O$, $K = K_2O$ și $C = CaO$ (N , K și C se calculează precum parametrul A). În opinia autorului, în acest caz, se poate reprezenta compoziția chimică a rocii pe diagrama ACF (Figura nr. 49), unde parametrii A , C și F sunt cei propuși de Eskola în 1915: $A = Al_2O_3 + Fe_2O_3 - (Na_2O + K_2O)$, $C = CaO$, iar $F = FeO + MgO + MnO$.

23. GEOTERMOMETRIA ȘI GEOBAROMETRIA ROCILOR METAMORFICE

Când schema faciesurilor metamorfice a fost, pentru început, dezvoltată, geologii aveau o mică idee despre valorile absolute ale presiunii și temperaturii pe care le puteau atinge rocile supuse metamorfismului. Odată cu dezvoltarea tehnicilor instrumentale pentru studiul echilibrelor de fază mineralogice la temperaturi și presiuni înalte în anii 1950 și 1960, au fost definite și condițiile de formare ale multor ansambluri mineralogice naturale. În prezent, avem o imagine rezonabilă a valorilor de presiune și temperatură necesare pentru formarea mării majorității a rocilor. Indicatorii mineralogici pentru P și T din timpul metamorfismului sunt cunoscuți ca geobarometri și geotermometri.

Există mai multe căi de aflare a condițiilor P-T de formare a unui ansamblu mineralogic odată ce s-a stabilit că acel ansamblu s-a format la echilibru. Cele mai utilizate metode se bazează pe reacțiile metamorfice, care pot fi univariante, continue sau cu schimb de cationi. În mod evident, cele mai folosite reacții pentru stabilirea presiunii sunt acelea care au loc la aproximativ aceeași presiune pe un interval larg de temperatură, iar cele mai uzitate reacții pentru stabilirea temperaturii metamorfismului sunt acelea care au loc la aproximativ aceeași temperatură pe un interval larg de presiune.

Geotermometria în sistemele minerale

Știința care se ocupă cu măsurarea temperaturii la care s-au format, pe cale naturală, mineralele formatoare de roci și minereuri, și cu interpretarea geologică a rezultatelor se numește *geotermometrie*.

În geotermometria clasică, este extrem de importantă determinarea compoziției chimice a mineralelor, iar cele utilizate în acest scop sunt numite geotermometre.

Temperatura exercită o mare influență asupra cristalizării mineralelor din soluții.

Mineralele cu un conținut bogat în apă sunt stabile la T mai joase, în timp ce acele anhidre sau cu un conținut mic în apă sunt stabile la T mai ridicate.

Apariția sau dispariția unui mineral sau a unei parageneze de minerale la o anumită T este rezultatul unor transformări însoțite de unele reacții între diferiți componenți ai mineralelor.

Geobarometria în sistemele minerale

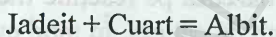
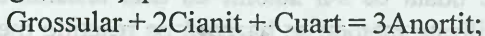
Geobarometria este știința care se ocupă cu măsurarea presiunii la care s-au format, pe cale naturală, mineralele formatoare de roci și minereuri și cu interpretarea geologică a rezultatelor.

Un geobarometru este un echilibru chimic scris între minerale, care este sensibil la modificările de presiune, din cauza diferențelor mari de volum dintre reactanți și produsele lor de reacție.

Cele mai bune geobarometre au o pantă redusă a dP/dT pe o diagramă $P-T$ și pot fi calibrate prin experimente precise a echilibrului fazei sau pe date termochimice credibile.

Ansamblurile minerale alese trebuie să se găsească în tipuri comune de roci pe un larg interval de temperatură și presiune.

Multe barometre de succes depind de contrastul dintre volumul molar mare al feldspatului (anortit sau albit) și a unui membru final al unei faze dense, precum granatul și piroxenul:



Aceste echilibre chimice între minerale se folosesc ca geobarometre. În rocile în care feldspatul nu apare, așa cum este cazul în eclogite, se folosesc echilibrele chimice între alte minerale.

Geobarometrele au fost concepute și în funcție de variația compoziției chimice a unui mineral cu presiunea.

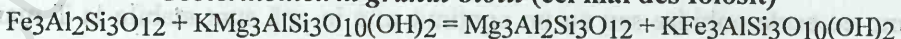
Geotermometre bazate pe reacții de schimb ionic

Reacțiile de schimb implică rocada dintre doi atomi similari între diferite poziții :

- dintr-un mineral (schimb intracristalin);
- sau între două minerale (schimb intercristalin);

Atomii pot fi elemente cu sarcini și raze ionice identice sau un izotop stabil.

Geotermometrul granat-biotit (cel mai des folosit)



almandin

flogopit

pirop

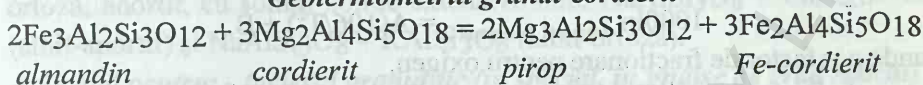
annit

Observații:

Abundența Mg în metamorfite este direct proporțională cu T (Frost, 1962; Perchuk, 1968)

Domeniul de aplicabilitate: **faciesul amfibolitic**

Geotermometrul granat-cordierit



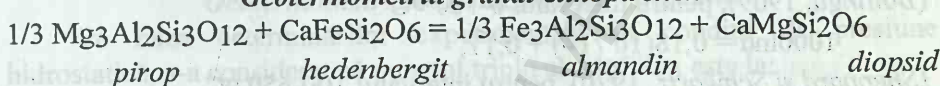
Expresia termodinamică:

$$T(^{\circ}\text{C}) = [2725 + 15,5P(\text{kbar})]/(\ln KD + 0,896) - 273,$$

unde KD (coeficient de distribuție) = $(\text{Fe}/\text{Mg})_{\text{Grt}}/(\text{Fe}/\text{Mg})_{\text{Crd}}$

Domeniul de aplicabilitate: **faciesul granulitic**

Geotermometrul granat-clinopiroxen



Expresia termodinamică a reacției este:

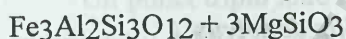
$$T(^{\circ}\text{C}) = [3030 + 10,86P(\text{kbar}) + 3104X_{\text{CaGrt}}]/(\ln KD + 1,9034) - 273,$$

unde KD (coeficient de distribuție) = $(\text{Fe}^{2+}/\text{Mg})_{\text{Grt}}/(\text{Fe}^{2+}/\text{Mg})_{\text{Cpx}}$

Aplicabil pentru:

- **faciesul granulitic,**
- **faciesul eclogitic** de temperatură ridicată.

Geotermometrul granat-ortopiroxen $\text{Mg}_3\text{Al}_2\text{Si}_3\text{O}_{12} + 3\text{FeSiO}_3 =$



pirop ferosilit almandin enstatit

Ecuția termodinamică:

$$T(^{\circ}\text{C}) = [1882 + 705X_{\text{Ca}} + 11,50P(\text{kbar})]/(\ln KD + 0,986) - 273$$

unde KD = $(\text{Fe}/\text{Mg})_{\text{Grt}}/(\text{Fe}/\text{Mg})_{\text{Opx}}$

$X_{\text{Ca}} = \text{Ca}/(\text{Fe} + \text{Mn} + \text{Mg} + \text{Ca})$ în granat.

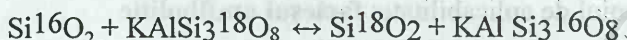
Aplicabil pentru: **faciesul granulitic și eclogitic.**

Geotermometrul izotopic Geotermometrul izotopic se bazează pe dependența de temperatură a echilibrului izotopilor stabili ușori (tipic pentru C, O, S) între două faze coexistente.

Schimbările izotopice nu sunt caracterizate de o modificare de volum, ceea ce înseamnă că sunt independente de presiune.

Geotermometrul izotopilor de oxigen

Geotermometru bazat pe schimbul de izotopi ^{16}O - ^{18}O din perechea cuarț-feldspat:



$$\alpha_{A-B} = (^{18}\text{O}/^{16}\text{O})_A (^{18}\text{O}/^{16}\text{O})_B^{-1},$$

$$1000 \ln \alpha_{\text{mineral 1-mineral 2}} = A(10^6/T^2) + B,$$

unde α = factor de fracționare pentru oxigen,

A, B = constante determinate experimental (Clayton și Kieffer, 1991).

Aplicabil pentru toate domeniile metamorfe, mai puțin cele de intensitate mare.

Geotermometrul izotopilor de carbon

$$1000 \ln \alpha = -2,988(10^6/T^2) + 7,6663(10^3/T) - 2,4612$$

(Bottinga, 1969), pentru intervalul 0-700 °C

$$1000 \ln \alpha = 0,18(10^6/T^2) + 0,17,$$

(Sheppard și Schwartz, 1970), pentru intervalul 100-650 °C

$$\Delta \text{calcit-grafit} = 0,00748T(^{\circ}\text{C}) + 8,68$$

(Valley și O'Neil, 1981), valabile în intervalul 610-760 °C

$$\Delta \text{calcit-grafit} = 5,6(10^6/T^2) - 2,4$$

(Wada și Suzuki, 1983), pentru intervalul 400-680 °C

$$\Delta \text{dolomit-grafit} = 5,9(10^6/T^2) - 1,9$$

(Wada și Suzuki, 1983), pentru intervalul 400-680 °C

Geotermometre bazate pe reacțiile de solvus

Mineralele cu structură similară formează soluții solide la temperaturi înalte și nu sunt miscibile la temperaturi scăzute.

În domeniile subsolvus, micile schimbări din compoziția mineralelor corespund unor diferențe moderate ale temperaturii.

Geotermometrul ortopiroxen-clinopiroxen

Geotermometrul cu doi piroxeni este bazat pe distribuția Ca și Mg între clinopiroxenul și ortopiroxenul coexistenți (solvusul enstatit-diopsid).

Ecuația termodinamică:

$$T(^{\circ}\text{C}) = 7341/(\ln K + 3,355 + 2,44X_{\text{Fe}}) - 273, \text{ (Wells, 1977)}$$

unde $X_{\text{Fe}} = \text{Fe}/(\text{Fe} + \text{Mg})$ în ortopiroxen,

K (constanta de echilibru) = $a(\text{en}, \text{Opx})/a(\text{di}, \text{Cpx})$,

a = activitatea mineralului

Aplicabil: - faciesul granulitic

Geotermometrul calcit-dolomit

***Aplicabil - în metamorfismul regional, faciesul șisturilor verzi,
- în metamorfismul de contact, unde timpul de răcire a fost redus.***

Geotermometrul plagioclaz-feldspat alcalin (bifeldspatic)

Cei mai mulți feldspați sunt bine reprezentați de trei componenți albit, ortoază, anortit, cu soluții solide extensive între $\text{NaAlSi}_3\text{O}_8$ – $\text{CaAl}_2\text{Si}_2\text{O}_8$ (albit-anortit) și $\text{NaAlSi}_3\text{O}_8$ – KAlSi_3O_8 (albit-ortoază).

Aplicabil pentru: - faciesul granulitic (în special, în gnaise de grad ridicat)

Geotermometrul muscovit-paragonit

Aplicabil pentru: rocile de presiune ridicată și/sau temperatură scăzută, în care muscovitul are <3.05 atomi Si pe unitatea de formulă

Geotermometrul andaluzit-cianit-sillimanit

Pe baza determinărilor experimentale în condiții de presiune hidrostatică, s-a considerat că punctul triplu al Al_2SiO_5 este la:

- 500°C și 3,8 kbar (Holdaway, 1971),

- $504 \pm 20^\circ\text{C}$ și $3,75 \pm 0,25$ kbar

(Holdaway and Mukhopadhyay, 1993).

Determinările experimentale și de teren arată că Fe^{3+} și Mn^{3+} au un efect asupra relațiilor de stabilitate a polimorfilor Al_2SiO_5 între 564-796 $^\circ\text{C}$ ($\pm 25^\circ\text{C}$) și 5-10 kbar.

Un punct triplu unic al Al_2SiO_5 există doar pe grilele petrogenetice la aproximativ 4 kbar și 500 $^\circ\text{C}$, dar depinzând de gradul de „fibrolitizare” al sillimanitului și de variația conținutului de metal a silicaților de aluminiu. ***Aplicabil doar pentru metapelite.***

Geobarometrul calcit-aragonit

Aplicarea reacției de echilibru calcit-aragonit pentru rocile metamorfice este complicată de anumiți factori dintre care amintim:

Aragonitul este o fază larg distribuită în unele roci formate în condiții de presiune ridicată ale metamorfismului de tip Franciscan din California, dar nu este comună în alte terenuri cu șisturi albastre. Această observație este datorată ratelor ridicate de reacție, ceea ce înseamnă că pe parcursul „exhumării” rocilor cu aragonit, acestea trebuie să intre în câmpul de stabilitate al calcitului între 125 și 175 $^\circ\text{C}$ (Bucher și Frey, 2002).

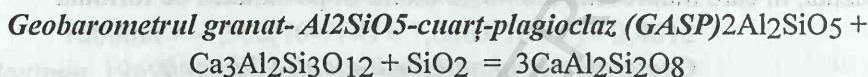
Creșterea metastabilă a aragonitului în formațiunile Franciscane și conversia spre calcit este un fenomen bine cunoscut și se pune problema

dacă aragonitul metamorfic se poate forma în afara câmpului său de stabilitate. S-a demonstrat că aragonitul se poate forma în locul calcitului la presiuni mult mai joase, dacă este precipitat din fluide cu alți ioni dizolvați.

Condițiile de stabilitate calcit-aragonit sunt influențate și de energia deformațională.

Poate fi aplicat pentru rocile de presiune ridicată unde aragonitul este asociat cu jadeit.

Geobarometrul cuarț-coesit Prezența coesitului indică medii de formare a rocilor metamorfice în condiții barice foarte accentuate (25-30 kbar, în condiții statice, la adâncimi de peste 75 km).



cianit grossular cuarț anortit

Ecuția termodinamică a reacției:

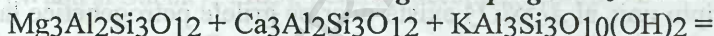
$$0 = -48,357 + 150,66T(K) + (P-1)(-6,608) + RT \ln K,$$

unde R = constanta universală a gazelor, K = constanta de echilibru.

Domeniul de aplicare:

- *faciesul amfibolitic,*
- *faciesul granulitic.*

Geotermobarometrul granat-plagioclaz-muscovit-biotit



pirop grossular muscovit



anortit flogopit

$$\Delta G = 0 = 1482 - 4067T + 1,738(P-1), \text{ unde } \Delta CP = 0, \Delta V_{\text{solide}} = \text{constant.}$$



almandin grossular muscovit anortit



annit

$$\Delta G = 0 = 28849 - 37,23T(K) + 1,802[P(\text{bar})-1], \text{ unde } G = \text{energia liberă Gibbs, CP} = \text{capacitatea calorică la P constant.}$$



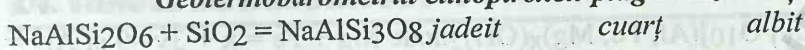
almandin flogopit pirop



annit

Aplicabil pentru rocile din *faciesul amfibolitic* și *faciesul granulitic* însă nerecomandat de Bucher și Frey, 1994.

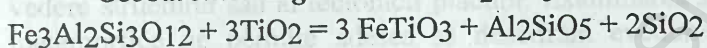
Geotermobarometrul clinopiroxen-plagioclaz-cuarț



Aplicabilitate pentru:

- *faciesul șisturilor albastre,*
- *± partea inferioară a faciesului eclogitic.*

Geobarometrul granat-rutil- Al_2SiO_5 -ilmenit-cuarț (GRAIL)



almandin rutil ilmenit cuarț

Aplicabil pentru metapelitele din:

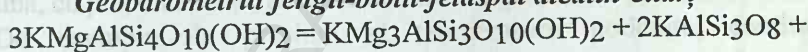
- *faciesul amfibolitic,*
- *faciesul granulitic.*

Geobarometrul sfalerit-pirotină-pirită

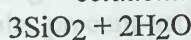
Metodă bazată pe conținutul de Fe din sfalerit aflat în echilibru cu pirită și pirotina hexagonală.

Aplicabil pentru temperaturi între 300 și 750 °C.

Geobarometrul fengit-biotit-feldspat alcalin-cuarț



celadonit flogopit ortoza



cuarț

(Massonne și Schreyer, 1987)

Aplicabil pentru rocile de grad inferior și mediu. S-au obținut rezultate foarte bune și pentru metagranitele din faciesul eclogitic.

Geobarometrul Si^{4+} din Fengit

În rocile metamorfice metapelitice cu biotit, feldspat potasic și cuarț, mica albă nu are, în general, compoziția muscovitului $\text{K}[\text{Si}_3\text{AlO}_{10}]\text{Al}_2(\text{OH})_2$. Ea corespunde, în marea majoritate a cazurilor, unei soluții solide de muscovit-celadonit $\text{K}[\text{Si}_4\text{O}_{10}]\text{Al}(\text{Mg, Fe})(\text{OH})_2$. În realitate, această soluție solidă nu este completă și compoziția naturală a micii albe potasice evoluează între polul muscovit și polul fengit. Această evoluție este caracterizată de o substituție a Al de către Si în pozițiile

tetraedrice și a Al de către Fe și Mg în pozițiile octaedrice, astfel încât echilibrul electrostatic să fie menținut. Formula generală a acestor mîce albe este următoarea:

$K[Si_3Al(4-y)O_{10}](Al, Fe, Mg)_x(OH)_2$ unde $Mg + Fe = x + 3y - 9$ și $Al^6 = 9 - x - 2y$

și $3 < y < 4$ În funcție de ocuparea pozițiilor tetraedrice de către Si, compoziția mîcei albe potasice în echilibru cu feldspat potasic, biotit și cuarț pentru $pH_2O = P_{totală}$, constituie un excelent geobarometru.

24. TRASEE METAMORFICE P-T-t

Tectonica plăcilor, Metamorfismul și Timpul

Anumite faciesuri metamorfice indică medii particulare din punct de vedere structural sau al tectonicii plăcilor. Examinarea structurală a rocilor metamorfice ne permite adesea să descifrăm evenimentele metamorfice desfășurate în trecutul geologic și să interpretăm istoria tectonică a unei roci. Acestea pot fi reprezentate luând în calcul cei mai importanți factori care influențează formarea rocilor metamorfice: presiunea – P, temperatura – T și timpul – t. Reprezentarea grafică a istoriei metamorfice a unei roci este numită traseu (curbă) P-T-t.

Metamorfismul nu este un eveniment singular, ci, mai degrabă, el reprezintă un efect cumulat al tuturor schimbărilor continue care au apărut într-o rocă. Pentru a ajunge la starea prezentă, o rocă metamorfică urmează un traseu determinat de Presiune – Temperatură – timp (P-T-t). Atât traseul P-T-t urmat de o rocă, precum și compoziția chimică a materialului parental determină, cu preponderență, ansamblul mineralogic format prin metamorfism.

De exemplu, la presiuni și temperaturi moderate, conținutul mineralogic al unei roci parentale bazaltice reacționează pentru a forma noi minerale, precum actinotul (mineral de culoare verde) dintr-un șist verde. Odată cu creșterea căldurii și presiunii, feldspatul devine mai bogat în anortit și mineralele feromagneziene (cele care conțin Fe și Mg) reacționează pentru a forma amfiboli, de unde și numele de facies amfibolitic sau de amfibolite pentru rocile nou formate. Dacă temperatura și căldura cresc în continuare se formează piroxenul rombic și începe faciesul granulitic. La presiuni mai mari, roca parentală bazaltică trece prin faciesul șisturilor cu glaucofan (f. șisturilor albastre), formând minerale stabile la presiuni mari și temperaturi scăzute, precum glaucofanul (mineral de culoare albastră) și jadeitul. La presiuni foarte mari, se formează și sunt stabile granatul și piroxenul, minerale caracteristice faciesului eclogitic.

Rocile pelitice care au un conținut ridicat de Al_2O_3 pot forma un set extins de structuri mineralogice, dar marea majoritate sunt alcătuite din cuarț, muscovit și alte trei sau patru minerale. Datorită complexității acestor structuri mineralogice, rocile pelitice sunt foarte importante în determinarea

traseelor (curbelor) P-T-t. Rocile parentale grezoase sunt alcătuite, preponderent, din cuarț care recrystalizează în timpul metamorfismului. Principalele schimbări din cuarțite sunt deci structurale, mai degrabă, decât mineralogice. La fel se întâmplă și în cazul calcarelor când mineralele carbonatice recrystalizează pentru a forma marmure.

Conceptul de *serii de faciesuri* sugerează că o porțiune de roci dinspre adâncime spre suprafața unui teren metamorfic ar trebui să urmeze un gradient de câmp metamorfic și ar putea traversa o secvență de faciesuri (secvențe spațiale).

- În cadrul metamorfismului progresiv, rocile trec printr-o serie de ansambluri mineralogice, pe măsură ce se echilibrează continuu odată cu creșterea gradului metamorfic (secvențe temporale).

- Putem să ne punem, spre exemplu, întrebarea dacă o rocă din partea superioară a faciesului amfibolitic trece prin aceeași secvență de ansambluri mineralogice care sunt întâlnite pe măsura aducerii spre suprafață a acelei roci prin faciesul șisturilor verzi etc.?

- Setul complet de condiții P-T pe care o rocă le poate întâlni pe timpul unui ciclu metamorfic de la îngropare către metamorfism (și orogeneză), exhumare (înălțare) și eroziune este numit *traseu presiune-temperatură-timp* sau *traseu P-T-t*.

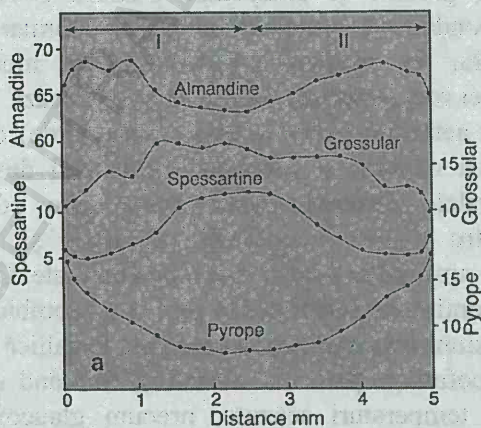


Figura nr. 51. Zonarea profilelor chimice de-a lungul unui granat din Fereastra Tauern.

Din Spear (1989)

Traseele metamorfice P-T-t pot fi realizate prin:

1) Observarea amprentelor lăsate de fiecare ansamblu mineralogic:

– Mineralele relictate pot să indice o porțiune a traseului prograd sau retrograd (sau amândouă) în funcție de momentul când au fost create,

2) Aplicarea geotermometrelor și geobarometrelor la compozițiile dintre nucleul și marginile mineralelor zonate chimic pentru a obține informații privind schimbările condițiilor P-T înregistrate de o rocă, în timpul creșterii mineralelor.

Chiar și în cele mai bune circumstanțe (1), amprente mineralogice și (2) geotermobarometrele pot, de obicei, să caracterizeze doar o mică porțiune a unui întreg traseu P-T-t.

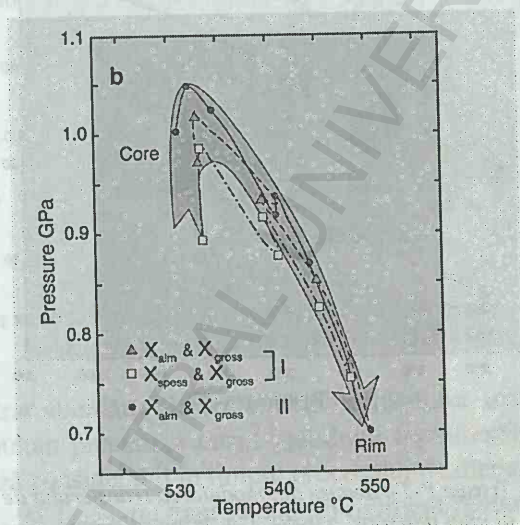


Figura nr. 52. Diagramă convențională P-T (sensul de creștere a presiunii este îndreptat în sus) ce prezintă 3 trasee P-T-t de tip „oră” obținute din interpretarea profilurilor din figura precedentă. Din Spear (1989)

3) Din acest motiv, se folosește modelarea transferurilor de căldură:

- Punctul de vedere clasic: metamorfismul regional este rezultatul unei îngropări profunde sau al intruderii unei magme fierbinți.
- Metamorfismul și Tectonica Plăcilor: metamorfismul regional este rezultatul unei îngroșări crustale și al adăugării de căldură în timpul orogenezei rezultate la limitele dintre plăcile convergente.

• Modelarea transferului de căldură a fost pusă la punct pentru diverse regimuri, incluzând îngropare, șariaj progresiv, dublare crustală prin coliziune continentală, precum și efectele anatexiei crustale și migrației magmelor.

- Un transfer de căldură mai ridicat decât cel normal este necesar pentru seria de faciesuri cianit – silimanit (faciesul șisturilor verzi – faciesul amfibolitic),
- Exhumarea și eroziunea au un efect fundamental asupra geotermei și trebuie avute în vedere în orice model de metamorfism.

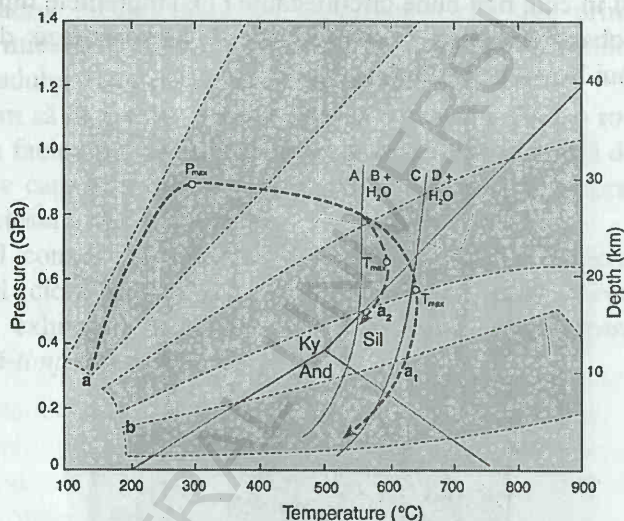


Figura nr. 53. Trasee P-T-t deduse din modelarea transferului de căldură al unei îngroșări crustale. Din Winter (2001)

• Cele mai multe exemple de îngroșări crustale au același aspect meandrat indiferent dacă modelul presupune îngroșare omogenă sau încălecare a unor mase largi de roci, transfer conductiv de căldură sau ridicare magmatică adițională.

• Trasee, precum (a) din figura de mai sus sunt numite în literatură trasee P-T-t „orare“ și sunt considerate curbe standard pentru metamorfismul regional.

• Există o bună concordanță între tehnicile modelării (spre înainte) și geotermobarometriei (spre înapoi) referitoare la traseele (curbele) P-T-t.

• Forma generală a unui traseu P-T-t, precum (a) din figura de mai sus caracterizează probabil traseul tipic al unei roci în timpul orogenezei și metamorfismului.

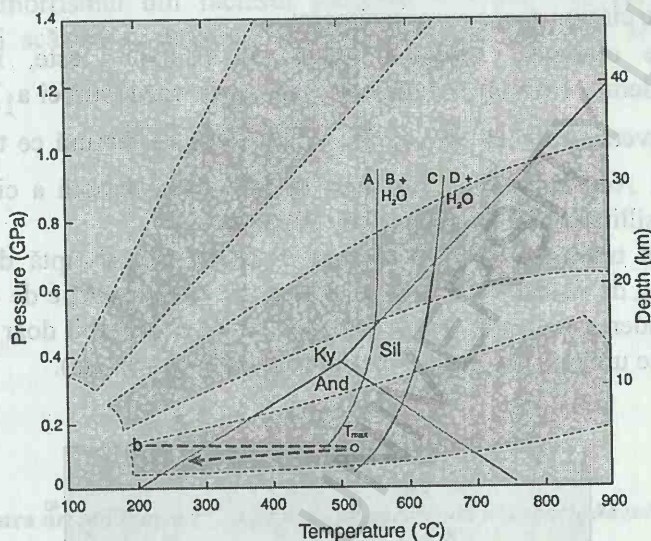


Figura nr. 54. Trasee P-T-t bazate pe modelarea transferului de căldură în cazul unui magmatism superficial. Din Winter (2001)

1. Contrar abordării clasice a metamorfismului, temperatura și presiunea nu cresc simultan precum e cazul „gradului metamorfic“. Magnitudinile lor relative variază considerabil în timpul procesului de metamorfism.

2. P_{max} și T_{max} nu apar la același moment metamorfic.

— În cazul unui traseu P-T-t orar, P_{max} apare mult mai devreme decât T_{max} ;

— T_{max} ar trebui să reprezinte gradul maxim la care este „înghețat“ echilibrul chimic și la care se dezvoltă ansamblul mineralogic metamorfic; aceasta se întâmplă la o presiune mult sub valoarea P_{max} , fapt nesigur deoarece un geobarometru mineralogic ar trebui să indice presiunea de la T_{max} ;

- „Gradul metamorfic“ ar trebui să se refere la temperatura și presiunea de la T_{\max} , deoarece gradul este determinat făcând referire la ansamblul mineralogic de la echilibru.

3. Unele variații de pe porțiunea de ridicare (răcire) a traseului orar (a) indică unele circumstanțe surprinzătoare:

- Spre exemplu, tranziția cianit \rightarrow sillimanit este, în general, considerată o tranziție progradă (precum în cazul curbei a_1), dar curba a_2 traversează tranziția cianit \rightarrow sillimanit pe măsură ce temperatura scade. Aceasta poate duce doar la înlocuirea minoră a cianitului de către sillimanit în timpul retromorfismului.
- Dacă traseul (curba) P-T-t are o pantă mai abruptă decât cea a reacției de dehidratare este posibil ca să apară o reacție de dehidratare cu scăderea temperaturii (acest fapt este însă probabil doar la presiuni scăzute unde panta reacției de dehidratare este scăzută).

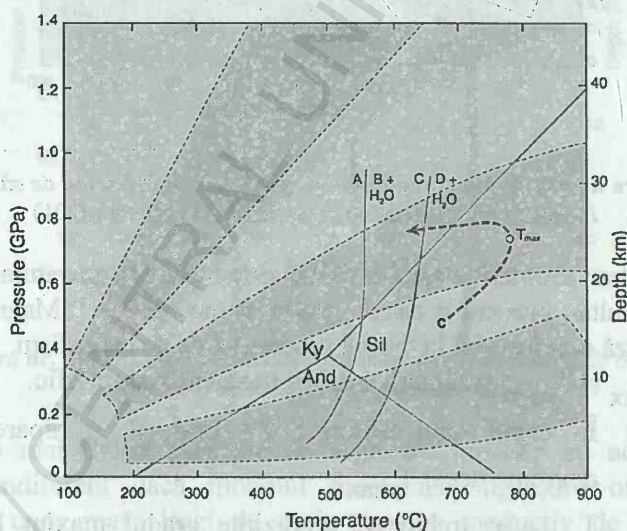


Figura nr. 55. Trasee P-T-t bazate pe un model al transferului de căldură pentru unele cazuri de metamorfism în faciesul granulitic. Din Winter (2001)

CAZURI PARTICULARE DE TRASEE P-T-T

Trasee P-T-t pentru metamorfismul din faciesul șisturilor albastre (zone de subducție)

Metamorfismul din faciesul șisturilor albastre este caracterizat de temperaturi scăzute și presiuni ridicate, fiind un indicator al zonelor de subducție.

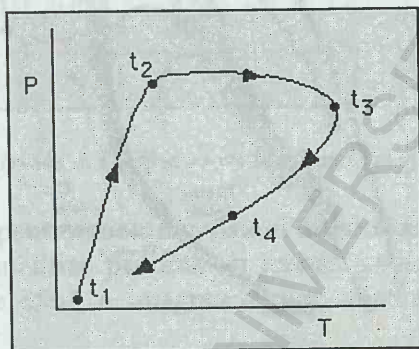


Figura nr. 56. Trasee P-T-t pentru metamorfismul din zonele de subducție

Rocile crustale reci sunt împinse în jos la momentul t_1 de către placa subdusă rapid. Din acest motiv, ele sunt supuse la o creștere rapidă a presiunii, deși temperatura nu crește foarte mult. Acestea sunt condițiile metamorfismului din faciesul șisturilor cu glaucofan (albastre datorită prezenței acestui amfibol) la momentul t_2 . Datorită tendinței de ridicare a rocilor crustale cu densitate mai scăzută, odată cu împingerea lor în adâncime, acestea își stabilizează poziția sau pot determina o eliberare de presiune dar temperatura rocilor crește odată cu timpul de îngropare a acestora (t_3). Pe măsură ce rocile sunt aduse spre suprafață (exhumate), presiunile și temperaturile scad în concordanță cu gradientul geotermic și poate să apară un metamorfism retrograd (t_4). Traseul P-T-t unei asemenea istorii tectonice delimitează o curbă cu sens orar pe o diagramă P-T-t.

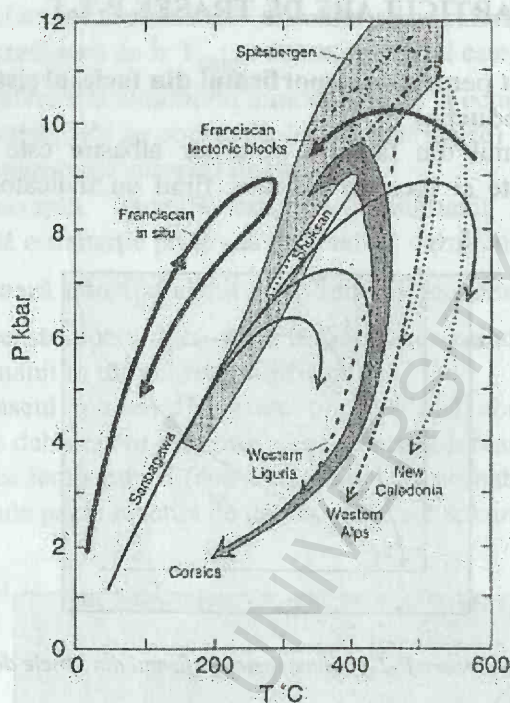


Figura nr. 57. Diagrama P-T arătând traseele P-T pentru zonele de subducție (Alpii de Vest sunt caracterizați de o perioadă de decompresie aproximativ izotermă după momentul de vârf al metamorfismului – cauzată de o exhumare foarte rapidă în timp ce tipul Franciscan – Vestul SUA în California – este caracterizat de un traseu retrograd care este foarte asemănător celui prograd – în acest caz, exhumarea este relativ încetă). Din Spear (1993)

Trasee P-T-t pentru metamorfismul regional din zonele de coliziune

Pe partea arcului vulcanic a unei zone de subducție, magmele se formează prin topirea parțială a rocilor din placa subdusă, după care se ridică prin placa acoperitoare și încălzesc rocile crustale – (t_1 spre t_2). Volumul topiturii implicate duce la o încălzire la scară regională. Metamorfismul de contact ar putea să apară în apropierea oricărei intruziuni. Pe măsură ce continentele intră în coliziune și litosfera se îngroașă, presiunea crește pentru rocile din adâncime odată cu o creștere de temperatură, dar cu o rată mai mică (t_3). Mai târziu, exhumarea (înălțarea) și eroziunea aduc, progresiv, spre suprafață rocile din adâncime și se poate produce atunci și un metamorfism retrograd (t_4). Traseul P-T-t al unei asemenea istorii tectonice delimitează o curbă cu sens anti-orar pe diagrama P-T.

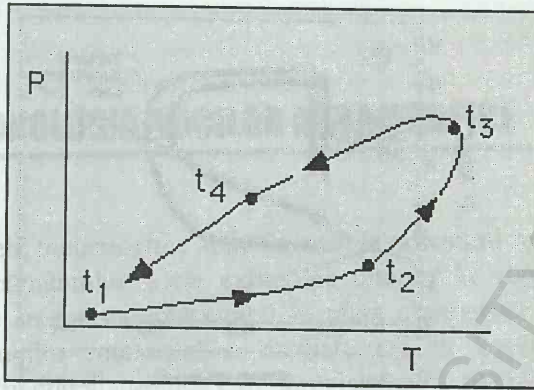


Figura nr. 58. Trasee P-T-t pentru metamorfismul din zonele de coliziune

Trasee P-T-t pentru metamorfismul din faciesul granulitic

Terenurile granulitice prezintă un interes particular pentru petrologi deoarece granulitele oferă o imagine despre chimismul și istoria crustei inferioare.

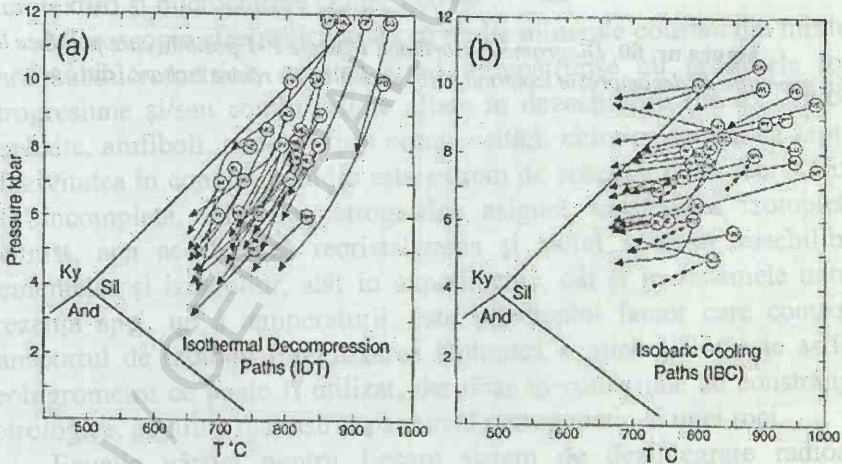


Figura nr. 59. Trasee P-T tipice pentru granulite. (a) curbe de decompresie izotermă. (b) curbe de răcire izobară (din Spear, 1993)

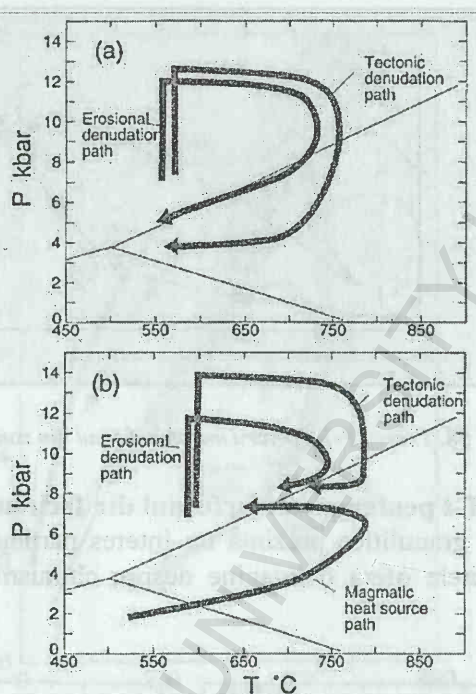


Figura nr. 60. Diagrame P-T arătând traseele P-T posibile care pot duce la (a) granulite de decompresie izotermă și (b) granulite de răcire izobară (din Spear, 1993)

25. GEOCRONOLOGIA ROCILOR METAMORFICE

Mineralele metamorfice sunt formate la adâncimi moderate și ridicate în interiorul pământului. Cele exhumate ulterior la suprafața pământului sunt cele care au rezistat metastabil în afara câmpurilor lor de stabilitate. Majoritatea rocilor metamorfice studiate nu au supraviețuit și conțin ansambluri minerale diacronice care înregistrează o pluralitate de condiții P-T-t-X pe parcursul traseului de exhumare, și nu un singur punct P-T-t-X care include toate mineralele din acea rocă. Asemenea ansambluri mixte se află în dezechilibru reciproc. Datarea unui eveniment metamorfic necesită atenție interpretativă sporită. În timp ce o vârstă aparentă rezultă mereu din măsurători fizice, transformarea unui număr în interpretare geologică poate fi ambiguă și necesită stabilirea unui context între sisteme izotopice diferite, și chiar și mai important, între înregistrarea izotopică și mineralogie, microtexturi și microchimie (Villa, 2004).

Microscopia electronică arată că multe minerale constau din mixturi la scara submicrometrică, acestea fiind întrepătrunse cu produsele lor de retrogresiune și/sau conțin relictate aflate în dezechilibru (de ex.: zirconiu, monazite, amfiboli, mice). Lipsa omogeneității chimice semnifică faptul că difuzivitatea în condiții anhidre este extrem de scăzută. Dacă recrystalizarea este incompletă, relictatele petrografice asigură moștenirea izotopică. În contrast, apa accelerează recrystalizarea și astfel sporește reechilibrarea elementelor și izotopilor, atât în experimente, cât și în sistemele naturale. Prezența apei, nu a temperaturii, este principalul factor care controlează transportul de izotopi. Înregistrarea izotopică a mineralelor este astfel un geohigrometru ce poate fi utilizat, dar doar în conexiune cu constrângerile petrologice, pentru a reconstrui parcursul petrogenetic al unei roci.

Ecuția vârstei pentru fiecare sistem de dezintegrare radioactivă necesită cunoașterea în detaliu a parametrului F_0 , concentrația izotopului substanță fiică pe care mineralul a înregistrat-o la momentul când izotopul radiogenic a început să se acumuleze. În general, estimarea corectă a F_0 necesită un argument indirect (Faure, 1974). Să luăm, de pildă, în considerare o magmă bine amestecată, care a stat topită pentru o perioadă de timp suficientă pentru realizarea unui echilibru chimic și izotopic complet. Când magma cristalizează, o anumită specie minerală și pentru un anume

izotop are același raport izozopic. Din acest ansamblu mineral echilibrat, se calculează apoi vârsta. Spre exemplu, pentru unele sisteme izotopice și numai în anumite condiții, se poate utiliza diagrama cu izocrone (formula matematică cea mai generală a acestora este dată de *Provost*, 1990), în care probele de aceeași vârstă definesc o linie dreaptă. Pentru sistemele U/Pb sau Th/Pb se folosesc curbe concordia sau alte tipuri de curbe. Cerința omogenizării izotopice complete este mai puțin evidentă decât și-au imaginat inițiatorii acum 40 de ani. La rocile magmatice anatectice, s-a dezbătut chestiunea dezechilibrului izotopic (*Ferrara et al*, 1989; *Christensen et. al*. 1995). La topirea parțială a protoliților crustali, restitele pot supraviețui, ceea ce poate preveni echilibrarea izotopică. Este esențial să se stabilească dacă microstructurile rocilor magmatice reflectă creșterea mineralelor doar din topitură, caz în care se așteaptă obținerea unei echilibrări izotopice, sau dacă unele minerale au păstrat un dezechilibru chimic, cauzând moștenirea izotopică. În acest caz, întregul sistem al rocii (de ex., suma tuturor mineralelor principale și accesorii) nu reprezintă magma din care au cristalizat mineralele. Un motiv special de satisfacție este faptul că mai multe substanțe radioactive parentale utilizate de geocronologi sunt elemente cu putere mare de câmp și au tendința să se formeze, sau să apară în minerale accesorii în care legăturile sunt extrem de puternice, mult mai mult decât în minerale mai abundente precum piroxenii și feldspații. Mineralele accesorii sunt astfel rezistente și, de obicei, supraviețuiesc cazurilor de topire parțială. Putem astfel data protoliți și succesiuni de procese în același mineral.

Îmbunătățirile analitice din ultimii 40 de ani ne permit să recunoaștem devieri mici dar semnificative de la cazurile ideale. Astfel, izocronele de bază sunt cele supradeterminate, de exemplu, cele formate din trei sau mai multe puncte independente; permițând o examinare statistică a devierilor, este posibil să se testeze izocronele pentru consistența internă. Dacă punctele grafice corespunzătoare datelor sunt sub linia de regresie, depășind incertitudinile analitice, ele înregistrează probabil un proces geologic semnificativ care diferă de cel definit prin celelalte puncte statistice. Este obligația geocronologilor să încerce să înțeleagă cauza acestei dispersii.

SIMULTANEITATEA ȘI OMOGENEITATEA

În cazul rocilor metamorfe, sarcina de a găsi minerale care îndeplinesc cerințele pentru datare, este mai dificilă decât la rocile magmatice. În mod ideal, dacă o rocă a recrystalizat complet în timpul unui

eveniment metamorfic, datarea este asemănătoare cu a rocilor magmatice, pentru că cerința omogeneității izotopice inițiale este îndeplinită. În practică, supraviețuirea relictelor este mai frecventă decât la rocile magmatice, iar întregul sistem al rocii este rareori în echilibru izotopic cu oricare mineral conținut. Doar dacă se limitează analiza la minerale lipsite de incluziuni, care definesc condițiile metamorfice la un moment dat, este posibil să se obțină o informație corectă privind vârsta evenimentului respectiv.

Nenumărate documente dovedesc că nu toate mineralele și/sau metodele de datare dau aceeași vârstă privind una sau mai multe roci. S-au propus mai multe explicații pentru acest fapt. Printre primele a fost ipoteza lui Jäger, care a devenit foarte populară pe baza simplității sale. Jäger (1973) a demonstrat că mineralele nu rețin descendenți radiogeni la temperaturi înalte; doar dacă temperatura ambientală scade sub o anumită valoare critică, numită „temperatură de blocare“, de către Jäger, mineralele vor reține cantitativ toți izotopii radiogeni descendenți. Jäger și-a bazat această interpretare pe datele disponibile atunci din Alpii Centrali, și pe o singură culminație metamorfică P-T, pan-Alpină de 38 Ma.

În cazul închiderii sistemelor izotopice, trei clase de date adiționale, necunoscute în anii 70, trebuie luate în considerare: cele furnizate de microscopia electronică de înaltă rezoluție, de petrologia metamorfică modernă și de experimentele de difuziune.

Influența microscopiei electronice asupra percepției noastre privind mineralele este foarte importantă. În primul rând, aceasta dovedește că „mineralele“, după cum erau considerate acum un secol, nu mai sunt atât de bine definite la scări de 1-10 μm și că mixturile și concreșterile sunt o regulă, în special, la mineralele metamorfice (Hess *et al*, 1987; Allen, 1992; Belluso *et al*, 2000). În al doilea rând, microscopia electronică ilustrează prezența frecventă a incluziunilor submicrometrice. În timp ce incluziunile nu implică tehnicile de datare izotopică, este necesar să reținem că majoritatea nuclizilor radioactivi parentali sunt elemente urmă. Pentru că mineralele accesorii precum zirconul și monazitul sunt în special îmbogățite în pământuri rare (REE), U și Th, se poate intui faptul că o incluziune sub- μm a unei asemenea faze accesorii poate domina bugetul radioactiv al unui „mineral“. În schimb, este deseori imposibil să se stabilească pe baza caracteristicilor structurale dacă aceste micro/nano- incluziuni fac parte dintr-o paragenză echilibrată sau sunt relict ale unor evenimente metamorfice timpurii, precum incluziunile de mărime nanometrică discutate de Seydoux-Guillaume *et al*. (2003). Chiar și mineralele importante, atunci când sunt observate utilizând imagini de electroni împrăștiați (BSE) sau analizate cu microsonda electronică, arată frecvent coexistența mai multor

generații (*Di Vincenzo et al*, 2001, 2004). Datarea izotopică a mixturilor necesită descoperirea vârstelor individuale ale diferitelor faze.

Petrologia metamorfică modernă a înregistrat progrese mari de la introducerea conceptului „izogradei“. Rolul fluidelor apoase este acum acceptat (*Cesare et al.*, 2001), chiar în faciesurile aparent „uscate“, precum cel al eclogitelor (*Phillippot și Rumble*, 2000). Noua accepțiune poate fi rezumată pe scurt ca „o lipsă a recristalizării metamorfice la culminația P-T fără circulația apei“. Pentru că orice mineral ce recristalizează va reîncorpora elemente urmă, conform coeficienților lor de partiție, pentru majoritatea sistemelor de tip părinte-lanț descendent și pentru majoritatea mineralelor o recristalizare metamorfică totală presupune expulzarea în întregime a descendenților și resetarea vârstei izotopice. *Villa* (1998) a presupus că și acțiunea inversă este, de asemenea, adevărată: preservarea relictelor petrografice asigură moștenirea izotopică. Acest lucru este motivat de natura atomică a difuziei. Mobilitatea cationilor care formează structura este accelerată de apă. Petrologia oferă astfel dovezi ipotezei că schimbul izotopic este cu mult îmbunătățit de prezența unui fluid apos. Acest lucru implică o dependență vagă a schimbului izotopic de temperatură, în special, pentru mineralele care sunt afectate de condiții metamorfice tipice faciesului șisturilor verzi. În cazul unor temperaturi mai ridicate, există o probabilitate mai mare a pierderii apei. Din moment ce apa promovează disoluția / reprecipitarea mai rapid decât o face transportul de cationi anhidri, este clar că există un potențial ridicat pentru supraevaluarea rolului temperaturii dacă cel al fluidelor apoase este neglijat.

Petrologia metamorfică a adus, de asemenea, o nouă viziune asupra microchimiei și a microstructurilor. Multe minerale prezintă un dezechilibru chimic intern care poate fi atribuit unui episod discret de formare a mineralelor (*Vance et al.*, 2003). Ubicuitatea texturilor de dezechilibru implică faptul că reechilibrarea difuzivă a fost neglijabilă.

A treia descoperire recentă în petrologia experimentală este baza de date în continuă îmbunătățire a determinărilor de difuzie. După cum a fost demonstrat de *Dahl* (1997), ne așteptăm ca toate fenomenele care derivă din rezistența și durata legăturilor interatomice într-o structură minerală (difuzivitatea, solubilitatea, duritatea, susceptibilitatea de alterare hidrotermală etc.) să urmeze aceeași secvență ordonată atât în cadrul paragenezei mineralogice, cât și între diverse parageneze. Totuși, stabilirea unei secvențe relative este doar un succes parțial, pentru că o cercetare cantitativă necesită o calibrare perfectă. Difuzivitățile naturale din sistemele anhidre sunt destul de scăzute, după cum s-a verificat prin toate investigațiile recente (de ex.: „... rutilul este mai rezistent la pierderea Pb

prin difuzia de volum decât se credea anterior“: *Cherniak*, 2000). Într-adevăr, difuzia lentă conservă variații de vârstă spectaculoase la monazit și zircon în același cristal (*Cherniak și Watson*, 2003). Unghiurile mari de înclinare ale gradientilor de vârstă sunt acum recunoscute în multe cronometre minerale (de ex.: variații de vârstă ^{39}Ar - ^{40}Ar la muscovit pe o scară $< 100\text{ }\mu\text{m}$: *Hames și Cheney*, 1997; *Di Vincenzo et al.*, 2004). Acest lucru prezintă un paradox: pe de o parte, dovezi din ce în ce mai multe susțin o difuzie de volum foarte lentă pentru majoritatea mineralelor, substanțial mai lentă decât era acum 20 de ani; pe de altă parte, aceste minerale pot fi reținute în natură.

Difuzia pură de volum într-un sistem „uscat“ este extrem de lentă. Este observată comparativ rar la sistemele terestre, pentru că atunci când reacțiile se petrec în prezența apei, difuzia este depășită de recrystalizare, fapt ce asigură un schimb mai rapid de elemente majore și urmă. Recrystalizarea „umedă“ poate avea loc la oricare temperatură în cadrul câmpului de stabilitate al mineralului studiat, în special, la temperaturi scăzute, la care difuzia de volum este neglijabilă. Neluarea în considerare a dovezilor structurale pentru recrystalizare (zonare, dezechilibru microchimic etc.) poate duce la concluzii greșite. Unii geocronologi au afirmat în trecut că schimbul de izotopi este datorat difuziei de volum, care astfel a fost considerată a fi mult mai rapidă decât în realitate. Dat fiind că recrystalizarea poate fi influențată de fluidele apoase (și doar subordonat de temperatură), rezultă că transportul izotopic care este controlat de recrystalizare ar trebui să fie considerat mai curând un „geo-higrometru“ decât un „geotermometru“.

Interacțiunea extrem de strânsă între mineralogie și sistematica izotopică este o consecință a forțelor atomice care dictează transportul izotopilor în structurile minerale. Astfel se pot combina două informații: înregistrarea P-T oferită de compoziția elementului principal, precum și vârsta și activitatea apei înregistrate de izotopii radiogeni. Combinarea lor clarifică relația petrogenică între componenții individuali și mixturile minerale.

METODE DE DATARE GLOBALĂ

În trecut, o mare cantitate de analize privind mineralele metamorfice au fost realizate utilizând metode de datare globală precum K-Ar și Rb-Sr. Datorită ubicuității microstructurilor de dezechilibru, la majoritatea mineralelor, datele globale sunt frecvent incorecte și pur izotopice, fără utilizarea dovezilor petrologice și microchimice.

În plus, metodele K-Ar și Rb-Sr sunt aplicate la mineralele care au un coeficient de partiție ridicat pentru elementele alcaline, de obicei, mize și feldspați potasici. Ambele metode pot fi problematice în felul lor. Mineralele cu conținut ridicat de alcalii au legături mai slabe. Acest lucru le face mai predispuse la schimb izotopic și/sau alterare (Dahl, 1996, Parsons et. al, 1999). Ca o consecință, se impune o caracterizare amănunțită atunci când se analizează mineralele bogate în alcalii; când studiul microchimic lipsește, este aproape imposibil să se evalueze vârsta micelor și feldspaților. Lipsa stoichiometriei este un semn sigur de alterare și a unor vârste contestabile.

În privința datelor Rb-Sr, este vital să se rețină că într-o rocă metamorfică; întregul sistem se află rar în echilibru cu toate componentele sale; rigoarea necesită luarea în considerare a mineralelor care aparțin unei parageneze specifice, evitând relictetele și înlocuirile. Sistemul global al rocii este ușor perturbat pentru că atât Rb, cât și Sr sunt elemente extrem de mobile. Mobilitatea indusă de fluide este bine documentată (de ex.: Krogh și Davis, 1973), iar rezultatele sugerează că orice date Rb-Sr care includ măsurări globale de roci trebuie tratate cu suspiciune.

Metodele Sm-Nd și Lu-Hf sunt folosite din ce în ce mai mult pentru datarea rocilor granatiferă (HP și HT) (Thoni și Jagoutz, 1992; Duchene et al., 1997), pentru că granatul are conținuturi mai ridicate de Sm și Lu.

Thoni și Jagoutz (1992) au descoperit că presupunerea echilibrului izotopic inițial este piedica principală în luarea unor concluzii corecte. La paragenzele eclogitice pe care le-au analizat prin metoda Sm-Nd, aceștia au făcut următoarea observație: cationii bivalenți au realizat o mobilitate suficientă pentru a crea jadeit și granat în echilibru reciproc, dar pământurile rare trivalente nu s-au echilibrat. Este important să se menționeze din nou că această descoperire a fost favorizată de faptul că izocronalele supra-determinate (cu 3 minerale) nu au reușit să ofere dispersii acceptabile, în timp ce comparațiile între probe nu au arătat reproductivitate.

Aceleași precauții privind dezechilibrul izotopic inițial se aplică, în principiu, la datarea prin metoda Lu-Hf a granaților. O dificultate adițională specifică acestei ultime metode este posibila prezență a incluziunilor micrometrice de zircon ne-cogenetic, care ar putea fi în detrimentul unei determinări corecte a vârstei, pentru că pot domina bugetul de Hf al granatului. Atomul de Hf poate substitui atomul de Zr în zircon, în proporție de până la 4%.

REZOLUȚIE SPAȚIALĂ ȘI ELIBERARE SECVENȚIALĂ

Analize U-Pb

Pentru a ține seama de neomogenitățile mineralogice, unele protocoale analitice permit extragerea semnăturii izotopice dintr-o subgranulă predefinită.

Datarea U-Pb a zonelor dintr-un zircon poate fi obținută prin spectrometria de masă cu ioni secundari – SHRIMP (*Compston et al.*, 1984) sau prin spectrometrie de masă cu ablație laser și sursă de plasmă cuplată inductiv (LA-ICP-MS) cu colector multiplu (*Parrish et al.*, 1999; *Foster et al.*, 2002; *Schärrer et al.*, 2002). Petrogeneza zirconului metamorfic poate fi înțeleasă prin intermediul unei investigații preliminare detaliate pentru obținerea imaginilor de electroni împrăștiati sau de catodoluminescență (*Gebauer et al.*, 1988; *Vavra et al.*, 1996). Figura 61a este o schiță ce ilustrează un zircon metamorfic. O coroană metamorfică tânără (etichetată R) acoperă un nucleu detritic vechi (etichetat C).

Metoda U-Pb se bazează pe trei rapoarte ce furnizează informații privind vârsta: rapoartele $^{206}\text{Pb}^*/^{238}\text{U}$, $^{207}\text{Pb}^*/^{235}\text{U}$, și $^{207}\text{Pb}^*/^{206}\text{Pb}^*$ (asteriscurile denotă Pb radiogen, după scăderea Pb „obișnuit“, calculat din ^{204}Pb). Cele trei valori de vârstă independente sunt comparate pentru a stabili dacă mineralul s-a comportat ideal. Dacă s-a întâmplat așa, cele trei vârste sunt egale una cu alta („concordante“). Dacă vârsta ^{238}U - ^{206}Pb este diferită față de vârsta ^{235}U - ^{207}Pb , cele două sunt numite „discordante“ și rapoartele Pb*/U dau vârste lipsite de sens geologic. Raportul $^{207}\text{Pb}^*/^{206}\text{Pb}^*$ poate (dar nu trebuie) să păstreze informații semnificative despre vârstă.

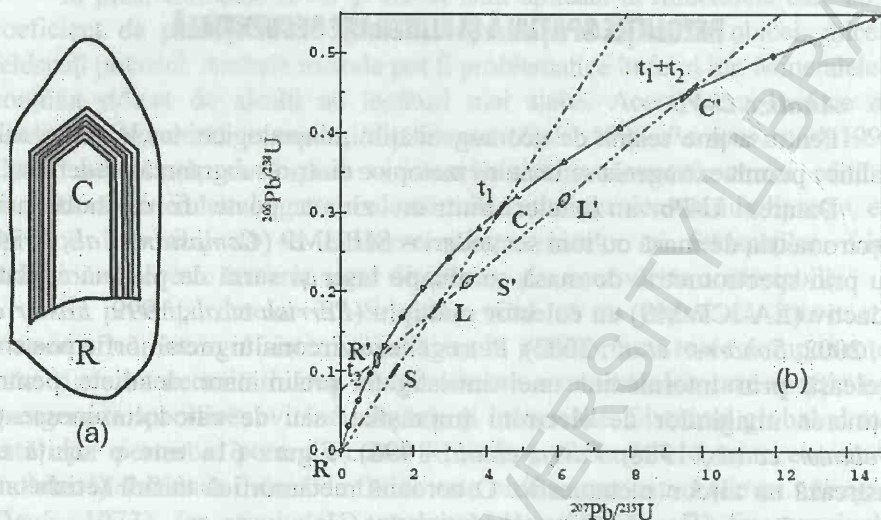


Figura nr. 61 – (a) Schița unui zircon metamorfic. Un nucleu detritic transcrystalizat, C, este acoperit de o coroană metamorfică, R. Imaginile de catodoluminescență permit foarte frecvent identificarea unei zonări oscilatorii magmatice în nucleu; în timp ce coroanele metamorfice sunt, de obicei, nezonate. (b) Prezentarea în diagrama Concordia a datelor schematice U-Pb despre zirconul din figura 1a. În momentul metamorfismului, t_1 , punctul C (nucleul) se află pe curba concordia; punctul R (coroana) este lipsit de Pb^* și se află la origine. Analizele globale pentru granulele mari (L) sau mici (S), se dispun grafic pe linia Discordia; punctele R', S', L' și C' reprezintă evoluția celor patru puncte la un timp t_2 după metamorfism. Din Villa (2004)

O reprezentare grafică înfățișând concordanța și discordanța a fost concepută de Wetherill (1956). Într-un grafic al rapoartelor $^{206}Pb^*/^{238}U$ și $^{207}Pb^*/^{235}U$, pentru fiecare valoare de pe abscisă există numai o valoare pe ordonată corespunzătoare aceleiași vârste. Locul geometric al punctelor având vârste U-Pb concordante este o curbă numită „Concordia“, cum apare în Figura nr. 61b. Ecuația ei este $y = (x+1)k-1$, unde $k = 0.15751$ este raportul dintre constantele de dezintegrare ale ^{238}U și ^{235}U . Evoluția unui mineral purtător de U poate fi vizualizată pe această diagramă. Când mineralul cristalizează nu conține Pb^* radiogenic, și se reprezintă grafic în origine. Cu trecerea timpului, un mineral netulburat în condiții ideale va acumula Pb^* ; după un timp t_1 rapoartele sale Pb^*/U se vor fi mărit în concordanță și mineralul este reprezentat în punctul C pe curba Concordia (figura nr. 61b). O perturbație metamorfică duce la formarea coroanelor clar identificate sau a recrystalizărilor. Coroana nou formată a zirconului din figură este inițial lipsită de Pb^* și, de aceea, este reprezentată în originea

axelor (punctul R). Mineralul este, din punct de vedere global, un amestec binar de zone vechi bogate în Pb^* și de zone noi fără Pb^* . De aceea, un cristal mare, cu un raport de masă ridicat nucleu/coroană este reprezentat în punctul L (Large) ce se află pe segmentul CR; punctul S (Small) reprezintă un cristal mic cu o proporție relativ ridicată de material coronar.

După un timp mai îndelungat t_2 , Pb -ul radiogen al nucleului crește cantitativ, astfel că punctul C din figură tinde spre rapoarte mai ridicate $^{206}Pb^*/^{238}U$ și $^{207}Pb^*/^{235}U$, adică spre punctul C' care se mai află încă pe curba Concordia. Coroana, la rândul ei, câștigă în Pb^* radiogen în concordanță, spre punctul R'. Punctele reprezentând mineralul global datat, L' și S', se află pe linia de legătură C'R', fiind un amestec binar de R' și C'.

Analizele punctuale dau, în special, rezultate de tipul C' și R' concordante, cu condiția ca o zonă uniformă mineralogică să fi fost aleasă pe baza imaginilor de catodoluminescență sau electroni împrăștiați. Cu toate acestea, înainte de a fi posibilă localizarea spațială a zonelor de studiu pe baza imaginilor amintite, analizele obținute aleator și, mai ales, cele globale ale multigranulelor au dat mii de rezultate „discordante”. O dezbatere aprinsă cu privire la natura discordanței durează de decenii. Discordanța a fost atribuită inițial pierderii difuze de Pb, datorită perturbației termice (Tilton, 1960). Această ipoteză oglindea conștientizarea limitată a proceselor petrologice de către comunitatea geocronologică; era un timp când se credea chiar că și pierderea de Ar din silvină reflecta evenimentele termice produse în lipsa unui fluid (Gentner et al., 1954). Înțelegerea prezentă a mecanismelor ce controlează distribuția de vârste U-Pb, bazată pe noile date despre difuzivitate (Cherniak și Watson, 2003), este că Pb este imobil în zirconul cristalin, ne-metamictizat. Analizele de microsondă confirmă că zirconul și monazitul nu pierd niciodată Pb prin difuziune (Compston și Kroner, 1988; Vavra et al., 1996; Cocherie et al., 1998; Crowley și Ghent, 1999). În schimb, datele obținute în ultimii ani demonstrează rolul copleșitor al recrystalizării pentru schimbul izotopic de Pb; nucleele de zircon formează o coroană a cărei semnătură chimică este un indicator petrologic puternic al diferitelor condiții P-T-t-X care au predominat când s-au format diferitele generații de zircon (Whitehouse et al., 1999; Rubatto, 2002). Rezoluția spațială care poate fi obținută prin analizele de microsondă este de puncte circulare cu diametrul de aproximativ 20 μm pentru microsonda ionică și spectrometria de masă cu ablație laser și sursă de plasmă cuplată inductiv LA-PIMMS, și 2 μm pentru microsonda electronică și spectrometria de fluorescență cu raze X pe fosfați cu conținuturi ridicate de pământuri rare (REE).

Metoda U-Pb poate fi aplicată cu un protocol de dizolvare treptată (Frei et al., 1997). Eliberarea secvențială de Pb este obținută prin dizolvarea succesivă cu diferiți acizi, astfel încât să se distingă Pb obișnuit de Pb* radiogenic. Mai mult decât atât, această tehnică face posibilă recunoașterea și corectarea prezenței incluziunilor heterochimice, prin partiționarea Pb* între matricele minerale și incluziuni (Schaller et al., 2001). În acest fel, se pot data mai precis minerale metamorfe index, precum granații și staurolitul.

Compararea vârstelor U-Pb și Rb-Sr obținute pe eclogitele din Zona Sesia (Italia) – Alpii Vestici (Oberhaensli et al., 1985; Rubatto et al., 1999) au arătat discrepanțe însemnate. Vârstele Rb-Sr au indicat cca. 120 Ma, mai mult cu aproximativ 60 Ma față de vârstele U-Pb. Aceasta ar putea însemna că eclogitizarea s-a produs în Cretacicul timpuriu și metoda U-Pb dă în consecință o „vârstă a răcirii”; cu toate acestea, de vreme ce zirconul nu pierde Pb la temperaturi eclogitice (Cherniak și Watson, 2003), vârsta Rb-Sr este cea incorectă. Prin analogie cu „Ar în exces”, s-ar putea propune că „Sr în exces” a fost introdus dintr-o sursă externă. Trebuie avut în vedere că „Ar în exces” este invocat, de obicei, pentru explicarea vârstelor prea timpurii, dar rar se face o distincție riguroasă față de Ar moștenit. Ar moștenit și Sr sunt descendenți radiogeni care erau prezenți în mineralele precursorare și n-au fost niciodată reechilibrate în totalitate în timpul formării paragenezei metamorfe tipice culminației P-T (Thoni și Jagoutz, 1992). În cazul zonei Sesia, supraviețuirea relictelor Permiane în mineralele eclogitice Paleocene este cea mai plauzibilă explicație.

Analizele ^{39}Ar - ^{40}Ar

Singura metodă alternativă de datare care este folosită în mod obișnuit pentru obținerea datelor izotopice ce pot depăși ca precizie datările globale ale eșantioanelor de roci este metoda ^{39}Ar - ^{40}Ar . Analogia cea mai apropiată cu datările U-Pb este utilizarea razelor laser pentru topirea sau vaporizarea punctelor selectate dintr-un mineral.

Mult mai răspândită este tehnica ^{39}Ar - ^{40}Ar de încălzire treptată (Merrihue și Turner, 1966), care extrage Ar din probă printr-o serie de trepte de încălzire. Aceasta permite calcularea unei izocrone „interne” din Ar-ul eliberat în diferitele trepte ale unui singur mineral, dacă proba nu a fost niciodată perturbată de la formarea sa. În rocile care au fost supuse unui eveniment tectonometamorfic (deformare + aport termic), diagrama izocronelor nu reușește să dea un aliniament: într-un sistem polimineral, fazele metamorfe nu sunt cogenetice și încălcă condițiile obligatorii pentru formarea izocronei.

În abordarea Berkeley (Merrihue, 1965), iradierea neutronului era concepută pentru a detecta toate elementele din care izotopii Ar sunt produși în reactorul nuclear: K, Ca și Cl. Desigur, o analiză ^{39}Ar - ^{40}Ar produce concentrația acestor trei elemente și a raporturilor lor la ^{40}Ar radiogen (Ar^*) și la izotopul comun ^{36}Ar . Din cinci concentrații, este mereu posibil să fie construite patru rapoarte izotopice care au un numitor comun. În primul rând, rapoartele izotopice ale Ar (cum ar fi, de exemplu, $^{37}\text{Ar}/^{38}\text{Ar}$) oglindesc semnătura chimică (în acest exemplu, rația Ca/Cl) și definesc axele de coordonate ale unui spațiu patru-dimensional. Dacă, de exemplu, numitorul comun este ^{39}Ar derivat, spațiul patru-dimensional este definit de rapoartele Ca/K, Cl/K, Ar^*/K și Ar_w/K („trapped“ denumind izotopii ^{36}Ar și ^{40}Ar neradiogeni reținuți). Fiecare diagramă de corelare a celor trei izotopi este o proiecție bidimensională a unei distribuții patru-dimensionale a punctelor determinate (Villa, 2001). Este demonstrat ușor că amestecurile binare sunt reprezentate de segmente de linii drepte, și amestecurile dintre rezervoarele N cu poligoanele N. Cea mai mare dificultate în determinarea numărului exact de rezervoare Ar prezente într-o mostră este distorsionarea proiectată de la patru dimensiuni la două: un poligon N neplat, înclinat poate fi proiectat în ceea ce pare a fi o linie dreaptă (Belluso et al., 2000). Este de aceea necesar să fie investigate cât mai multe diagrame de corelare pentru a identifica numărul minim de puncte marginale din poligon.

Motivul pentru care ar trebui să fim preocupați de rația Ca/Cl dintr-un mineral, deși vârsta este calculată din raportul Ar/K este că mineralele sunt rareori faze pure, fiind, mai degrabă, constituite din amestecuri heterochimice (Villa et al., 1997, 2000; Di Vincenzo și Palmeri, 2001). Monitorizând toți indicatorii chimici pentru fiecare treaptă de încălzire, putem să recunoaștem dacă analizăm un mineral monogenetic sau un amestec și, dacă e așa, care trepte aparțin diferitelor rezervoare. Coexistența a mai mult de o generație a aceleași familii minerale, fiecare cu o vârstă diferită, este o probă solidă că deformarea/înlocuirea se petrece fără resetarea valorilor izotopice ale rezervorului petrografic relict.

Pe baza rapoartelor Cl/K din mica albă, Tomaschek et al. (2003) au distins paragonit de înaltă presiune de vârstă mai recentă decât muscovitul înlocuit din roci metamorfozate în faciesul șisturilor verzi. Prin luarea în considerare a morfologiei zirconului și a vârstelor, dar și a incluziunilor fluide, autorii au putut să reconstruiască efectele fazelor fluidelor apoase de înaltă presiune asupra dezvoltării paragenezei eclogitice.

Rezoluția spațială a microanalizelor laser de ^{39}Ar și ^{40}Ar nu este limitată de diametrul fascicolului incident (care poate fi focalizat la dimensiuni mai mici de 1 μm), ci prin statisticile de numerotare a atomilor

de Ar disponibili. Cu sensibilitatea spectrometrelor de masă din zilele noastre o analiză semnificativă a probelor Phanerozoice necesită 10^4 - 10^5 μm^3 (Muller *et al.*, 2002) și chiar și izotopii minori de Ar 36, 37 și 38 sunt câteodată la sau sub limita de detecție. Analizele care nu semnalizează ultimii trei izotopi au valoare practică limitată, deoarece s-a arătat că informația microchimică este decisivă pentru o interpretare corectă a rolului recristalizării heterochimice.

Diagrama distribuției spațiale actuale a izotopilor de Ar constrânge baza fizică a transportului de Ar. Onstott *et al.* (1990) au investigat dacă difuzia de volum are loc în sistemele terestre și în ce grad aceasta poate fi detectată când este suprapusă unor procese mai rapide precum recristalizarea indusă de fluide.

Observația reproductibilă că miclele având o concentrație zonată a Ar dau un „platou“ de încălzire treptată (Hodges *et al.*, 1994; Foland, 1983) arată că difuzia de volum nu se petrece și în cazul degazeificării din laborator a mineralelor apoase (Sletten și Onstott, 1998). Aceasta implică, la rândul ei, faptul că spectrul vârstelor nu oglindește, ca și regulă, distribuția spațială a Ar din minerale hidratate.

Utilizarea „hărților de vârstă“ a fost aplicată cu succes de către Di Vincenzo *et al.* (2001, 2003, 2004) pentru a clarifica istoria metamorfică a rocilor din Antarctica și Sardinia, cât și pentru a înțelege sistematica retenției de Ar drept o funcție a recristalizării și nu a difuziei.

CONCLUZII

Datarea evenimentelor metamorfice presupune deci că perturbarea metamorfică a fost suficient de viguroasă pentru a obține echilibrul izotopic dintre unele minerale ale rocii și că nici unul din aceste minerale nu a fost supus, pe rând, la reechilibrări chimice în timpul traseului P-T-t din timpul exhumării.

Evenimentele magmatice ating, de obicei, o echilibrare izotopică completă între mineralele rocii, spre deosebire de metamorfismul uscat unde aceasta nu se produce. Deoarece difuzivitatea în prezența apei este de câteva ordine de mărime mai rapidă decât în lipsa acesteia, istoria termică a unei roci este de importanță secundară pentru valorile sale izotopice, în comparație cu istoria activității apei conținute. Ca și rezultat, geocronologia izotopică aplicată rocilor metamorfice este capabilă a data evenimente de circulație a fluidelor. Este esențial să realizăm că aceste evenimente pot avea loc într-un interval larg de temperaturi și, de aceea, sunt, inerent, termometre neperformante.

Geocronologia izotopică a mineralelor metamorfice poate oferi, în schimb, înțelegerea condițiilor P-T-t-X; dacă analizele izotopice pot fi cuplate cu investigații microchimice și microstructurale ale mineralelor metamorfice, se poate deduce și istoria deformării pe baza cărora se reconstituie evoluția metamorfică a unei roci.

ANEXE

Abrevierea mineralelor din text

Acm – acmit	Brt – baritină	Czo – clinozoizit
Act – actinot	Brl – beril	Chl – clorit
Ak – akermanit	Bt – biotit	Cld – cloritoid
Ab – albit	Bhm – boehmit	Cs – coesit
Aln – allanit	Bn – bornit	Crd – cordierit
Alm – almandin	Brk – brookit	Crn – corindon
Als – aluminosilicat	Brc – brucit	Cv – covelină
Amp – amfibol	Bst – bustamit	Ccl – crisocol
Anl – analcim	Cal – calcit	Ctl – crisotil
Ant – anatas	Cc – calcozină	Crs – cristobalit
And – andaluzit	Ccp – calcopirită	Chr – cromit
Adr – andradit	Cen – cancrinit	Cum – cummingtonit
Anh – anhidrit	Cp – carfolit	Dia – diamant
Ank – ankerit	Cst – casiterit	Dsp – diaspor
Ann – annit	Cel – celadonit	Di – diopsid
An – anortit	Cls – celestină	Dol – dolomit
Atg – antigorit	Cbz – chabasit	Drv – dravit
Ath – antofilit	Chn – chondrodit	Dum – dumortierit
Ap – apatit	Cam – clinoamfibol	Eck – eckermanit
Apo – apofilit	de Ca	Ed – edenit
Arg – aragonit	Cen – clinoenstatit	Elb – elbait
Arf – arfvedsonit	Cfs – clinoferosilit	En – enstatit
Apy – arsenopirită	Chu – clinohumit	Ep – epidot
Aug – augit	Cpx – clinopiroxen de	Fa – fayalit
Ax – axinit	Ca	Fac – feroactinot

Fpa – feropargasit	Lmt – laumontit	Rbk – riebeckit
Fs – ferosilit	Lws – lawsonit	Rds – rodocrozit
Fo – forsterit	Mgs – magnezit	Rdn – rodonit
Flt – fluorină	Mgt – magnetit	Rt – rutil
Gn – galenă	Mrg – margarit	Sa – sanidină
Gp – gips	Mel – melilit	Spr – safirin
Gln – glaucofan	Mc – microclin	Scp – scapolit
Glt – glauconit	Mtc – monticellit	Srp – serpentină
Gt – goethit	Mnt – montmorillonit	Sd – siderit
Gr – grafit	Mul – mullit	Sil – sillimanit
Grt – granat	Ms – muscovit	Sdl – sodalit
Grs – grossular	Ol – olivină	Sps – spessartin
Gru – grunerit	Omp – omfacit	Sp – sfalerit
Hl – halit	Or – ortoclaz	Spl – spinel
Hyn – haüyn	Opx – ortopiroxen	Spd – spodumen
Hs – hastingsit	Osm – osumilit	St – staurolit
Hd – hedenbergit	Pg – paragonit	Stp – stilpnomelan
Hem – hematit	Prg – pargasit	Sti – stishovit
Hc – hercinit	Per – periclaz	Tlc – talc
Hul – heulandit	Prv – perovskit	Ttn – titanit
Hbl – hornblendă	Phl – flogopit	Tur – turmalină
Hu – humit	Pl – plagioclaz	Tr – tremolit
Ill – illit	Prh – prehnit	Trd – tridimit
Ilm – ilmenit	Pmp – pumpellyit	Ves – vezuvianit
Jd – jadeit	Py – pirită	Wai – wairakit
Jh – johannsenit	Prp – pirop	Wo – wollastonit
Kfs – feldspat potasic	Prl – pirofilit	Zrn – zircon
Kln – caolinit	Po – pirotină	Zo – zoizit
Ky – cianit	Qtz – cuarț	

UNITĂȚI DE MĂSURĂ

UNITĂȚI FUNDAMENTALE

Mărimea	Nume unitate	Simbol
Lungime	<i>metru</i>	m
Masă	<i>kilogram</i>	kg
Timp	<i>secundă</i>	s
Temperatura	<i>Kelvin</i>	K
Cantitatea de substanță	<i>mol</i>	mol

UNITĂȚI DERIVATE

			În unități SI fundam.
Forță	<i>newton</i>	N	$m \cdot kg \cdot s^{-2}$
Presiune (stress)	<i>pascal</i>	Pa	$m^{-1} \cdot kg \cdot s^{-2}$
Energie	<i>joule</i>	J	$m^2 \cdot kg \cdot s^{-2}$
Putere	<i>watt</i>	W	$m^2 \cdot kg \cdot s^{-3}$
Vâscozitate dinamică	<i>pascal secundă</i>	Pa · s	$m^{-1} \cdot kg \cdot s^{-1}$
Capacitate termică (entropia)	<i>joule pe Kelvin</i>	J/K	$m^2 \cdot kg \cdot s^{-2} \cdot K^{-1}$

**Alte unități convenționale utilizate în trecut,
care sunt încă folosite în literatura geologică.**

Mărime	Nume unitate	Simbol	Valoare în SI
Lungime	angstrom	Å	10^{-10} m
Presiune	bar	bar	0.1 MPa
Presiune	kilobar	kbar	0.1 GPa
Presiune	atmosferă standard	atm	101.325 Pa
Vâscozitate	poise	P	0.1 Pa . s
Energie	calorie	cal	4.186 J
Timp	milioane de ani	m.y.	Ma (My)
Temperatură	grade Celsius	°C	K
Flux caloric	unitate de flux caloric (Heat Flow Unit)	HFU	0.0418 W/m ²

PREFIXE ȘI SIMBOLURI

Factor de multiplicare	Prefix	Simbol
10^{18}	exa	E
10^{15}	peta	P
10^{12}	tera	T
10^9	giga	G
10^6	mega	M
10^3	kilo	k
10^2	hecto	h
10^1	deca	da
10^{-1}	deci	d
10^{-2}	centi	c
10^{-3}	mili	m
10^{-6}	micro	μ
10^{-9}	nano	n
10^{-12}	pico	p
10^{-15}	femto	f
10^{-18}	atto	a

BIBLIOGRAFIE

- Allen F.M. (1992): Mineral definition by HRTEM: problems and opportunities. *Rev. Mineral.*, 27:289-333.
- Anastasiu N., Grigorescu D., Mutilhac V., Popescu G. (1998): Dicționar de Geologie. Editura Didactică și Pedagogică, București, 500 p.
- Artini E., Melzi G. (1900): Ricerche petrografiche e geologiche sulla Valsesia. Memorie del Regio Istituto Lombardo di Scienze e Lettere, Milano, 18, 219-390.
- Ashworth J.R. (1985): Migmatites, Glasgow: Blackie and Son Limited, p. 1-35.
- Balintoni (1997): Geotectonica terenurilor metamorfice. Ed. Carpatica Cluj Napoca, 176 p.
- Barker A.J. (1990): Introduction to Metamorphic Textures and Microstructures. Blackie. 162 p.
- Barrow G. (1893): On an intrusion of muscovite biotite gneiss in the S.E. highlands of Scotland and its accompanying metamorphism. *Q. J. Geol. Soc. London*, 49:330-358.
- Belluso E., Ruffini R., Schaller M., Villa I.M. (2000): Electron-microscope and Ar isotope characterization of chemically heterogeneous amphiboles from the Palala shear zone, Limpopo Belt, South Africa. *Eur. J. Mineral.*, 12:45-62.
- Bertolani M. (1968): La petrografia della Vallestrona (Alpi occidentali italiane). *Schweiz. Mineral. Petrogr. Mitt.*, 48:695-732
- Bleahu M. (1989): Tectonica globală, vol.II. Editura Științifică și Enciclopedică, București, 492 p.
- Bottinga Y. (1969): Calculated fractionation factors for carbon and hydrogen isotope exchange in the system calcite-carbon dioxide-methane-hydrogen-water vapour. *Geochim. Cosmochim. Acta*, 33, 49-64.
- Brodie K. (1998): Metamorphic Petrology – course notes. Univ. of Manchester.
- Brown M. (2001): Orogeny, migmatites and leucogranites: A review. *Proc. Indian Acad. Sci. (Earth Planet. Sci.)*, 110/4:313-336
- Bucher K., Frey M. (2002): Petrogenesis of metamorphic rocks, 7th Ed. Springer-Verlag, 341 p.
- Carmichael R.S. (1989): Magnetic properties of minerals and rocks. In *CRC Practical Handbook of Physical Properties of Rocks and Minerals*. Edited by R.S. Carmichael. CRC Press, Boca Raton, U.S.A., 299-358.

- Cesare B., Poletti E., Boiron M.C., Cathelineau M. (2001): Alpine metamorphism and veining in the Zentralgneis Complex of the SW Tauern Window: a model of fluid-rock interactions based on fluid inclusions. *Tectonophysics*, **336**:121-136.
- Chemenda I.A., Mattauer M., Bokun A.N. (1996): Continental subduction and a mechanism for exhumation of high-pressure metamorphic rocks: new modelling and field data from Oman. *Earth Planet. Sci. Lett.*, **143**:173-182.
- Cherniak D. (2000): Pb diffusion in rutile. *Contrib. Mineral. Petrol.*, **139**:198-207.
- Cherniak D., Watson E.B. (2003): Diffusion in zircon. *Rev. Mineral. Geochem.*, **53**:113-143.
- Chopin C. (1984): Coesite and pure pyrope in high-grade blueschists of the western Alps: a first record and some consequences. *Contrib. Mineral. Petrol.*, **86**:107-118.
- Chopin C. (2003): Ultrahigh-pressure metamorphism: tracing continental crust into the mantle. *Earth and Planetary Science Letters*, **212**:1-14.
- Christensen J.N., Halliday A.N., Lee D.C., Hall C.M. (1995): In situ Sr isotopic analysis by laser ablation. *Earth Planet. Sci. Lett.*, **136**, 79-85.
- Ciulavu, M., Ferreiro-Mahlmann, R., Seghedi, A., Frey, M., 2001. Very low-grade metamorphism in the Danubian window, South Carpathians (Romania). *Terra Abstracts*, EUG 11:230-231.
- Clayton R.N., Kieffer S.W. (1991): Oxygen isotopic thermometer calibrations, in Taylor, H.P.J., O'Neil, J.R., and Kaplan, I.R., eds., *Stable Isotope Geochemistry: A Tribute to Samuel Epstein*, Volume 3: The Geochemical Society; Special Publication No. 3: San Antonio, Lancaster Press, Inc., 3-10.
- Cocherie A., Legendre O., Peucat J.J., Kouamelan A.N. (1998): Geochronology of polygenetic monazites constrained by in situ electron microprobe Th-U-total lead determination: Implications for lead behaviour in monazite. *Geochim. Cosmochim. Acta*, **62**: 2475-2497.
- Compagnoni R., Maffeo B. (1973): Jadeite-bearing Metagranites l.s. and Related Rocks in the Mount Mucrone Area (Sesia-Lanzo Zone, Western Italian Alps). *Schweiz. Mineral. Petrogr. Mitt.*, **53**: 355-378
- Compston W., Williams I.S., Meyer C. (1984): U-Pb geochronology of zircons from lunar breccia 73217 using a sensitive high mass resolution ion microprobe. *Proc. 14th Lunar Sci. Conf., J. Geophys. Res.*, **89**:B525-B534.

- Compston W., Kröner A. (1988): Multiple zircon growth within early Archean tonalitic gneiss from the Ancient Gneiss Complex, Swaziland. *Earth Planet. Sci. Lett.*, **87**:13-28.
- Coombs D.S., Ellis A.J., Fyfe W.S., Taylor A.M. (1959): The zeolite facies, with comments on the interpretation of hydrothermal syntheses. *Geochem. Cosmochem. Acta*, **17**:53-107
- Coombs D.S. (1961): Some recent work on the lower grades of metamorphism. *Australian journal of science* **25**: 203-215.
- Costin G., Ciocârdel M. (2004): Recomandari privind nomenclatura si clasificarea rocilor magmatice si metamorifice. Cartea Universitară București, 144 p.
- Crowley J.L., Ghent E.D. (1999): Electron microprobe study of the U-Th-Pb systematics of metamorphosed monazite: the role of Pb diffusion versus overgrowth and recrystallization. *Chem. Geol.*, **157**:285-302.
- Dahl P.S. (1997): A crystal-chemical basis for Pb retention and fission-track annealing systematics in U-bearing minerals, with implications for geochronology. *Earth Planet. Sci. Lett.*, **150**:277- 290.
- Di Vincenzo G., Ghiribelli B., Giorgetti G., Palmeri R. (2001): Evidence of a close link between petrology and isotope records: constraints from SEM, EMP, TEM and in situ Ar^{40} - Ar^{39} laser analyses on multiple generations of white micas (Lantermann Range, Antarctica). *Earth Planet. Sci. Lett.* **192**:389-405.
- Di Vincenzo G., Palmeri R. (2001): An Ar^{40} - Ar^{39} investigation of high-pressure metamorphism and the retrogressive history of mafic eclogites from the Lantermann Range (Antarctica): evidence against a simple temperature control on argon transport in amphibole. *Contrib. Mineral. Petrol.*, **141**:15-35.
- Di Vincenzo G., Carosi R., Palmeri R. (2004): Relationship between tectono-metamorphic evolution and argon isotope records in white mica: constraints from in situ Ar^{40} - Ar^{39} laser analysis of the Variscan basement of Sardinia (Italy). *J. Petrol.*, **45**:1013-1043
- Dobrzhinetskaya L.F., Green H.W., Renfro A.P. (2004): Synthesis of skeletal diamonds: Implications for microdiamond formation in orogenic belts. *Geology*, **32**/10:869-872.
- Dodd R.T. (1981) Meteorites: A Petrologic-Chemical Synthesis. Cambridge University Press, Cambridge. 368 p.
- Duchene S., Blichert-Toft J., Luais B., Télouk Ph., Lardeaux J.M., Albaredo F. (1997): The Lu-Hf dating of garnets and the ages of the Alpine high-pressure metamorphism. *Nature*, **387**, 586-589.

- Eskola P. (1914): On the petrology of the Orijarvi region in southwestern Finland. *Bulletin de la Commission Geologique de Finlande*, **40**, 279 p.
- Eskola P. (1915): On the relations between the chemical and mineralogical composition in the metamorphic rocks of the Orijarvi region. *Comm. geol. Finlande Bull.*, **44**, 1-107 (in Finnish), 109-145 (in English).
- Eskola P. (1920): The mineral facies of rocks. *Norsk. Geol. Tidsskr.* **6** (1922): 143-194.
- Eskola P. (1939): Die metamorphen Gesteine. *In: Barth T.F.W., Correns C.W., Eskola P. Die Entstehung der Gesteine.* Springer, Berlin, 422 p.
- Faure G. (1974): Principles of isotope geology. Wiley, New York, 464 p.
- Ferrara G., Petrini R., Serri G., Tonarini S. (1989): Petrology and isotope geochemistry of San Vincenzo rhyolites (Tuscany, Italy). *Bull. Volcanol.*, **51**:379-388.
- Foland K.A. (1983): $\text{Ar}^{40}/\text{Ar}^{39}$ incremental heating plateaus for biotites with excess Ar. *Chem. Geol.*, **41**:3-21
- Foster G., Gibson H.D., Parrish R., Horstwood M., Fraser J., Tindle A. (2002): Textural, chemical and isotopic insights into the nature and behaviour of metamorphic monazite. *Chem. Geol.*, **191**: 183-207.
- Frei R., Villa I.M., Kramers J.D., Nägler T.F., Przybylowicz W.J., Prozesky V.M., Hofmann B., Kamber B.S. (1997): Single mineral dating by the Pb-Pb step-leaching method: assessing the mechanisms. *Geochim. Cosmochim. Acta*, **61**:393-414.
- Fyfe W.S., Turner F.S., Verhoogen J. (1958): Metamorphic reactions and metamorphic facies. *Mem. Geol. Soc. Amer.*, **73**, 259 p.
- Gebauer D., Quadt A.V., Compston W., Williams I.S., Grünenfelder M. (1988): Archean zircons in a retrograded Caledonian eclogite of the Gotthard massif (Central Alps, Switzerland). *Schweiz. Mineral. Petrogr. Mitt.*, **68**:485-490.
- Gentner W., Goebel K., Präg R. (1954): Argonbestimmungen an Kalium-Mineralien: III. Vergleichende Messungen nach der Kalium- Argon- und Uran-Helium-Methode. *Geochim. Cosmochim. Acta*, **5**:124-133.
- Goldschmidt V.M. (1911): Die Kontaktmetamorphose im Kristianiagebiet. *Videnskapsselskapets Skrifter. I. Mat.-naturv. Kl.*, **11. J.** Dybwad, Cristiania, 483 p.
- Goldschmidt V.M. (1912): Geologisch-Petrographische Studien im Hochgebirge des Südlichen Norwegens I. Ein Kambrisches Konglomerat von Finse und dessen Metamorphose *Videnskapsselskapets Skrifter, I. Mat. -Naturv. klasse*, **18**:1-18
- Graham A. L., Bevan A. W. R., Hutchison R. (1985): Catalogue of Meteorites; with special reference to those represented in the

- collection of the British Museum (Natural History). 4th ed., *British Museum* (Natural History), London, 460 p.
- Green H.W. II, Dobrzhinetskaya L., Riggs E., Jin, Z.M. (1997) Alpe Arami: A peridotite massif from the mantle transition zone? *Tectonophysics*, **279**:1–21
- Grubenmann U. (1904): Die kristallinen Schiefer. Bornträger, Berlin.
- Hames W.E., Cheney J.T. (1997): On the loss of 40Ar^* from muscovite during polymetamorphism. *Geochim. Cosmochim. Acta*, **61**:3863–3872.
- Haiiy R.J. (1822): *Traité de minéralogie* (2nd ed.). Bachelier, Paris, 4, 604 p.
- Hârtopan P. (2004): Mineralogeneza centurii manganifere din Munții Bistriței. Ed. Cartea Universitară București, 352 p.
- Hess J.C., Lippolt H.J., Wirth R. (1987): Interpretation of $\text{Ar}^{40}/\text{Ar}^{39}$ spectra of biotites: evidence from hydrothermal degassing experiments and TEM studies. *Chem. Geol.*, **66**:137–149.
- Hobbs B.E., Means W.D., Williams P.F. (1988): Principii de geologie structurală. Ed. Șt. și Enc. București, 478 p.
- Hodges K.V., Hames W.E., Bowring S.A. (1994): $\text{Ar}^{40}/\text{Ar}^{39}$ age gradients in micas from a high-temperature-low-pressure metamorphic terrain; evidence for very slow cooling and implications for the interpretation of age spectra. *Geology*, **22**:55–58.
- Holdaway M. J. (1971): Stability of andalusite and sillimanite and the aluminum silicate phase diagram. *American journal of science*, **277**:97–131.
- Holdaway M.J., Mukhopadhyay B. (1993): A reevaluation of the stability relations of andalusite: thermochemical data and phase diagram for the aluminum silicates. *Am. Mineral.*, **78**:298–315.
- Iancu O. G., Miura Y., Iancu G. (1995): Shock effects in olivine from Mocs chondrite, Abstracts of the 58th Meteoritical Society Meeting, Washington, D. C., September 11–15, 1995, *Meteoritics*, **30/3**: 524
- Iancu O. G., Iancu G., Miura Y., Iancu S. G. (1997): Chemical composition and the degree of shock metamorphism of the Tauti Romanian meteorite, *An. Șt. Univ. "Al. I. Cuza" Iași*, **XLII–XLIII**: 15–25.
- Iancu O. G., Iancu G. (2000): Petrological and geochemical considerations Concerning the Mezö-Mădăraș Romanian meteorite, *An. Șt. Univ. "Al. I. Cuza" Iași*, **XLV–XLVI**: 15–24,
- Iancu O. G. (2003): Stages of shock metamorphism reached by the meteorites fallen in Romania, Abstracts Volume, Petrology-Global Context, Anniversary Symposium dedicated to Acad. Dan Radulescu on his 75th Anniversary: 30.

- Ianovici V., Ştiopol V., Constantinescu E. (1979): Mineralogie. Ed. Did. Pedag. Bucureşti: 828 p.
- Jäger E. (1973): Die alpine Orogenese im Lichte der radiometrischen Altersbestimmung. *Ecl. Geol. Helv.*, **66**:11-21.
- Johannes W., Puhan D. (1971): The calcite-aragonite transition, reinvestigated. *Contrib. Mineral. Petrol.*, **31**:28-38.
- Kräutner H. (1966): Faciesul zeolitic al metamorfismului hidrotermal banatitic şi modul de prezentare în regiunea Ruşchiţa. S.C., 11/1.
- Krogh T.E., Davis G.L. (1973): The effect of regional metamorphism on U-Pb systems in zircon and a comparison with Rb-Sr systems in the same whole rock and its constituent minerals. *Carnegie Inst Washington Yrbk*, **72**:601-605
- Leake B. (1964): The Chemical Distinction Between Ortho- and Par-amphibolites. *Journal of Petrology*. **5/2**:238-254
- Maxim I. A. (1968): Meteoriti şi materiale meteoritice din România. *Studia Univ. Babeş-Bolyai*, Ser. Geol. – Geogr, Cluj-Napoca., **1**:3-6.
- Mărunţiu M. (1978): Consideraţii preliminare asupra caracterelor morfostructurale şi a evoluţiei geologice a rocilor ultrabazice asociate seriilor cristaline precambriene din Carpaţii Meridionali: *Studii şi cercetări de geologie, geofizică şi geografie*, geologie, v. **23**, no. 2:215–227.
- Mărunţiu M. (1987): Studiul geologic complex al rocilor ultrabazice din Carpaţii Meridionali, rezumatul tezei de doctorat, Universitatea Bucureşti.
- Mărunţiu M., Johan V., Iancu V., Ledru P., Cocherie A. (1987): Kyanite-bearing eclogite from the Leaota Mountains (South Carpathians, Romania): mineral associations and metamorphic evolution. *C.R. Acad. Sci. Paris*, **325**:831-838.
- Massonne H.J., Schreyer W. (1987): Phengite geobarometry based on the limiting assemblage with K-feldspar, phlogopite, and quartz. *Contributions to Mineralogy and Petrology*, **96**: 212-224.
- Medaris Jr. G., Ducea M., Ghent E., Iancu V. (2003): Conditions and timing of high pressure Variscan metamorphism in South Carpathians, Romania, *Lithos*, **70**:141-161.
- Merrihue C.M. (1965): Trace-element determinations and potassium-argon dating by mass spectroscopy of neutron-irradiated samples. *Trans. Am. Geophys. Union*, **46**: 125.
- Merrihue C.M. and Turner G. (1966): Potassium-argon dating by activation with fast neutrons. *J. Geophys. Res.*, **71**:2852-2857.

- Miura Y., Iancu O. G., Iancu G., Yanai K., Haramura H. (1995): Reexamination of Mocs and Tauti Chondritic Meteorites; Classification with Shock Degree, *Proc. NIPR Symp. Antarct. Meteorites*, Tokyo, 8:153-166.
- Miyashiro A. (1961): Evolution of metamorphic belts. *J. Petrology* 2:277-311.
- Miyashiro A. (1994): *Metamorphic Petrology*. UCL Press, London, 404 pp.
- Müller W. (2003): Strengthening the link between geochronology, textures and petrology. *Earth Planet. Sci. Lett.*, 206:237-251.
- Oberhänsli R., Hunziker J.C., Martinotti G., Stern W.B. (1985): Geochemistry, geochronology and petrology of Monte Mucrone; an example of Eo-Alpine eclogitization of Permian granitoids in the Sesia-Lanzo Zone, Western Alps, Italy. *Chem. Geol.*, 52:165-184.
- Oberhänsli R., Goffé B. (2004): Explanatory notes to the map: Metamorphic structure of the Alps – Introduction. *Mitt. Österr. Miner. Ges.*, 149:115-123
- Onstott T.C., Phillips D., Pringle-Goodell L. (1990): Laser microprobe measurement of chlorine and argon zonation in biotite. *Chem. Geol.*, 90:145-168.
- Palache C., Vassar H. (1925): Some minerals of the Keweenawan copper deposits: Pumpellyite, a new mineral; Sericite; Saponite. *American Mineralogist*, 10:412-418.
- Parrish R., Nowell G., Noble S., Horstwood M., Timmermann H., Shaw P., Bowen I. (1999): LA-PIMMS: a new method of U-Th-Pb geochronology using micro-sampling techniques. *J. Conf. Abstr.*, 4, 799.
- Parsons I., Brown W.L., Smith J.V. (1999): $^{40}\text{Ar}/^{39}\text{Ar}$ thermochronology using alkali feldspars: real thermal history or mathematical mirage of microtexture? *Contrib. Mineral. Petrol.*, 136:92-110.
- Passchier C.W., Trouw R.A. (1996): *Microtectonics*, Springer-Verlag, 289 p.
- Pavelescu L. (1957): Contribuții la studiul unor eclogite din Munții Sebeșului. *Buletin Științific, sect. Geol., Geogr.*, t.2:187-200
- Philippot P., Rumble D. III (2000): Fluidrock interactions during high-pressure and ultrahigh-pressure metamorphism. *Int. Geol. rev.*, 42:312-327.
- Provost A. (1990): An improved diagram for isochron data. *Chem. Geol.* 80: 85-99.
- Rădulescu D. (1961): Date noi asupra lotritelor din RPR. *Comun. Acad. RPR*, XI/1:103-110.
- Rădulescu D. (1962): Contribuții la cunoașterea mineralelor din zăcămintele de mangan din Moldova de nord. *D.S.Inst.Geol.*, XLIII.
- Rădulescu D. (1980): *Petrologia rocilor metamorfice - curs universitar*. Univ. București: 196 p.

- Rubatto D., Gebauesr D., Compagnoni R. (1999): Dating of eclogite-facies zircons: the age of Alpine metamorphism in the Sesia-Lanzo Zone (Western Alps). *Earth Planet. Sci. Lett.*, **167**:141-158.
- Rubatto D. (2002): Zircon trace element geochemistry: partitioning with garnet and the link between U-Pb ages and metamorphism. *Chem. Geol.*, **184**:123-38.
- Savu H. (1959): Meteoritul pietros de la Tăuți (1937). *St. Cerc. Geol.*, **2** (IV), 273-280.
- Săbău G. (2000): A possible UHP-eclogite in the Leaota Mts. (South Carpathians) and its history from high pressure melting to retrograde inclusion in a subduction melange. *Lithos*, **52**:253-276.
- Schaller M., Steiner O., Studer I., Frei R., Kramers J.D. (1997): Pb stepwise leaching (PbSL) dating of garnet - addressing the inclusion problem. *Schweiz. Miner. Petrogr. Mitt*, **77**:113-121.
- Scherrer N.C., Engi M., Berger A., Parrish R.R., Cheburkin A.K. (2002): Nondestructive chemical dating of young monazite using XRF: 2, Context sensitive microanalysis and comparison with Th-Pb laser-ablation mass spectrometric data. *Chem. Geol.*, **191**:243-255.
- Schrauf A. (1874): Untersuchung eines neuen Mineral's, genannt Veszelyit, *Anz. k. Akad. Wiss.*, Wien, **11**:135-137.
- Seydoux-Guillaume A.M., Goncalves Ph., Wirth R., Deutsch A. (2003): Transmission electron microscope study of polyphase and discordant monazites: site-specific specimen preparation using the focused ion beam technique. *Geology*, **31**:973-976.
- Sheppard S.M.F., Schwartz H.P. (1970): Fractionation of carbon and oxygen isotopes and magnesium between coexisting metamorphic calcite and dolomite. *Contributions to Mineralogy and Petrology*, **20**:306-356.
- Sletten V.W., Onstott T.C. (1998): The effect of the instability of muscovite during in vacuo heating on 40Ar/39Ar step-heating spectra. *Geochim. Cosmochim. Acta*, **62**:123-141.
- Smulikowski W., Desmons J., Harte B., Sassi F.P., Schmid R. (2003): Towards a unified nomenclature in metamorphic petrology – Types, Grade and Facies. A proposal on behalf of the IUGS Subcommission on the Systematics of Metamorphic Rocks, Web version: 1-11.
- Sobolev N.V., Shatsky V.S. (1990): Diamond inclusions in garnets from metamorphic rocks: a new environment for diamond formation. *Nature*, **343**:742-746.
- Spear F.S. (1989): Petrologic determination of metamorphic pressure-temperature-time paths. In F.S. Spear and Peacock S.M., Ed.,

- Metamorphic pressure-temperature-time paths, Short Course in Geology, American Geophysical Union, Washington, D. C.:1-55.
- Spear F.S. (1993): Metamorphic Phase Equilibria and Pressure-Temperature-Time Paths. Mineralogical Society of America, Washington, D.C., 799 p.
- Stanciu V., Stoicovici E. (1943): Meteorii din România. *Rev. Muz. Mineral. Geol. Univ. Cluj la Timişoara*, VII (1-2), 3-34.
- Stöffler D., Keil K., Scott E.R.D. (1991): Shock metamorphism of ordinary chondrites. *Geochim. Cosmochim. Acta*, 55:3845-3867.
- Stöffler D., Grieve R.A.F. (2003): Towards a unified nomenclature of metamorphic petrology – Impactites. A proposal on behalf of the IUGS Subcommittee on the Systematics of Metamorphic Rocks. Web version.
- Swamy V., Saxena S.K., Sundman B., Zhang J. (1994): A thermodynamic assessment of the silica phase diagram. *J. Geophys. Res.*, 99:11787-11794.
- Thöni M., Jagoutz E. (1992): Some new aspects of dating eclogites in orogenic belts: Sm- Nd, Rb-Sr, and Pb-Pb isotopic results from the Austroalpine Saualpe and Koralpe type-locality (Carinthia/Styria, southeastern Austria). *Geochim. Cosmochim. Acta*, 56:347-368.
- Tomaschek F., Kennedy A., Villa I.M., Lagos M., Ballhaus C. (2003): Zircons from Syros, Cyclades, Greece – Recrystallization and mobilization of zircon during high pressure metamorphism. *J. Petrol.*, 44:1977-2002.
- Tschermak G. (1874): Ludwigit, ein neues Mineral aus dem Banate, *Tschermak's Min. Mitt.*, 59-66.
- Turner F.J. (1968): Metamorphic petrology, mineralogical and field aspects. McGraw-Hill, New York, 403 p.
- Udubaşa G., Ilinca G., Marincea Ş., Săbău G., Rădan S. (1992): Minerals in Romania: The state of the art 1991, *Rom. J. Mineralogy*, 75:1-51.
- Valley J.W., O'Neil J.R. (1981): $^{13}\text{C}/^{12}\text{C}$ exchange between calcite and graphite: a possible thermometer in Grenville marbles. *Geochim. Cosmochim. Acta*, 45:411-419.
- Vance D., Müller W., Villa I.M. (2003): Geochronology: linking the isotopic record with petrology and textures - an introduction. In: „Geochronology: linking the isotopic record with petrology and textures“, Vance D., Müller W., Villa I.M. (Eds). *Geol. Soc. London Spec. Publ.*, 220:1-24.
- Vavra G., Gebauer D., Schmid R., Compston W. (1996): Multiple zircon growth and recrystallization during polyphase Late Carboniferous to

- Triassic metamorphism in granulites of the Ivrea Zone (Southern Alps): an ion microprobe (SHRIMP) study. *Contrib. Mineral. Petrol.*, **122**:337-358.
- Villa I.M., Ruggieri G., Puxeddu M. (1997): Petrological and geochronological discrimination of two white-mica generations in a granite cored from the Larderello-Travale geothermal field (Italy). *Eur. J. Mineral.*, **9**:563-568.
- Villa I.M. (1998): *Isotopic closure*. Terra Nova, **10**:42-47.
- Villa I.M., Hermann J., Müntener O., Trommsdorff V. (2000): ^{39}Ar - ^{40}Ar dating of multiply zoned amphibole generations (Malenco, Italian Alps). *Contrib. Mineral. Petrol.*, **140**:363-381.
- Villa I.M. (2001): Radiogenic isotopes in fluid inclusions. *Lithos*, **55**:115-124.
- Villa I.M. (2004): Geochronology of metamorphic rocks. *Per. Mineral.*, **73**:259-271.
- Wada H., Suzuki K. (1983): Carbon isotopic thermometry calibrated by dolomite-calcite solvus temperatures. *Geochimica et Cosmochimica Acta*, **47**:697-706.
- Wells R.A. (1977): Pyroxene thermometry in simple and complex systems. *Contrib. Mineral. Petrol.*, **62**:129-139.
- Whitehouse M., Kamber B.S., Moorbath S. (1999): Age significance of U-Th-Pb zircon data from early Archean rocks of West Greenland - a reassessment based on combined ion microprobe and imaging studies. *Chem. Geol.*, **160**:201-224.
- Winkler H.G.F. (1976): Petrogenesis of metamorphic rocks, 4th Ed. Springer-Verlag.
- Winter J.D. (2001): An introduction to igneous and metamorphic petrology, Prentice Hall, 697 p.
- Yardley B.W.D. (1989): An introduction to metamorphic petrology, Longman, Earth Science Series: 248 p.

CULOAREA ESTE O PASIUNE, IAR PASIUNEA SE ÎMPARTE...

tipografia



libris

TIPOGRAFIA SEDCOM LIBRIS

IASI, ROMANIA

ISO 9001:2000

Sos. Moara de Foc nr. 4.

cod 700572, Iași, România

Tel.: +40.232.234.582, 270.479, 242.877:

Fax.: +40.232.233.080

E-mail: tipografia@sedcom.ro

<http://www.sedcom.ro>

PENTRU CĂ NE PASĂ CINE EȘTI, CE FACI, CUM FACI ȘI UNDE VREI SĂ AJUNGI...

I.S.B.N.: 978-973-670-233-4



6 420635 202473